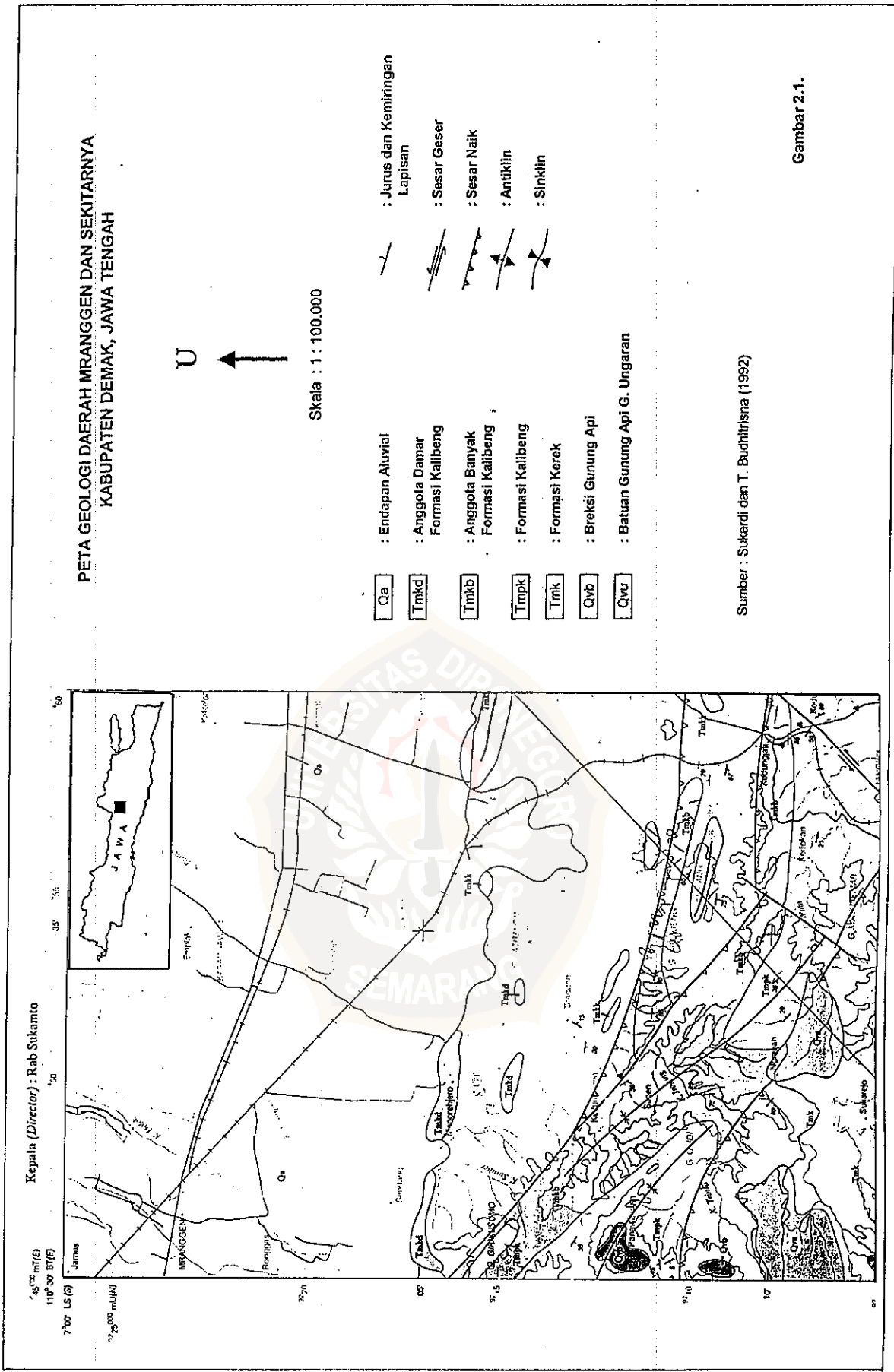


LAMPIRAN A
PETA GEOLOGI LEMBAR SALATIGA



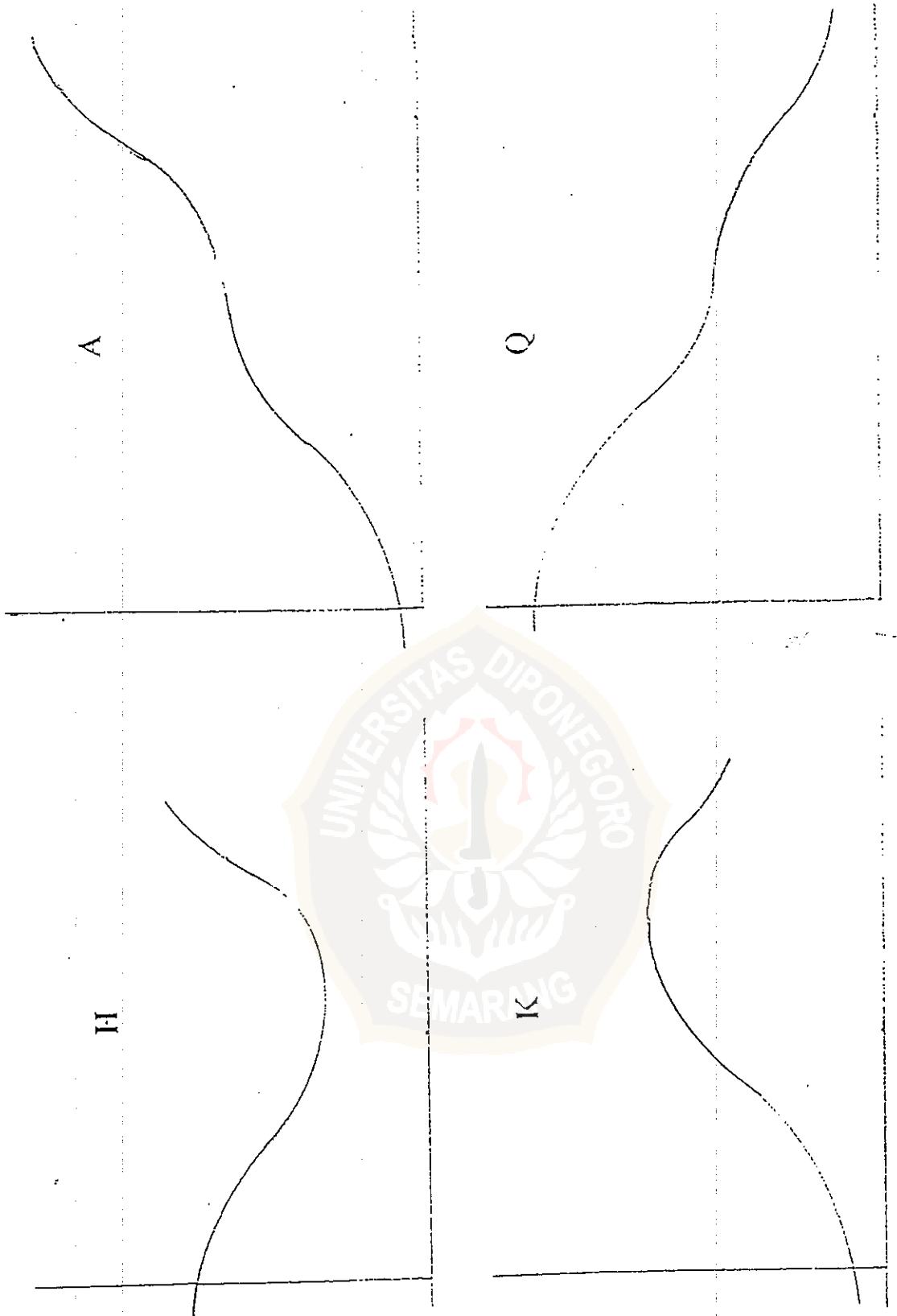


Sumber : Sukardi dan T. Budhirsna (1982)

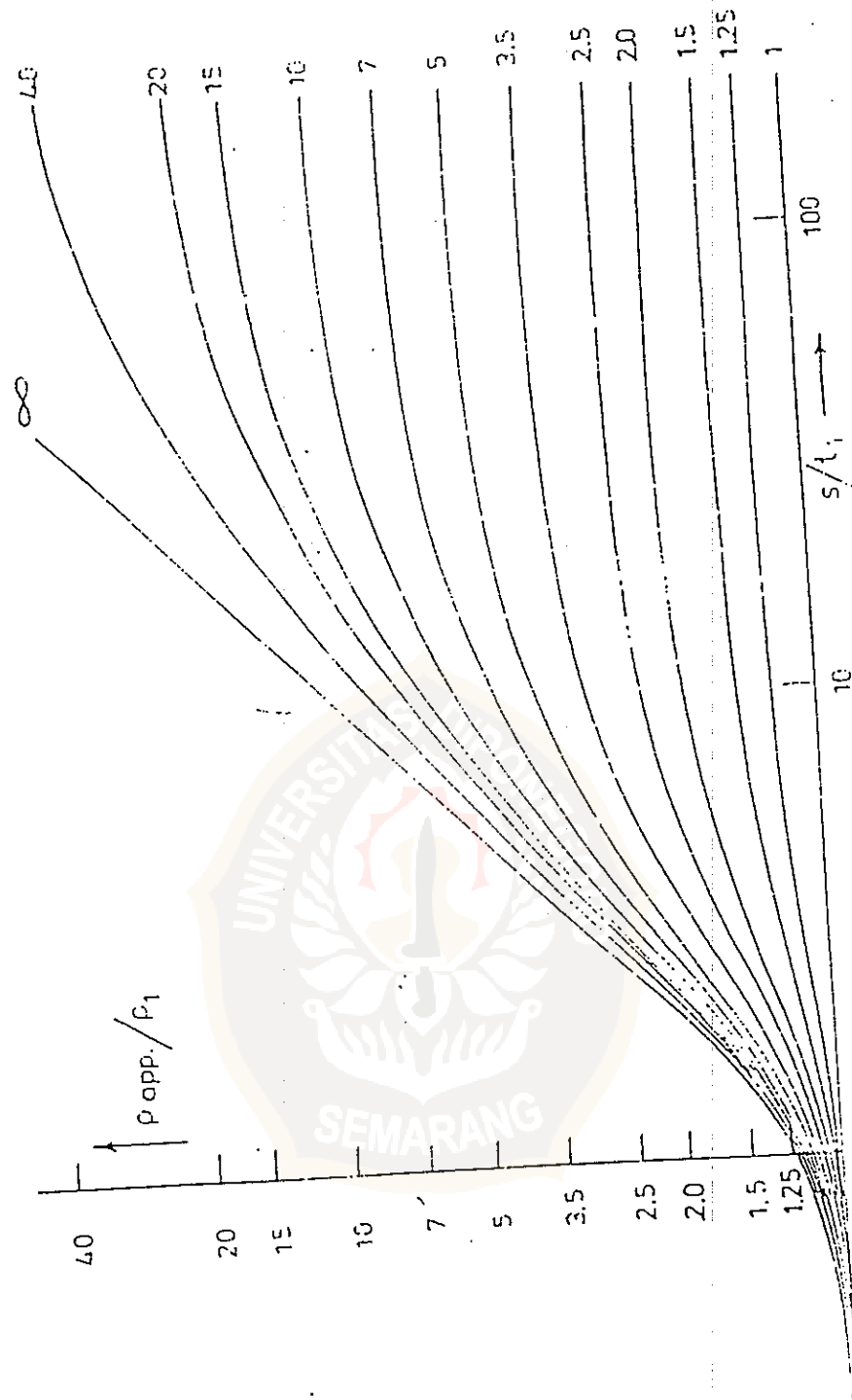
Gambar 2.1.

LAMPIRAN B
KURVA-KURVA TEORITIS SCHLUMBERGER

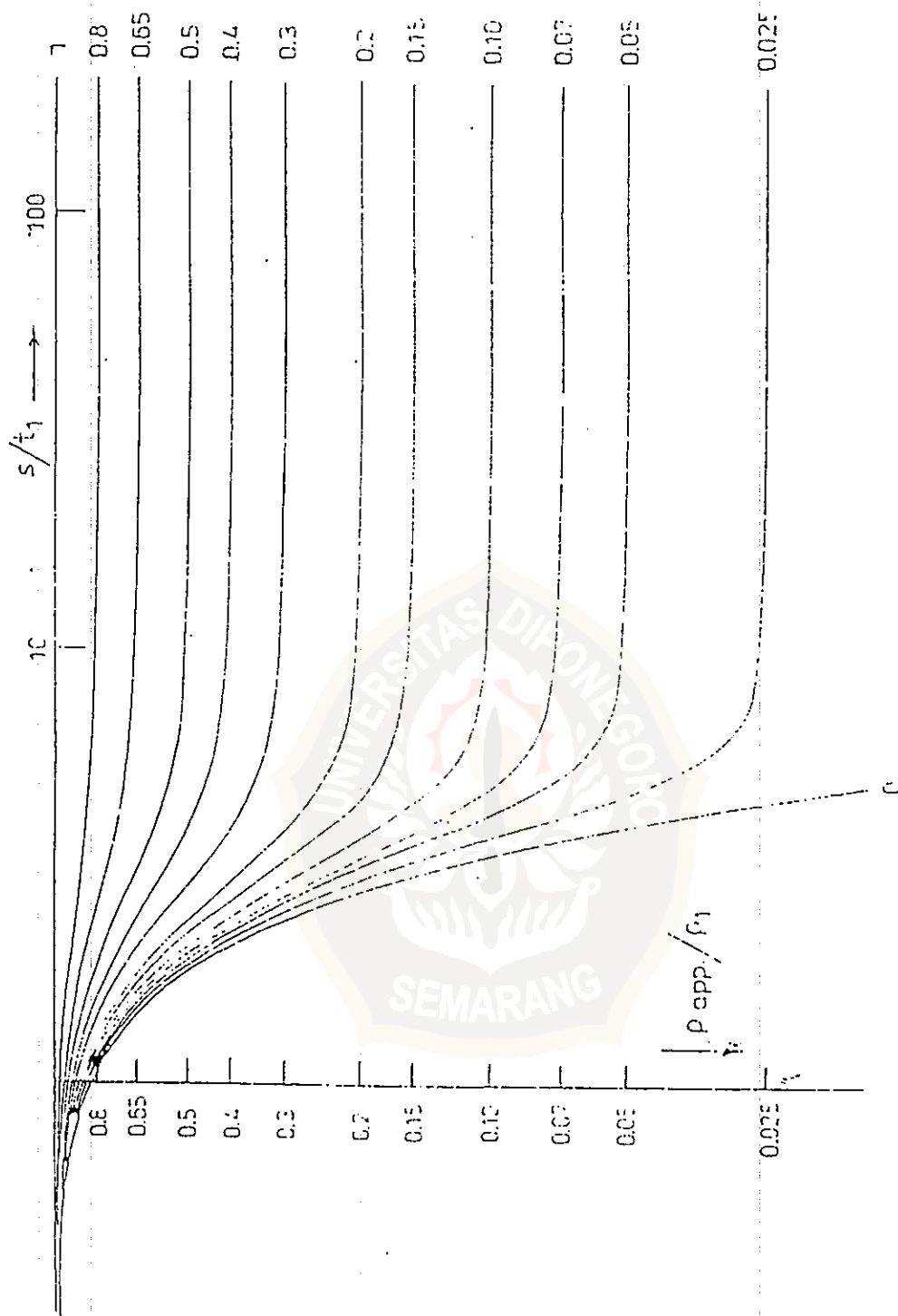




Gambar B1 . Pola-pola lengkung resistivitas semu yang menentukan 4 tipe kurva bantu (tipe H/pinggau, tipe K/bell, tipe A/malik, tipe Q/lurun)

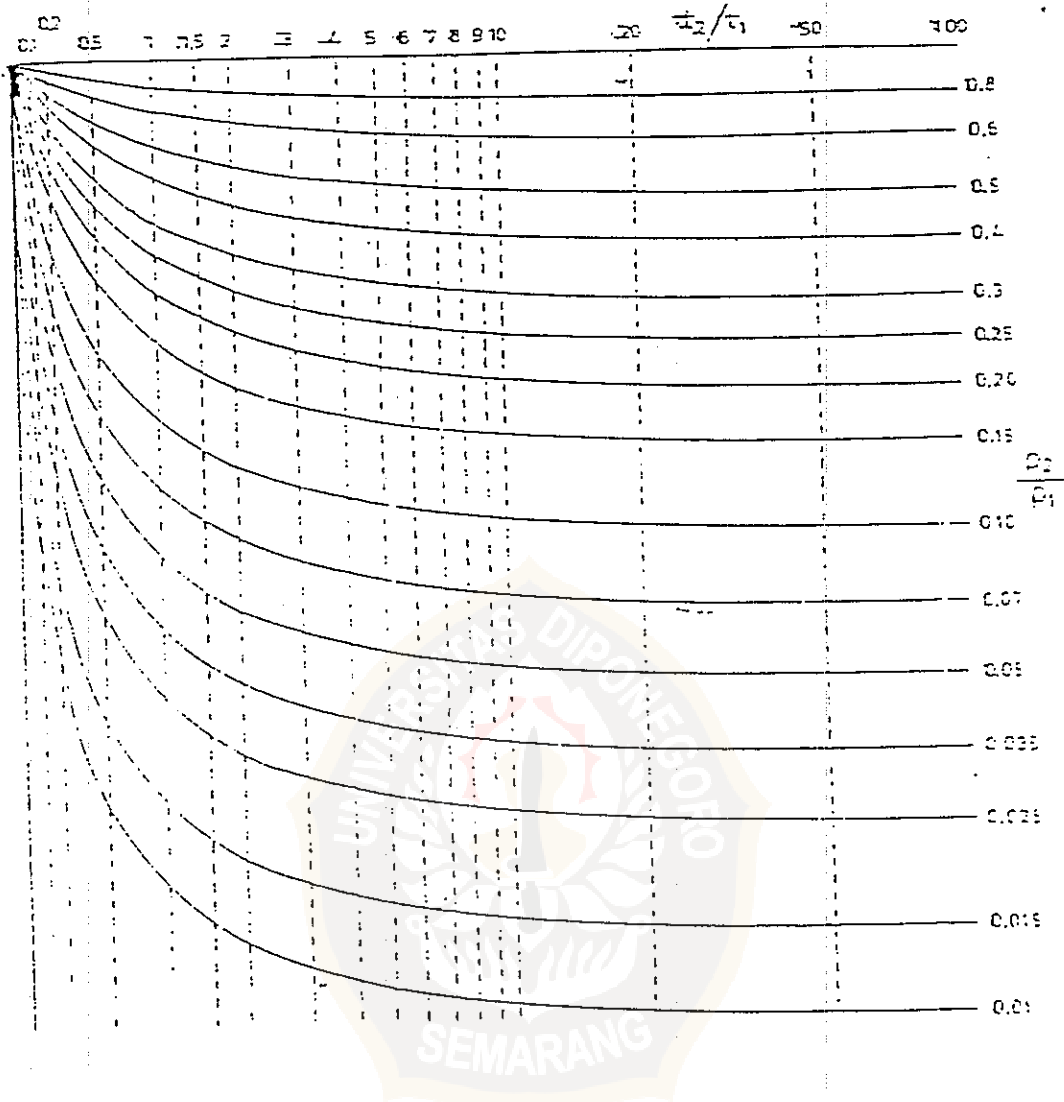


Gambar B2. Lengkung baku untuk struktur 2 lapis bila resistivitas lapisan II lebih besar dari pada resistivitas lapisan I



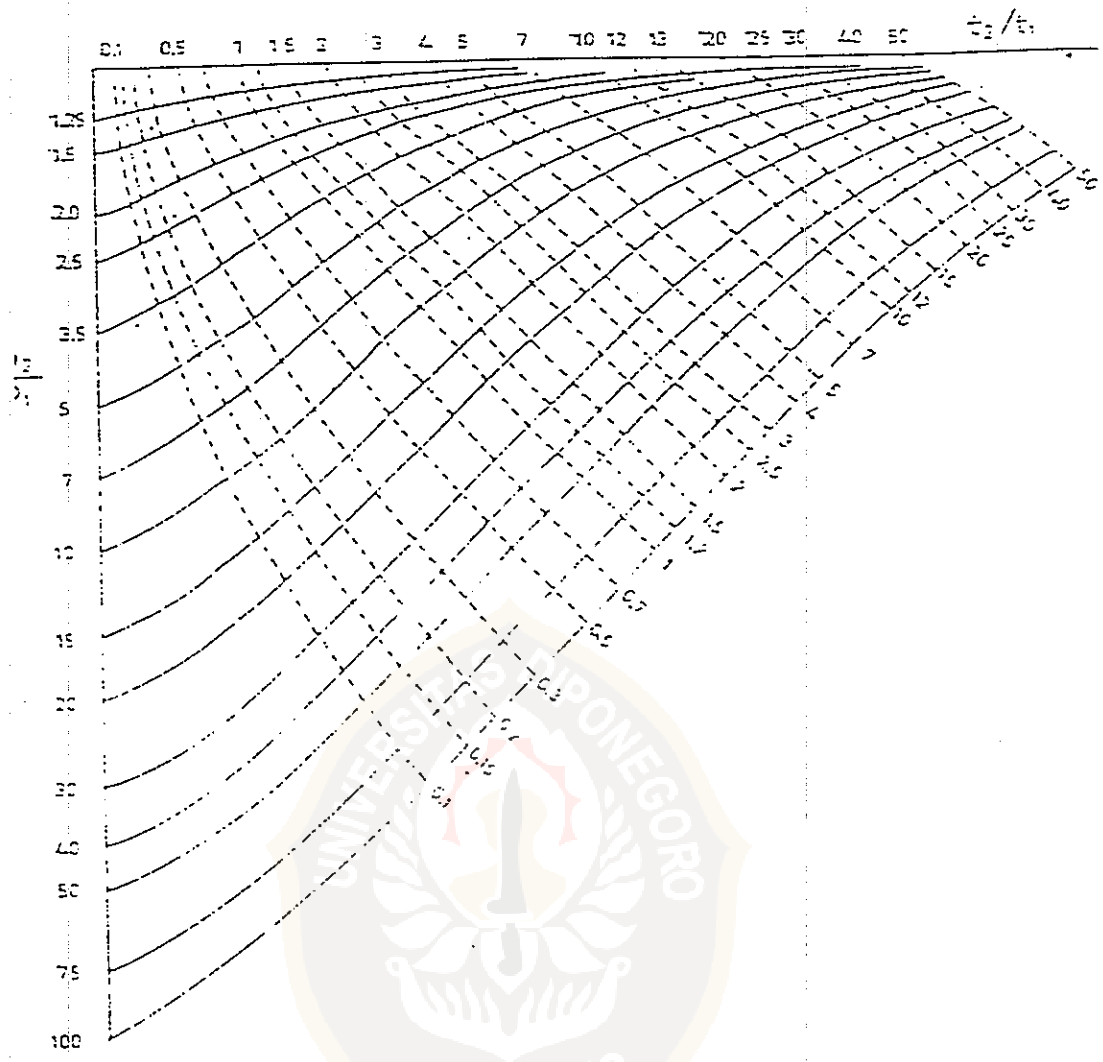
Gambar B3 Lengkung baku untuk struktur 2 lapis bila resistivitas lapisan II lebih kecil dari pada resistivitas lapisan I

H (pinggan)



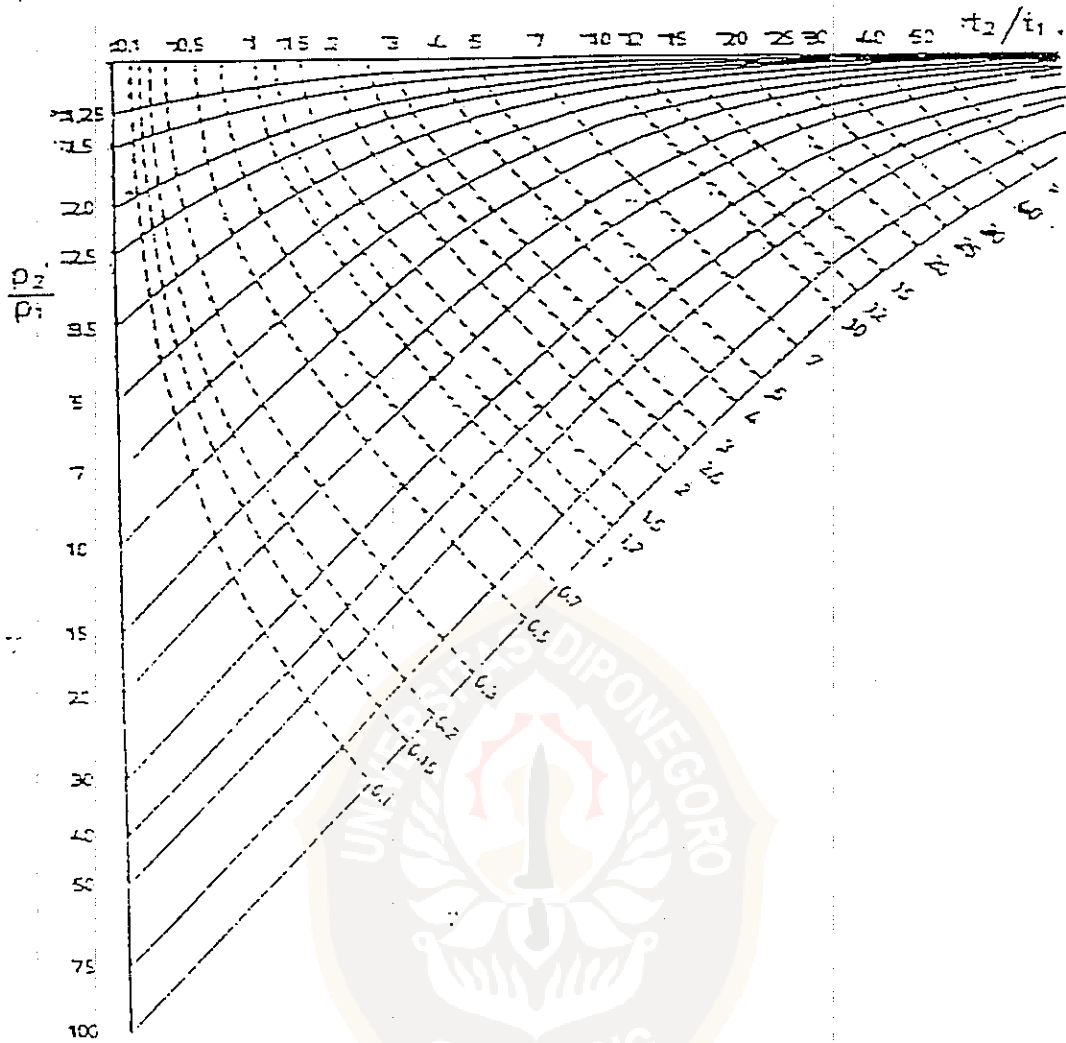
Gambar B4. Lengkung bantu tipe H (bowl / pinggan)

K (lonceng)



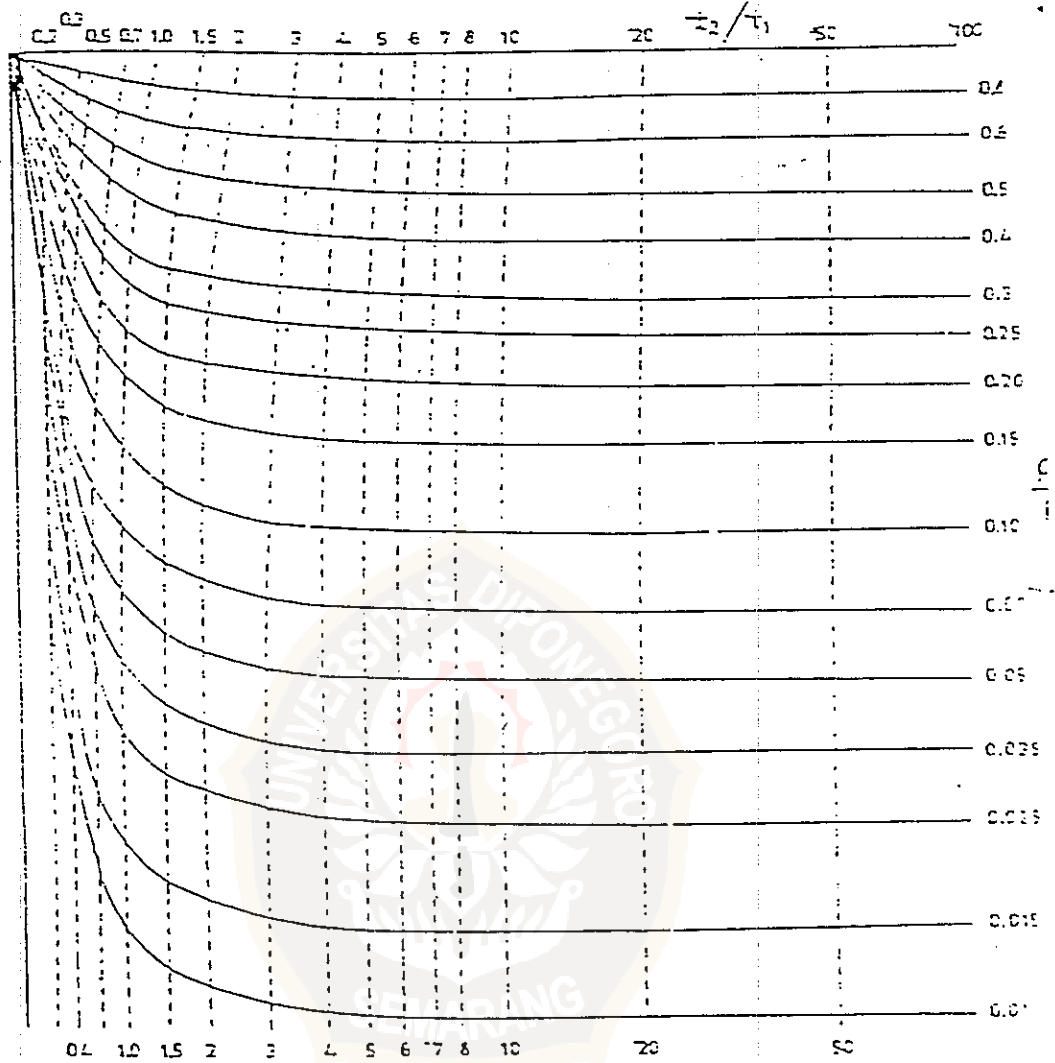
Gambar B5. Lengkung bantu tipe K (bell / lonceng)

A (naik)



Gambar B6. Lengkung bantu tipe A (ascending / naik)

Q (turun)

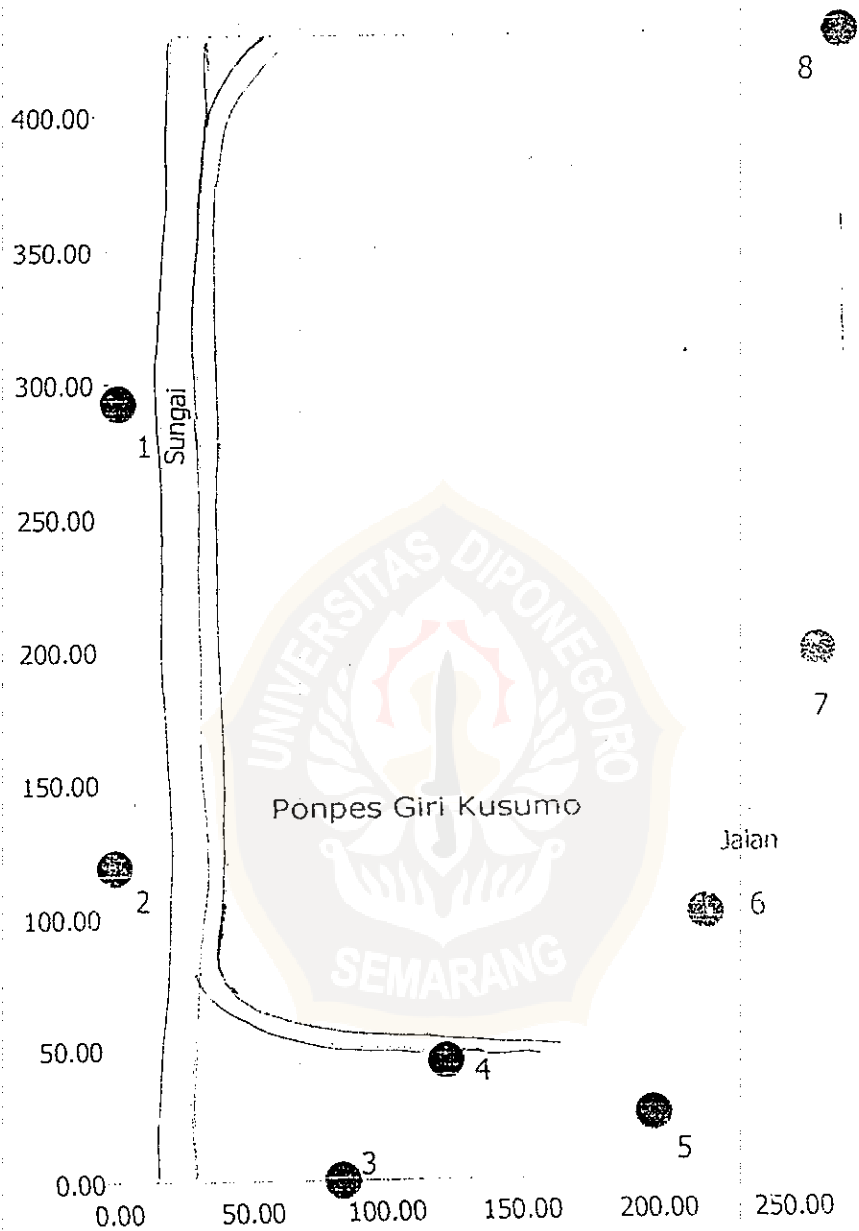


Gambar B7. Lengkung bantu tipe Q (descending / turun)

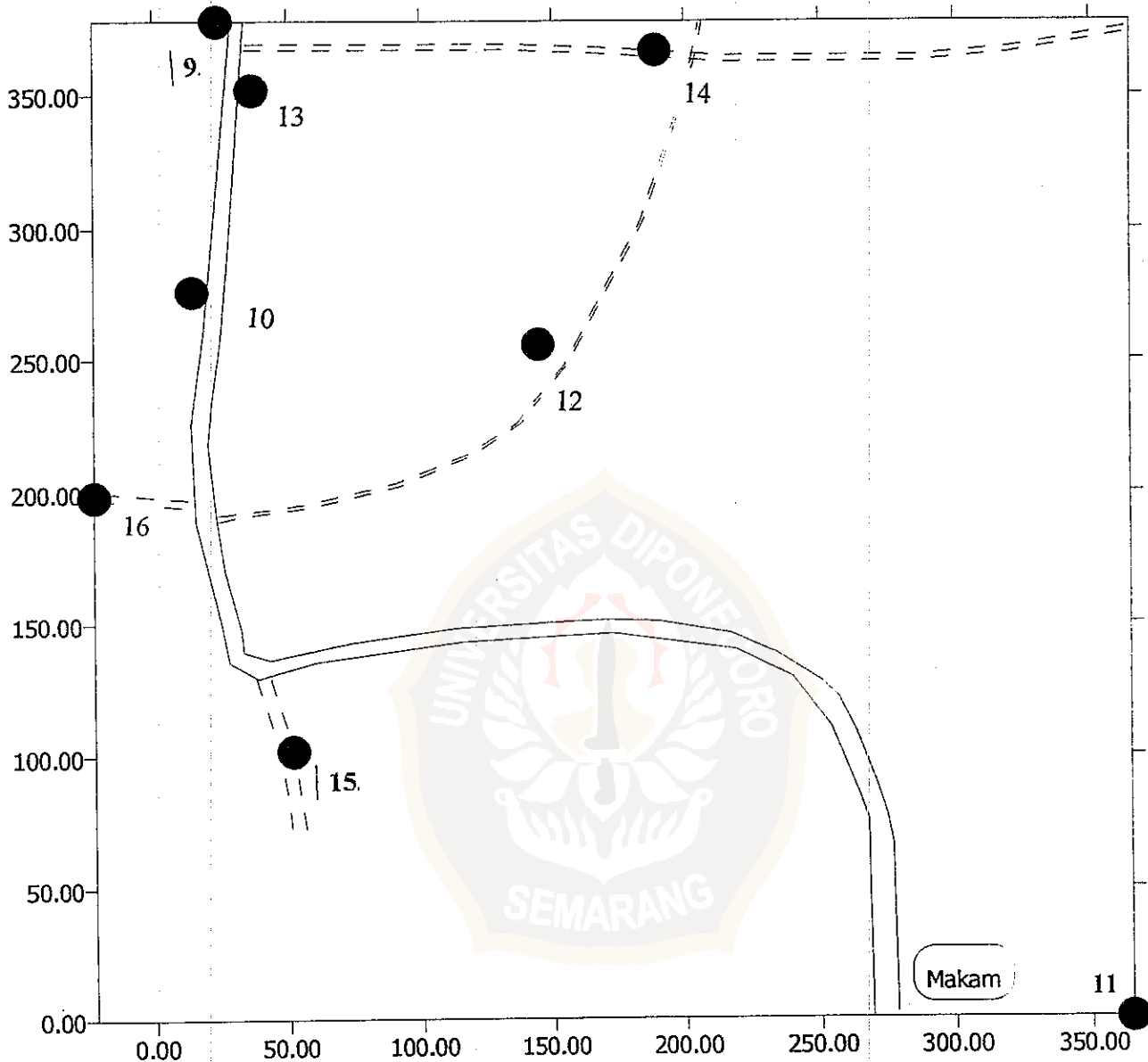
LAMPIRAN C

SKETSA LOKASI TITIK PENGUKURAN GEOLISTRIK



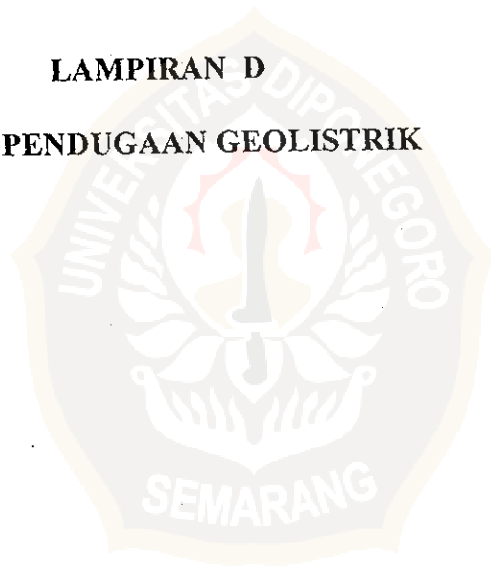


Gambar C1 Sketsa Lokasi Titik Pengukuran geolistrik Di Sebelah Selatan Makam



Gambar C1. Sketsa Lokasi Titik Pengukuran geolistrik Di Sebelah Utara Makam

LAMPIRAN D
DATA PENDUGAAN GEOLISTRIK

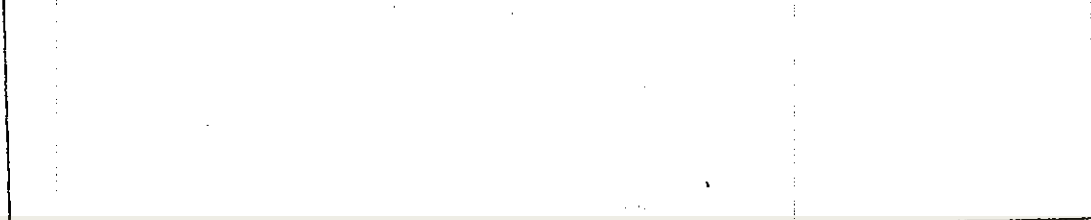


LEMBAR PENCATATAN PENDUGAAN GEOLISTRIK

- 1. No. Titik : 1
- 2. Lokasi : S 07 05.329' - E 110 29.990'
- 3. Elevasi : 35 mt
- 4. Arah bentangan : 348 N
- 5. Alat :
- 6. Tanggal : 29 Sept. 2001
- 7. Cuaca : Cerah
- 8. Operator :

No.	AB/2 = a (m)	K	I (mA)	V (mV)	R (ohm)	ρ_{SI} (Ω m)
MN/2 = b = 0,50 m						
1	1.5	6.280	70	606	8.6571	54.37
2	2	11.775	50	273	5.4600	64.29
3	2.5	18.840	70	226	3.2286	60.83
4	3	27.475	70	150.5	2.1500	59.07
5	4	49.455	50	60.6	1.2120	59.94
6	5	77.715	60	34.1	0.5683	44.17
7	6	112.255	60	21.5	0.3583	40.22
8	7	153.075	60	12.8	0.2133	32.66
9	8	200.175	60	8.1	0.1350	27.02
10	10	313.215	20	1.7	0.0850	26.62
11	12	451.375	40	1.7	0.0425	19.18
MN/2 = b = 2,50 m						
11	12	86.507	40	7.4	0.1850	16.00
12	15	137.375	30	2.6	0.0867	11.91
13	20	247.275	30	1.2	0.0400	9.89
14	25	388.575	70	1.2	0.0171	6.66
15	30	561.275	200	1.5	0.0075	4.21
16	40	1000.875	110	0.5	0.0045	4.55
17	50	1566.075	180	0.5	0.0028	4.35
18	65	2649.375	230	0.4	0.0017	4.61
MN/2 = b = 10,00 m						
18	65	647.625	230	1.6	0.0070	4.51
19	80	989.100	320	1.3	0.0041	4.02
20	100	1554.300	170	0.4	0.0024	3.66
21	120	2245.100	210	0.3	0.0014	3.21
22	140	3061.500	220	0.2	0.0009	2.78
23	160	4003.500	320	0.2	0.0006	2.50
24	180	5071.100				
25	200	6264.300				
MN/2 = b = 20,00 m						
25	250	4874.850				
26	300	7033.600				

Denah Lokasi Pendugaan :



LEMBAR PENCATATAN PENDUGAAN GEOLISTRIK

1 No. Titik : 2
 2 Lokasi : S 07 05.423' - E 110 29.988'
 3 Elevasi : 36 mt
 4 Arah bentangan : 016 N
 5 Alat :
 6 Tanggal : 29-Sep-01
 7 Cuaca : cerah
 8 Operator :

No.	AB/2 = a (m)	K	I (mA)	V (mV)	R (ohm)	ρ_a (Ω m)
MN/2 = b = 0,50 m						
1	1.5	6.280	230	1180	5.1304	32.22
2	2	11.775	170	542	3.1862	37.54
3	2.5	18.840	170	326	1.9176	36.13
4	3	27.475	100	120.2	1.2020	33.02
5	4	49.455	100	63.3	0.6330	31.31
6	5	77.715	110	43.9	0.3991	31.02
7	5	112.255	120	31.2	0.2500	29.19
8	7	153.075	140	27.1	0.1936	29.63
9	8	200.175	180	26	0.1444	28.91
10	10	313.215	190	16.6	0.0874	27.37
11	12	451.375	130	7.1	0.0546	24.65
MN/2 = b = 2,50 m						
11	12	86.507	130	31.9	0.2454	21.23
12	15	137.375	130	16.1	0.1238	17.01
13	20	247.275	190	8.4	0.0442	10.93
14	25	388.575	230	4.1	0.0178	6.93
15	30	561.275	200	1.8	0.0090	5.05
16	40	1000.875	270	1.4	0.0052	5.19
17	50	1566.075	280	0.8	0.0029	4.47
18	65	2649.375	180	0.3	0.0017	4.42
MN/2 = b = 10,00 m						
18	65	647.625	170	1.1	0.0065	4.19
19	80	989.100	170	0.7	0.0041	4.07
20	100	1554.300	280	0.7	0.0025	3.89
21	120	2245.100	260	0.4	0.0015	3.45
22	140	3061.500	460	0.5	0.0011	3.33
23	160	4003.500	410	0.3	0.0007	2.93
24	180	5071.100				
25	200	6264.300				
MN/2 = b = 20,00 m						
25	250	4874.850				
26	300	7033.600				

Denah Lokasi Pendugaan :

LEMBAR PENCATATAN PENDUGAAN GEOLISTRIK

- 1 No. Titik : 3
 2 Lokasi : S 07 05.487' - E 110 30.033'
 3 Elevasi : 47 mt
 4 Arah bentangan : 345 N
 5 Alat :
 6 Tanggal : 29-Sep-01
 7 Cuaca : cerah
 8 Operator :

No.	AB/2 = a (m)	K	I (mA)	V (mV)	R (ohm)	ρ_a (Ω m)
MN/2 = b = 0,50 m						
1	1.5	6.280	440	788	1.7909	11.25
2	2	11.775	200	177.3	0.8865	10.44
3	2.5	18.840	210	113.6	0.5410	10.19
4	3	27.475	190	71.1	0.3742	10.28
5	4	49.455	220	45.3	0.2059	10.18
6	5	77.715	230	29.9	0.1300	10.10
7	6	112.255	250	22.9	0.0916	10.28
8	7	153.075	210	13.9	0.0662	10.13
9	8	200.175	230	11.4	0.0496	9.92
10	10	313.215	180	5.6	0.0311	9.74
11	12	451.375	230	4.9	0.0213	9.62
MN/2 = b = 2,50 m						
11	12	86.507	240	27.8	0.1158	10.02
12	15	137.375	270	17	0.0630	8.65
13	20	247.275	300	7.1	0.0237	5.85
14	25	388.575	400	5.3	0.0133	5.15
15	30	561.275	370	3	0.0081	4.55
16	40	1000.875	270	1.1	0.0041	4.08
17	50	1566.075	370	0.9	0.0024	3.81
18	65	2649.375	300	0.4	0.0013	3.53
MN/2 = b = 10,00 m						
18	65	647.625	300	1.4	0.0047	3.02
19	80	989.100	90	0.3	0.0033	3.30
20	100	1554.300	330	0.7	0.0021	3.30
21	120	2245.100	290	0.4	0.0014	3.10
22	140	3061.500	230	0.2	0.0009	2.66
23	160	4003.500	510	0.3	0.0006	2.36
24	180	5071.100				
25	200	6264.300				
MN/2 = b = 20,00 m						
25	250	4874.850				
26	300	7033.600				

Denah Lokasi Pendugaan :

LEMBAR PENCATATAN PENDUGAAN GEOLISTRIK

- 1 No. Titik : 4
 2 Lokasi : S 07 05.463' - E 110 30.094'
 3 Elevasi : 70 mt
 4 Arah bentangan : 277 N
 5 Alat :
 6 Tanggal : 29-Sep-01
 7 Cuaca : panas
 8 Operator :

No.	AB/2 = a (m)	K	I (mA)	V (mV)	R (ohm)	ρ_a (Ω m)
MN/2 = b = 0,50 m						
1	1.5	6.280	310	468	1.5097	9.48
2	2	11.775	270	202	0.7481	8.81
3	2.5	18.840	270	122.3	0.4530	8.53
4	3	27.475	320	94.8	0.2963	8.14
5	4	49.455	320	49.5	0.1547	7.65
6	5	77.715	330	30.7	0.0930	7.23
7	6	112.255	310	20	0.0645	7.24
8	7	153.075	270	12.9	0.0478	7.31
9	8	200.175	250	9.2	0.0368	7.37
10	10	313.215	290	6.8	0.0234	7.34
11	12	451.375	260	4	0.0154	6.94
MN/2 = b = 2,50 m						
11	12	86.507	320	23.2	0.0725	6.27
12	15	137.375	270	12.1	0.0448	6.16
13	20	247.275	210	4.9	0.0233	5.77
14	25	388.575	190	2.4	0.0126	4.91
15	30	561.275	290	2.2	0.0076	4.26
16	40	1000.875	280	1.2	0.0043	4.29
17	50	1566.075	230	0.6	0.0026	4.09
18	65	2649.375	280	0.4	0.0014	3.78
MN/2 = b = 10,00 m						
18	65	647.625	260	1.4	0.0054	3.49
19	80	989.100	350	1.1	0.0031	3.11
20	100	1554.300	340	0.8	0.0024	3.66
21	120	2245.100	360	0.4	0.0011	2.49
22	140	3061.500	420	0.3	0.0007	2.19
23	160	4003.500	580	0.3	0.0005	2.07
24	180	5071.100				
25	200	6264.300				
MN/2 = b = 20,00 m						
25	250	4874.850				
26	300	7033.600				

Denah Lokasi Pendugaan :

LEMBAR PENCATATAN PENDUGAAN GEOLISTRIK

- 1 No. Titik : 6
 2 Lokasi : S 07 05.433' - E 110 30.106'
 3 Elevasi : 26 mt
 4 Arah bentangan : 018 N
 5 Alat :
 6 Tanggal : 30-Sep-01
 7 Cuaca : cerah
 8 Operator :

No.	AB/2 = a (m)	K	I (mA)	V (mV)	R (ohm)	ρ_a (Ω m)
MN/2 = b = 0,50 m						
1	1.5	6.280	20	17.1	0.8550	5.37
2	2	11.775	130	50.3	0.3869	4.56
3	2.5	18.840	210	44.8	0.2133	4.02
4	3	27.475	210	29.3	0.1395	3.83
5	4	49.455	70	5	0.0714	3.53
6	5	77.715	30	1.4	0.0467	3.63
7	6	112.255	460	13.3	0.0289	3.25
8	7	153.075	360	8.3	0.0231	3.53
9	8	200.175	400	8.1	0.0203	4.05
10	10	313.215	300	4.2	0.0140	4.39
11	12	451.375	260	2.3	0.0083	3.99
MN/2 = b = 2,50 m						
11	12	86.507	270	13.1	0.0485	4.20
12	15	137.375	320	10.2	0.0319	4.38
13	20	247.275	270	4.6	0.0170	4.21
14	25	388.575	280	2.9	0.0104	4.02
15	30	561.275	280	1.7	0.0061	3.41
16	40	1000.875	60	0.2	0.0033	3.34
17	50	1566.075	200	0.4	0.0020	3.13
18	65	2649.375	200	0.2	0.0010	2.65
MN/2 = b = 10,00 m						
18	65	647.625	230	0.9	0.0039	2.53
19	80	989.100	230	0.6	0.0026	2.58
20	100	1554.300	220	0.3	0.0014	2.12
21	120	2245.100	400	0.3	0.0008	1.68
22	140	3061.500	380	0.2	0.0005	1.61
23	160	4003.500	300	0.1	0.0003	1.33
24	180	5071.100				
25	200	6264.300				
MN/2 = b = 20,00 m						
25	250	4874.850				
26	300	7033.600				

Denah Lokasi Pendugaan :

LEMBAR PENCATATAN PENDUGAAN GEOLISTRIK

- 1 No. Titik : 7
 2 Lokasi : S 07 05.380' - E 110 30.129'
 3 Elevasi : 38 mt
 4 Arah bentangan : 020 N
 5 Alat :
 6 Tanggal : 30-Sep-01
 7 Cuaca : cerah
 8 Operator :

No.	AB/2 = a (m)	K	I (mA)	V (mV)	R (ohm)	ρ_{a} (Ω m)
MN/2 = b = 0,50 m						
1	1.5	6.280	60	79.7	1.3283	8.34
2	2	11.775	160	112.7	0.7044	8.29
3	2.5	18.840	260	100	0.3846	7.25
4	3	27.475	220	53.7	0.2441	6.71
5	4	49.455	90	11.4	0.1267	6.26
6	5	77.715	10	0.9	0.0900	5.99
7	6	112.255	120	6.8	0.0567	6.36
8	7	153.075	50	1.9	0.0380	5.82
9	8	200.175	130	3.8	0.0292	5.85
10	10	313.215	380	7.4	0.0195	6.10
11	12	451.375	140	1.7	0.0121	5.48
MN/2 = b = 2,50 m						
11	12	86.507	140	9.6	0.0686	5.93
12	15	137.375	80	3.5	0.0438	5.01
13	20	247.275	120	2.7	0.0225	5.55
14	25	388.575	220	2.3	0.0105	4.06
15	30	561.275	190	1.3	0.0068	3.84
16	40	1000.875	90	0.3	0.0033	3.34
17	50	1566.075	220	0.4	0.0018	2.85
18	65	2649.375	130	0.1	0.0008	2.04
MN/2 = b = 10,00 m						
18	65	647.625	90	0.3	0.0033	2.16
19	80	989.100	510	0.9	0.0018	1.75
20	100	1554.300	330	0.4	0.0012	1.88
21	120	2245.100	470	0.4	0.0009	1.91
22	140	3061.500	520	0.3	0.0006	1.77
23	160	4003.500	480	0.2	0.0004	1.67
24	180	5071.100				
25	200	6264.300				
MN/2 = b = 20,00 m						
25	250	4874.850				
26	300	7033.600				

Denah Lokasi Pendugaan :

LEMBAR PENCATATAN PENDUGAAN GEOLISTRIK

- 1 No. Titik : 8
 2 Lokasi : S 07 05.255' - E 110 30.135'
 3 Elevasi : 54 mt
 4 Arah bentangan : 344 N
 5 Alat :
 6 Tanggal : 1-Oct-01
 7 Cuaca : cerah
 8 Operator :

No.	AB/2 = a (m)	K	I (mA)	V (mV)	R (ohm)	ρ_s (Ωm)
MN/2 = b = 0,50 m						
1	1.5	6.280	90	327	3.6353	22.82
2	2	11.775	70	90.6	1.2943	15.24
3	2.5	18.840	70	36.3	0.5186	9.77
4	3	27.475	80	25.3	0.3163	8.69
5	4	49.455	90	13.9	0.1544	7.64
6	5	77.715	50	4.8	0.0960	7.46
7	6	112.255	130	8.9	0.0685	7.69
8	7	153.075	170	9.1	0.0535	8.19
9	8	200.175	140	5.9	0.0421	8.44
10	10	313.215	140	3.8	0.0271	8.50
11	12	451.375	180	3.3	0.0183	8.28
MN/2 = b = 2,50 m						
11	12	86.507	170	16.6	0.0976	8.45
12	15	137.375	130	7.4	0.0569	7.82
13	20	247.275	110	3.4	0.0309	7.64
14	25	388.575	110	1.9	0.0173	6.71
15	30	561.275	60	0.7	0.0117	6.55
16	40	1000.875	50	0.3	0.0060	6.01
17	50	1566.075	80	0.3	0.0038	5.87
18	65	2649.375	160	0.3	0.0019	4.97
MN/2 = b = 10,00 m						
18	65	647.625	160	1	0.0063	4.05
19	80	989.100	230	0.9	0.0039	3.87
20	100	1554.300	200	0.5	0.0025	3.89
21	120	2245.100	210	0.3	0.0014	3.21
22	140	3061.500	200	0.2	0.0010	3.06
23	160	4003.500	280	0.2	0.0007	2.86
24	180	5071.100				
25	200	6264.300				
MN/2 = b = 20,00 m						
25	250	4874.850				
26	300	7033.600				

Denah Lokasi Pendugaan :

LEMBAR PENCATATAN PENDUGAAN GEOLISTRIK

1 No. Titik : 1
 2 Lokasi : S 07 05.008' - E 110 30.106'
 3 Elevasi : 37 m
 4 Arah bentangan : U - S
 5 Alat : Naniura type NRD 22T
 6 Tanggal : 2-Nov-01
 7 Cuaca : puanas
 8 Operator : 4

No.	AB/2 = a (m)	K	I (mA)	V (mV)	R (ohm)	pa (Ωm)
MN/2 = b = 0,50 m						
1	1.5	6.280	180	208	1.1556	7.26
2	2	11.775	170	121.1	0.7124	8.39
3	2.5	18.840	160	55.3	0.3456	6.51
4	3	27.475	130	29.6	0.2277	6.26
5	4	49.455	230	26.7	0.1161	5.74
6	5	77.715	240	17.6	0.0733	5.70
7	6	112.255	20	11.1	0.5550	62.30
8	7	153.075	130	4.7	0.0362	5.53
9	8	200.175	80	2	0.0250	5.00
10	10	313.215	80	3.2	0.0400	12.53
11	12	451.375	180	2	0.0111	5.02
MN/2 = b = 2,50 m						
11	12	86.507	180	10.8	0.0600	5.19
12	15	137.375	120	5.2	0.0433	5.95
13	20	247.275	150	3.5	0.0233	5.77
14	25	388.575	150	2.3	0.0153	5.96
15	30	561.275	170	2	0.0118	6.60
16	40	1000.875	100	0.6	0.0060	6.01
17	50	1566.075	90	0.4	0.0044	6.96
18	65	2649.375	150	0.3	0.0020	5.30
MN/2 = b = 10,00 m						
18	65	647.625	150	1.2	0.0080	5.18
19	80	989.100	190	0.9	0.0047	4.69
20	100	1554.300	200	0.6	0.0030	4.66
21	120	2245.100	180	0.3	0.0017	3.74
22	140	3061.500	480	0.5	0.0010	3.19
23	160	4003.500				
24	180	5071.100				
25	200	6264.300				
MN/2 = b = 20,00 m						
25	250	4874.850				
26	300	7033.600				

Denah Lokasi Pendugaan :

LEMBAR PENCATATAN PENDUGAAN GEOLISTRIK

1 No. Titik : 2
 2 Lokasi : S 07 05.008' - E 110 30.051'
 3 Elevasi : 36 m
 4 Arah bentangan : U - S
 5 Alat : Naniura type NRD 22T
 6 Tanggal : 2-Nov-01
 7 Cuaca : puanas
 8 Operator :

No.	AB/2 = a (m)	K	I (mA)	V (mV)	R (ohm)	pa (Ωm)
MN/2 = b = 0,50 m						
1	1.5	6.280	130	128	0.9846	6.18
2	2	11.775	130	98	0.7538	8.88
3	2.5	18.840	150	57.7	0.3847	7.25
4	3	27.475	160	44.1	0.2756	7.57
5	4	49.455	150	2.9	0.0193	0.96
6	5	77.715	160	11.3	0.0706	5.49
7	6	112.255	170	15.5	0.0912	10.24
8	7	153.075	140	6.9	0.0493	7.54
9	8	200.175	120	4.5	0.0375	7.51
10	10	313.215	110	2.6	0.0236	7.40
11	12	451.375	140	2.1	0.0150	6.77
MN/2 = b = 2,50 m						
11	12	86.507	140	11.6	0.0829	7.17
12	15	137.375	170	9.4	0.0553	7.60
13	20	247.275	200	6.6	0.0330	8.16
14	25	388.575	150	3.6	0.0240	9.33
15	30	561.275	130	2.3	0.0177	9.93
16	40	1000.875	150	1.7	0.0113	11.34
17	50	1566.075	220	1.8	0.0082	12.81
18	65	2649.375	180	0.8	0.0044	11.78
MN/2 = b = 10,00 m						
18	65	647.625	190	3.7	0.0195	12.61
19	80	989.100	90	1	0.0111	10.99
20	100	1554.300	280	1.8	0.0064	9.99
21	120	2245.100	220	0.8	0.0036	8.16
22	140	3061.500	250	0.6	0.0024	7.35
23	160	4003.500				
24	180	5071.100				
25	200	6264.300				
MN/2 = b = 20,00 m						
25	250	4874.850				
26	300	7033.600				
Denah Lokasi Pendugaan :						

LEMBAR PENCATATAN PENDUGAAN GEOLISTRIK

1 No. Titik : 3
 2 Lokasi : S 07 05.172' - E 110 30.185'
 3 Elevasi : 67 m
 4 Arah bentangan : B - T
 5 Alat : Naniura type NRD 22T
 6 Tanggal : 6-Nov-01
 7 Cuaca : puanas
 8 Operator :

No.	AB/2 = a (m)	K	I (mA)	V (mV)	R (ohm)	pa (Ωm)
MN/2 = b = 0,50 m						
1	1.5	6.280	280	397	1.4179	8.90
2	2	11.775	480	308	0.6417	7.56
3	2.5	18.840	490	206	0.4204	7.92
4	3	27.475	410	114	0.2780	7.64
5	4	49.455	130	20.1	0.1546	7.65
6	5	77.715	100	9.9	0.0990	7.69
7	6	112.255	50	3.4	0.0680	7.63
8	7	153.075	80	3.9	0.0488	7.46
9	8	200.175	140	5.4	0.0386	7.72
10	10	313.215	130	3	0.0231	7.23
11	12	451.375	210	3	0.0143	6.45
MN/2 = b = 2,50 m						
11	12	86.507	210	15.1	0.0719	6.22
12	15	137.375	260	11.9	0.0458	6.29
13	20	247.275	360	8.3	0.0231	5.70
14	25	388.575	230	3.1	0.0135	5.24
15	30	561.275	440	3.8	0.0086	4.85
16	40	1000.875	310	1.4	0.0045	4.52
17	50	1566.075	130	0.4	0.0031	4.82
18	65	2649.375	330	0.5	0.0015	4.01
MN/2 = b = 10,00 m						
18	65	647.625	310	2.1	0.0068	4.39
19	80	989.100	450	1.8	0.0040	3.96
20	100	1554.300	460	1.1	0.0024	3.72
21	120	2245.100	450	0.7	0.0016	3.49
22	140	3061.500	380	0.4	0.0011	3.22
23	160	4003.500	410	0.3	0.0007	2.93
24	180	5071.100				
25	200	6264.300				
MN/2 = b = 20,00 m						
25	250	4874.850				
26	300	7033.600				

Denah Lokasi Pendugaan :



LEMBAR PENCATATAN PENDUGAAN GEOLISTRIK

1 No. Titik : 4
 2 Lokasi : S 07 05.009' - E 110 30.108'
 3 Elevasi : 69 m
 4 Arah bentangan : B - T
 5 Alat : Naniura type NRD 22T
 6 Tanggal : 6-Nov-01
 7 Cuaca : puanas
 8 Operator :

No.	AB/2 = a (m)	K	I (mA)	V (mV)	R (ohm)	pa (Ωm)
MN/2 = b = 0,50 m						
1	1.5	6.280	390	277	0.7103	4.46
2	2	11.775	330	166.6	0.5048	5.94
3	2.5	18.840	330	100.6	0.3048	5.74
4	3	27.475	360	73.8	0.2050	5.63
5	4	49.455	340	42.8	0.1259	6.23
6	5	77.715	280	27.1	0.0968	7.52
7	6	112.255	200	13.8	0.0690	7.75
8	7	153.075	230	12	0.0522	7.99
9	8	200.175	250	14.9	0.0596	11.93
10	10	313.215	230	7	0.0304	9.53
11	12	451.375	250	6.1	0.0244	11.01
MN/2 = b = 2,50 m						
11	12	86.507	250	39.5	0.1580	13.67
12	15	137.375	350	41.4	0.1183	16.25
13	20	247.275	420	33.1	0.0788	19.49
14	25	388.575	400	22.1	0.0553	21.47
15	30	561.275	430	17.4	0.0405	22.71
16	40	1000.875	380	9.1	0.0239	23.97
17	50	1566.075	470	7.1	0.0151	23.66
18	65	2649.375	350	2.7	0.0077	20.44
MN/2 = b = 10,00 m						
18	65	647.625	350	11.5	0.0329	21.28
19	80	989.100	300	6.2	0.0207	20.44
20	100	1554.300	470	6.5	0.0138	21.50
21	120	2245.100	560	5.1	0.0091	20.45
22	140	3061.500	480	3.1	0.0065	19.77
23	160	4003.500				
24	180	5071.100				
25	200	6264.300				
MN/2 = b = 20,00 m						
25	250	4874.850				
26	300	7033.600				
Denah Lokasi Pendugaan :						

LEMBAR PENCATATAN PENDUGAAN GEOLISTRIK

- 1 No. Titik : 5
 2 Lokasi : S 07 04.991' - E 110 30.059'
 3 Elevasi : 36 m
 4 Arah bentangan : U - S
 5 Alat : Naniura type NRD 22T
 6 Tanggal : 7-Nov-01
 7 Cuaca : mendung
 8 Operator :

No.	AB/2 = a (m)	K	I (mA)	V (mV)	R (ohm)	pa (Ωm)
MN/2 = b = 0,50 m						
1	1.5	6.280	150	253	1.6867	10.59
2	2	11.775	160	109.6	0.6850	8.07
3	2.5	18.840	170	67.3	0.3959	7.46
4	3	27.475	180	46.3	0.2572	7.07
5	4	49.455	170	23.1	0.1359	6.72
6	5	77.715	180	15.5	0.0861	6.69
7	6	112.255	190	11	0.0579	6.50
8	7	153.075	200	8.7	0.0435	6.66
9	8	200.175	200	6.5	0.0325	6.51
10	10	313.215	180	3.6	0.0200	6.26
11	12	451.375	120	1.6	0.0133	6.02
MN/2 = b = 2,50 m						
11	12	86.507	380	28	0.0737	6.37
12	15	137.375	420	18.8	0.0448	6.15
13	20	247.275	330	8.9	0.0270	6.67
14	25	388.575	560	10.8	0.0193	7.49
15	30	561.275	490	7.3	0.0149	8.36
16	40	1000.875	370	3.2	0.0086	8.66
17	50	1566.075	360	1.8	0.0050	7.83
18	65	2649.375	460	1.3	0.0028	7.49
MN/2 = b = 10,00 m						
18	65	647.625	230	2.8	0.0122	7.88
19	80	989.100	200	1.4	0.0070	6.92
20	100	1554.300	220	0.9	0.0041	6.36
21	120	2245.100	160	0.4	0.0025	5.61
22	140	3061.500				
23	160	4003.500				
24	180	5071.100				
25	200	6264.300				
MN/2 = b = 20,00 m						
25	250	4874.850				
26	300	7033.600				
Denah Lokasi Pendugaan :						

LEMBAR PENCATATAN PENDUGAAN GEOLISTRIK

1 No. Titik : 6
 2 Lokasi : S 07 04.975' - E110 30.143'
 3 Elevasi : 75 m
 4 Arah bentangan : B - T
 5 Alat : Naniura type NRD 22T
 6 Tanggal : 7-Nov-01
 7 Cuaca : puanas
 8 Operator :

No.	AB/2 = a (m)	K	I (mA)	V (mV)	R (ohm)	pa (Ωm)
MN/2 = b = 0,50 m						
1	1.5	6.280	260	378	1.4538	9.13
2	2	11.775	360	192	0.5333	6.28
3	2.5	18.840	280	103.3	0.3689	6.95
4	3	27.475	200	40	0.2000	5.50
5	4	49.455	360	45	0.1250	6.18
6	5	77.715	420	33.6	0.0800	6.22
7	6	112.255	370	19.9	0.0538	6.04
8	7	153.075	410	16.3	0.0398	6.09
9	8	200.175	200	9.5	0.0475	9.51
10	10	313.215	330	6.6	0.0200	6.26
11	12	451.375	350	5.2	0.0149	6.71
MN/2 = b = 2,50 m						
11	12	86.507	350	25.3	0.0723	6.25
12	15	137.375	310	14.8	0.0477	6.56
13	20	247.275	210	5.8	0.0276	6.83
14	25	388.575	330	6.3	0.0191	7.42
15	30	561.275	220	2.8	0.0127	7.14
16	40	1000.875	160	1.3	0.0081	8.13
17	50	1566.075	190	1.1	0.0058	9.07
18	65	2649.375	220	0.8	0.0036	9.63
MN/2 = b = 10,00 m						
18	65	647.625	220	3.6	0.0164	10.60
19	80	989.100	250	2.9	0.0116	11.47
20	100	1554.300	200	1.3	0.0065	10.10
21	120	2245.100	210	0.9	0.0043	9.62
22	140	3061.500	200	0.6	0.0030	9.18
23	160	4003.500				
24	180	5071.100				
25	200	6264.300				
MN/2 = b = 20,00 m						
25	250	4874.850				
26	300	7033.600				
Denah Lokasi Pendugaan :						

LEMBAR PENCATATAN PENDUGAAN GEOLISTRIK

1 No. Titik : 7
 2 Lokasi : S 07 04.974' - E 110 30.141'
 3 Elevasi : 81 m
 4 Arah bentangan : U - S
 5 Alat : Naniura type NRD 22T
 6 Tanggal : 7-Nov-01
 7 Cuaca : mendung
 8 Operator :

No.	AB/2 = a (m)	K	I (mA)	V (mV)	R (ohm)	pa (Ωm)
MN/2 = b = 0,50 m						
1	1,5	6.280	210	367	1.7476	10.98
2	2	11.775	150	101.3	0.6753	7.95
3	2.5	18.840	140	45.3	0.3236	6.10
4	3	27.475	220	52.1	0.2368	6.51
5	4	49.455	130	18.6	0.1431	7.08
6	5	77.715	130	13.2	0.1015	7.89
7	6	112.255	210	15.3	0.0729	8.18
8	7	153.075	240	13.2	0.0550	8.42
9	8	200.175	220	9.7	0.0441	8.83
10	10	313.215	230	6.7	0.0291	9.12
11	12	451.375	110	2.1	0.0191	8.62
MN/2 = b = 2,50 m						
11	12	86.507	100	9.8	0.0980	8.48
12	15	137.375	140	8.5	0.0607	8.34
13	20	247.275	140	4.2	0.0300	7.42
14	25	388.575	90	1.6	0.0178	6.91
15	30	561.275	80	0.9	0.0113	6.31
16	40	1000.875	80	0.5	0.0063	6.26
17	50	1566.075	120	0.5	0.0042	6.53
18	65	2649.375	270	0.6	0.0022	5.89
MN/2 = b = 10,00 m						
18	65	647.625	270	2.6	0.0096	6.24
19	80	989.100	270	1.8	0.0067	6.59
20	100	1554.300	280	1.1	0.0039	6.11
21	120	2245.100	280	0.7	0.0025	5.61
22	140	3061.500	240	0.4	0.0017	5.10
23	160	4003.500				
24	180	5071.100				
25	200	6264.300				
MN/2 = b = 20,00 m						
25	250	4874.850				
26	300	7033.600				
Denah Lokasi Pendugaan :						

LEMBAR PENCATATAN PENDUGAAN GEOLISTRIK

- 1 No. Titik : 8
 2 Lokasi : S 07 05.084' - E 11030.037'
 3 Elevasi : 102 m
 4 Arah bentangan : B - T
 5 Alat : Naniura type NRD 22T
 6 Tanggal : 7-Nov-01
 7 Cuaca : mendung
 8 Operator :

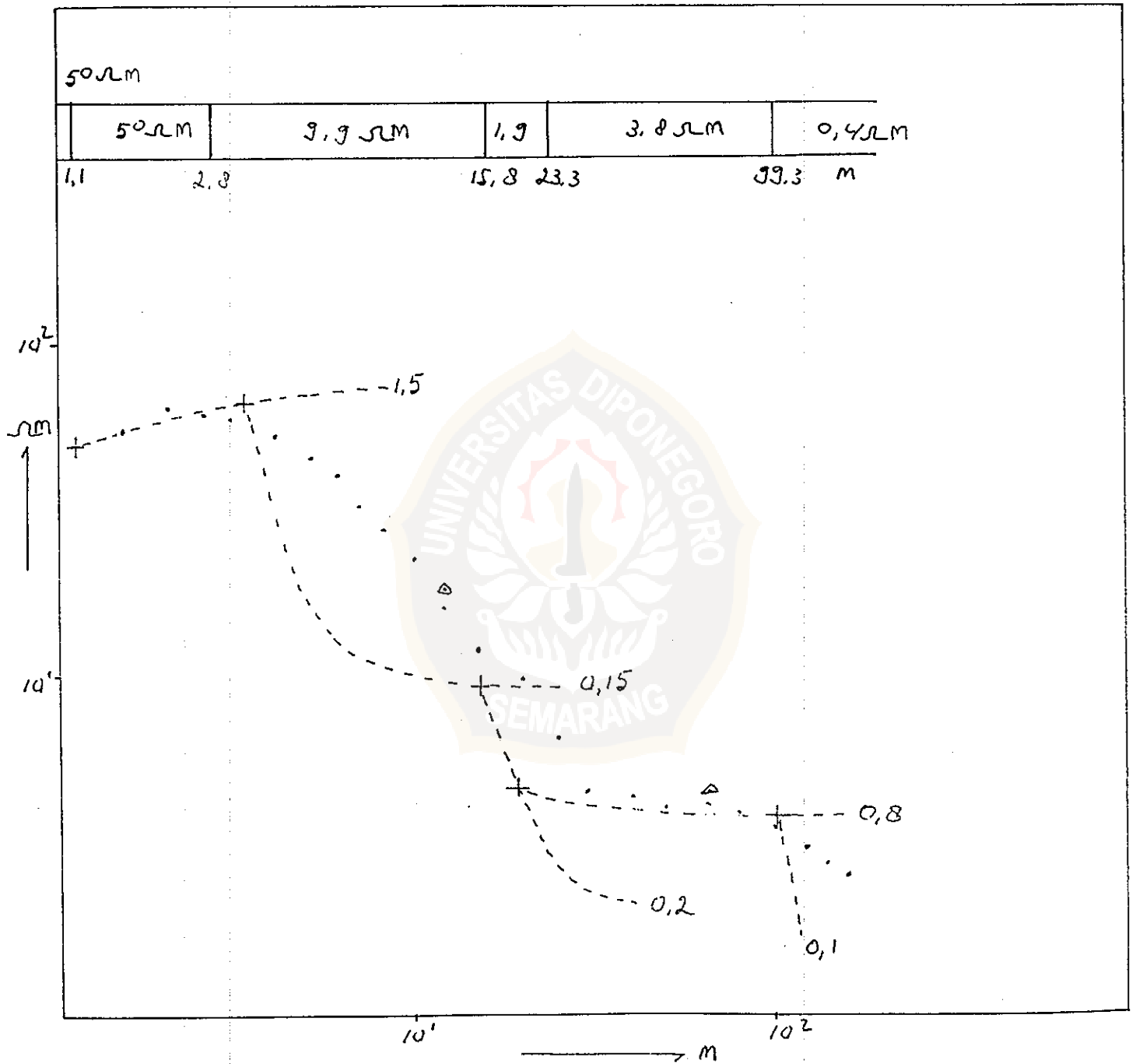
No.	AB/2 = a (m)	K	I (mA)	V (mV)	R (ohm)	ρ_a (Ω m)
MN/2 = b = 0,50 m						
1	1.5	6.280	130	576	4.4308	27.83
2	2	11.775	120	250	2.0833	24.53
3	2.5	18.840	120	146.1	1.2175	22.94
4	3	27.475	120	104.5	0.8708	23.93
5	4	49.455	120	51	0.4250	21.02
6	5	77.715	120	34.6	0.2883	22.41
7	6	112.255	120	24.2	0.2017	22.64
8	7	153.075	120	15.6	0.1300	19.90
9	8	200.175	120	11.7	0.0975	19.52
10	10	313.215	110	5.8	0.0527	16.51
11	12	451.375	90	2.6	0.0289	13.04
MN/2 = b = 2,50 m						
11	12	86.507	90	13.7	0.1522	13.17
12	15	137.375	130	12.2	0.0938	12.89
13	20	247.275	150	7.1	0.0473	11.70
14	25	388.575	90	2.5	0.0278	10.79
15	30	561.275	160	2.9	0.0181	10.17
16	40	1000.875	150	1.5	0.0100	10.01
17	50	1566.075	90	0.6	0.0067	10.44
18	65	2649.375	90	0.3	0.0033	8.83
MN/2 = b = 10,00 m						
18	65	647.625	90	1.3	0.0144	9.35
19	80	989.100	90	0.8	0.0089	8.79
20	100	1554.300	70	0.4	0.0057	8.88
21	120	2245.100	80	0.3	0.0038	8.42
22	140	3061.500				
23	160	4003.500				
24	180	5071.100				
25	200	6264.300				
MN/2 = b = 20,00 m						
25	250	4874.850				
26	300	7033.600				

Denah Lokasi Pendugaan :

LAMPIRAN E
HASIL MATCHING CURVE

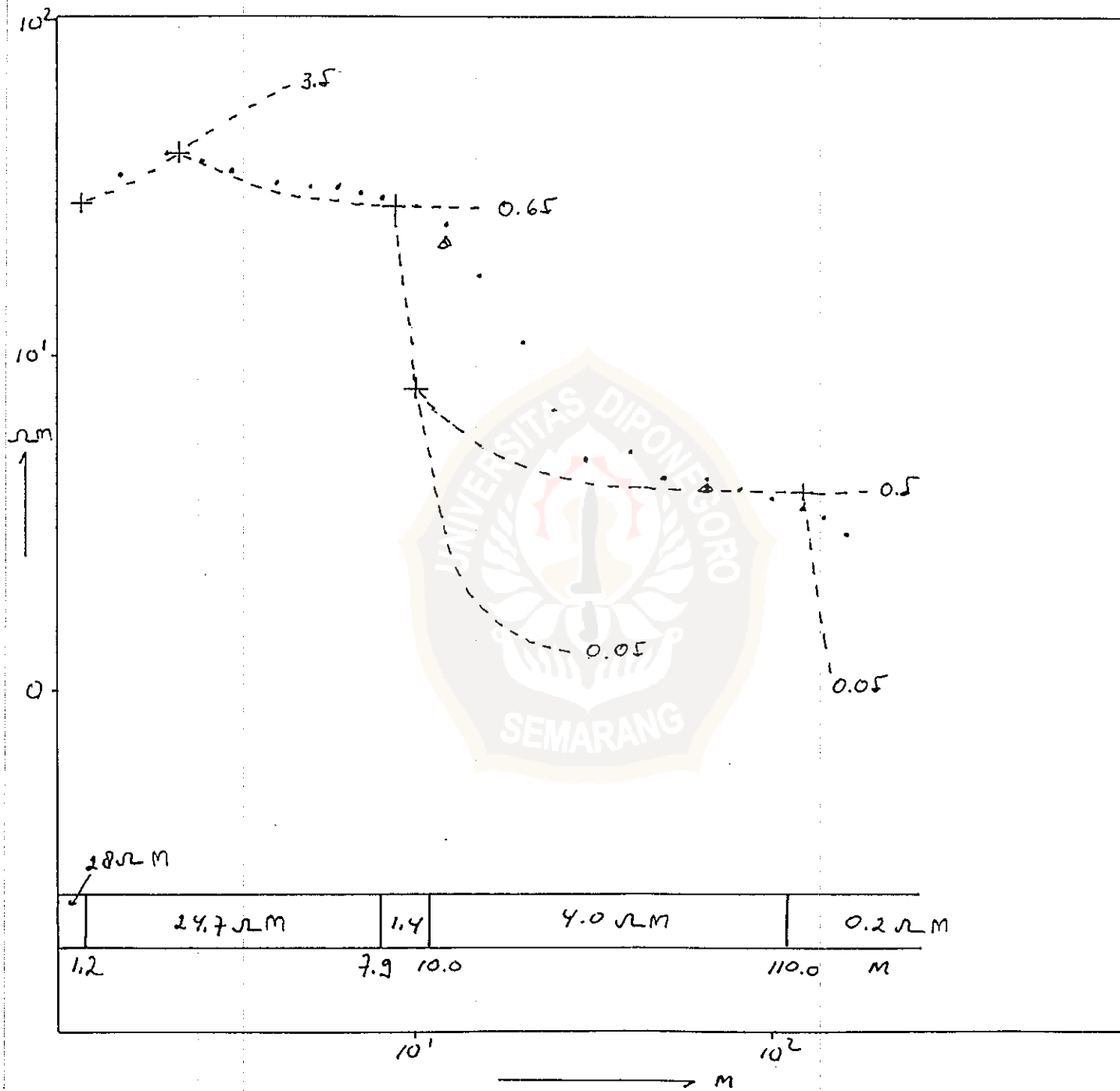


NO. TITIK : 01



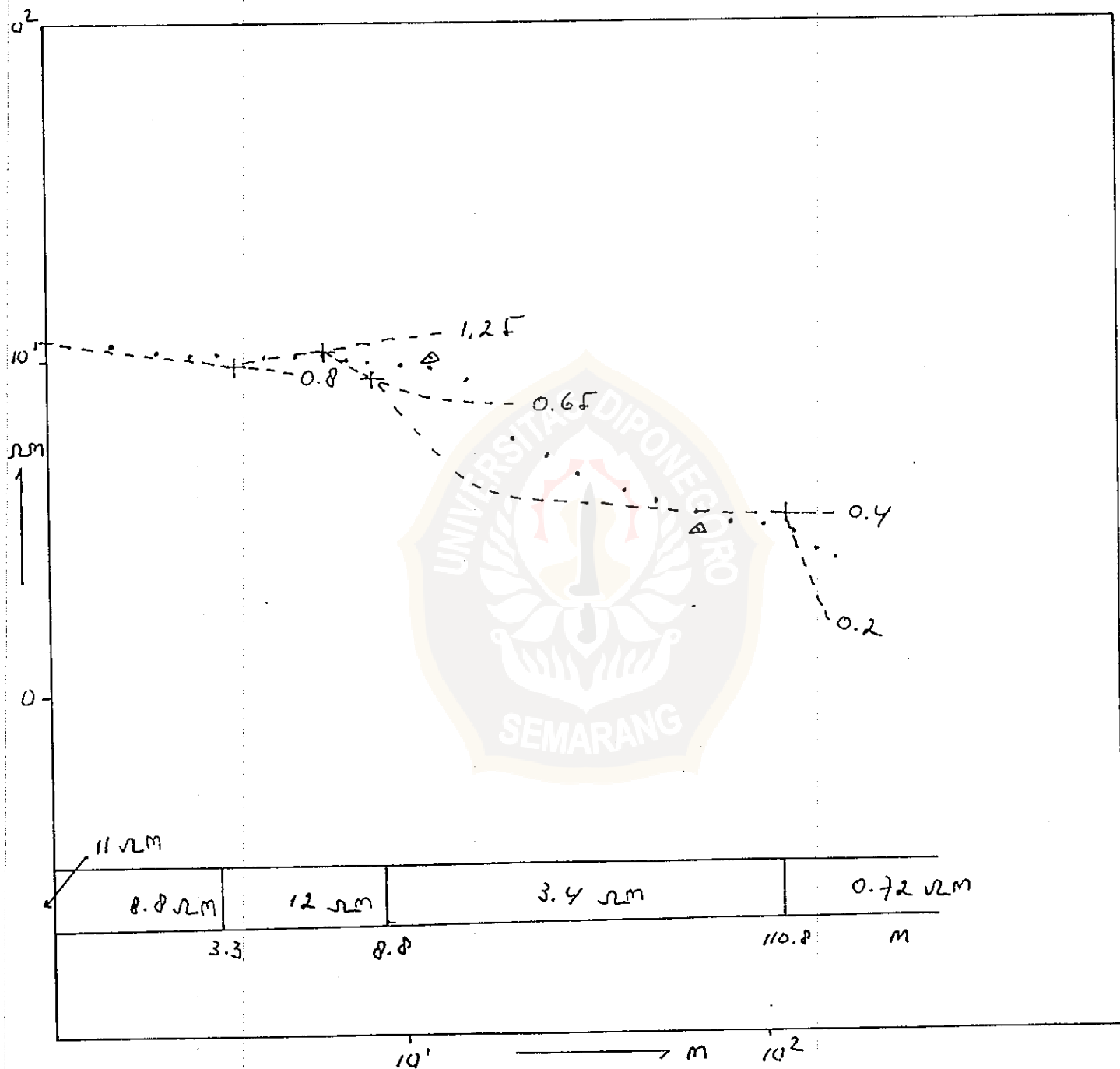
Gambar F1. Hasil Matching Curve Pada titik 1

NO. TITIK : 02



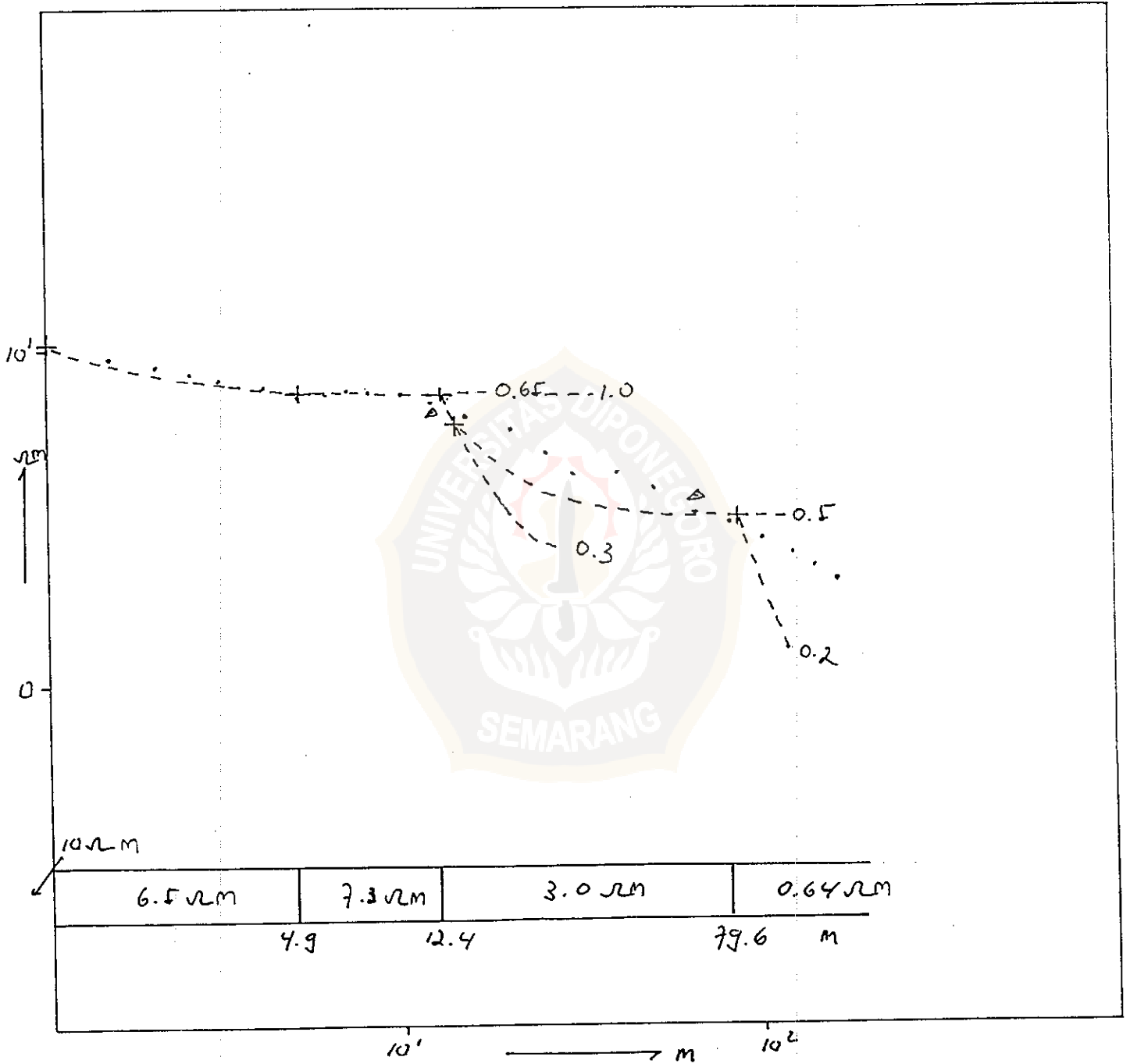
Gambar F2. Hasil Matching Curve Pada titik 2

NO. TITIK : 03



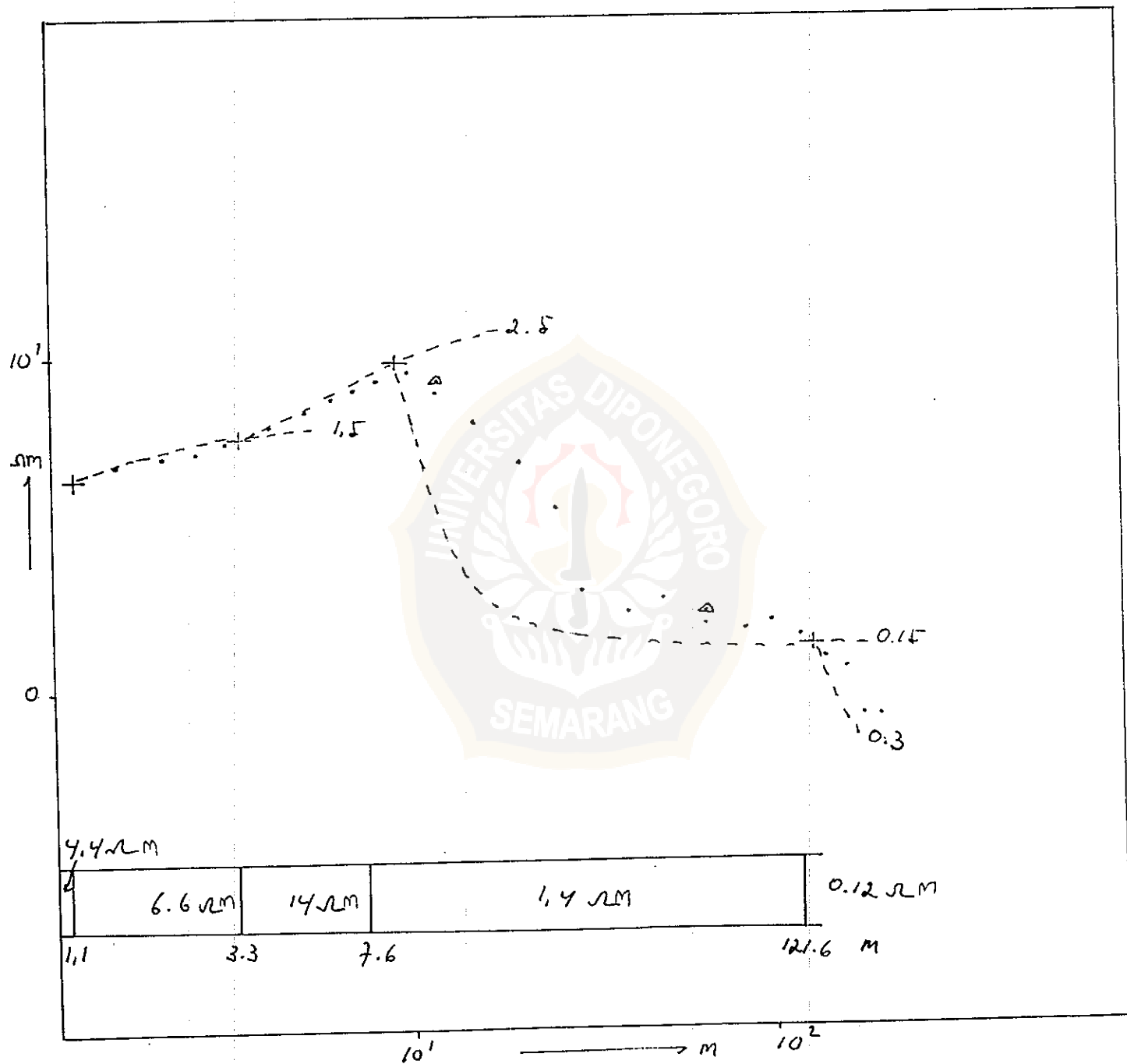
Gambar F3. Hasil Matching Curve Pada titik 3

NO. TITIK : 04



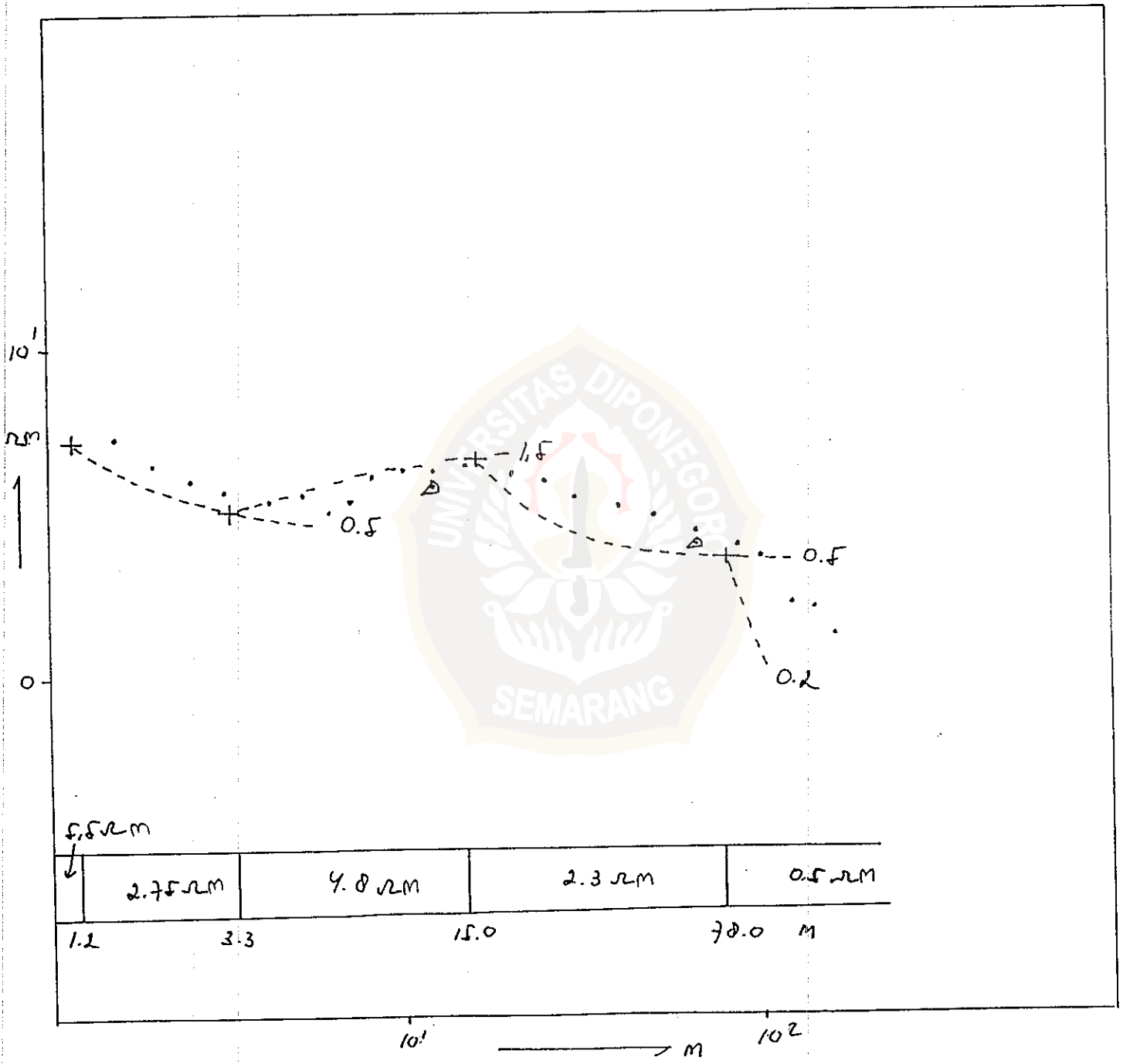
Gambar F4. Hasil Matching Curve Pada titik 4

NO. TITIK : 05



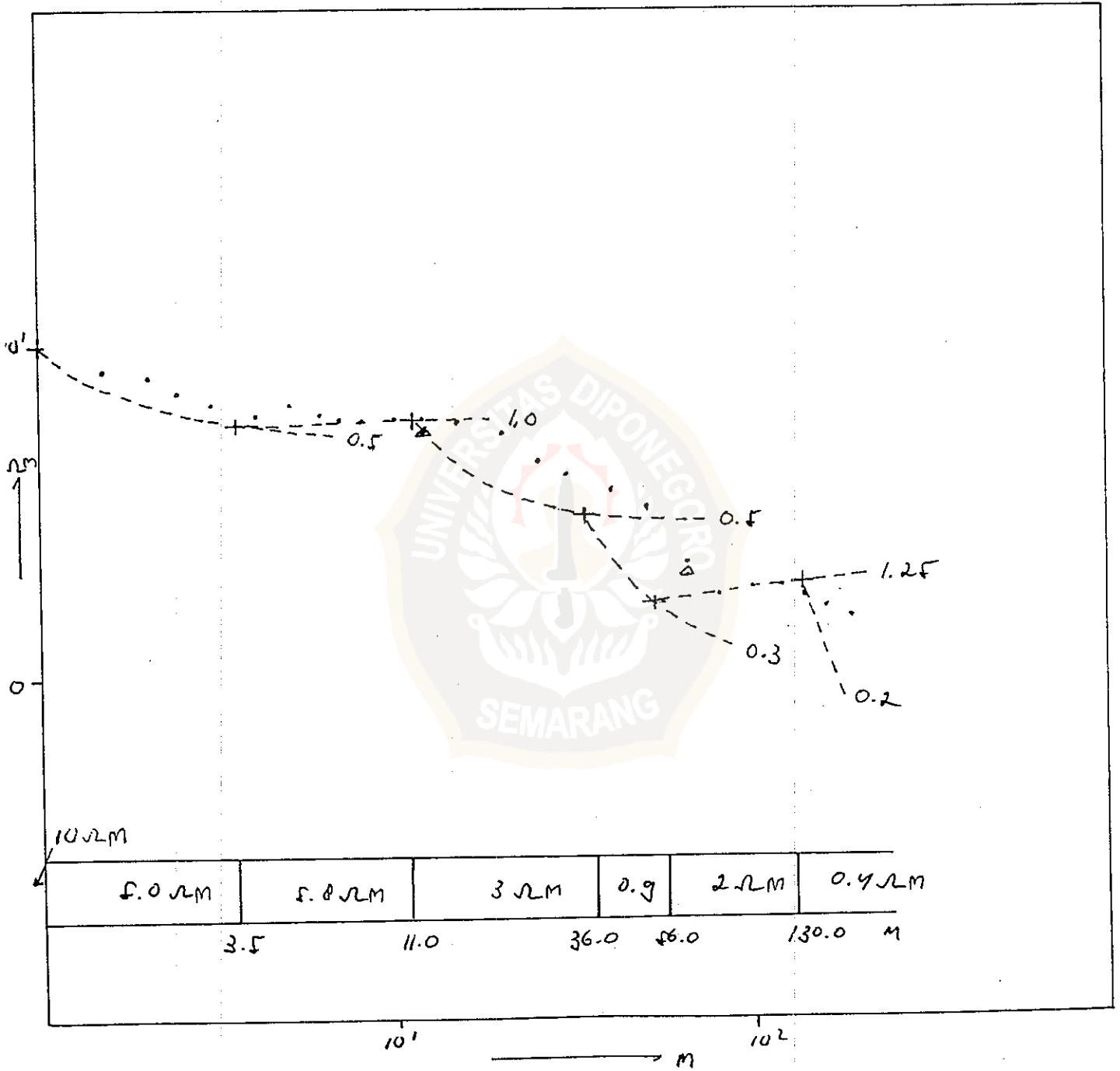
Gambar F5. Hasil Matching Curve Pada titik 5

NO. TITIK : 06



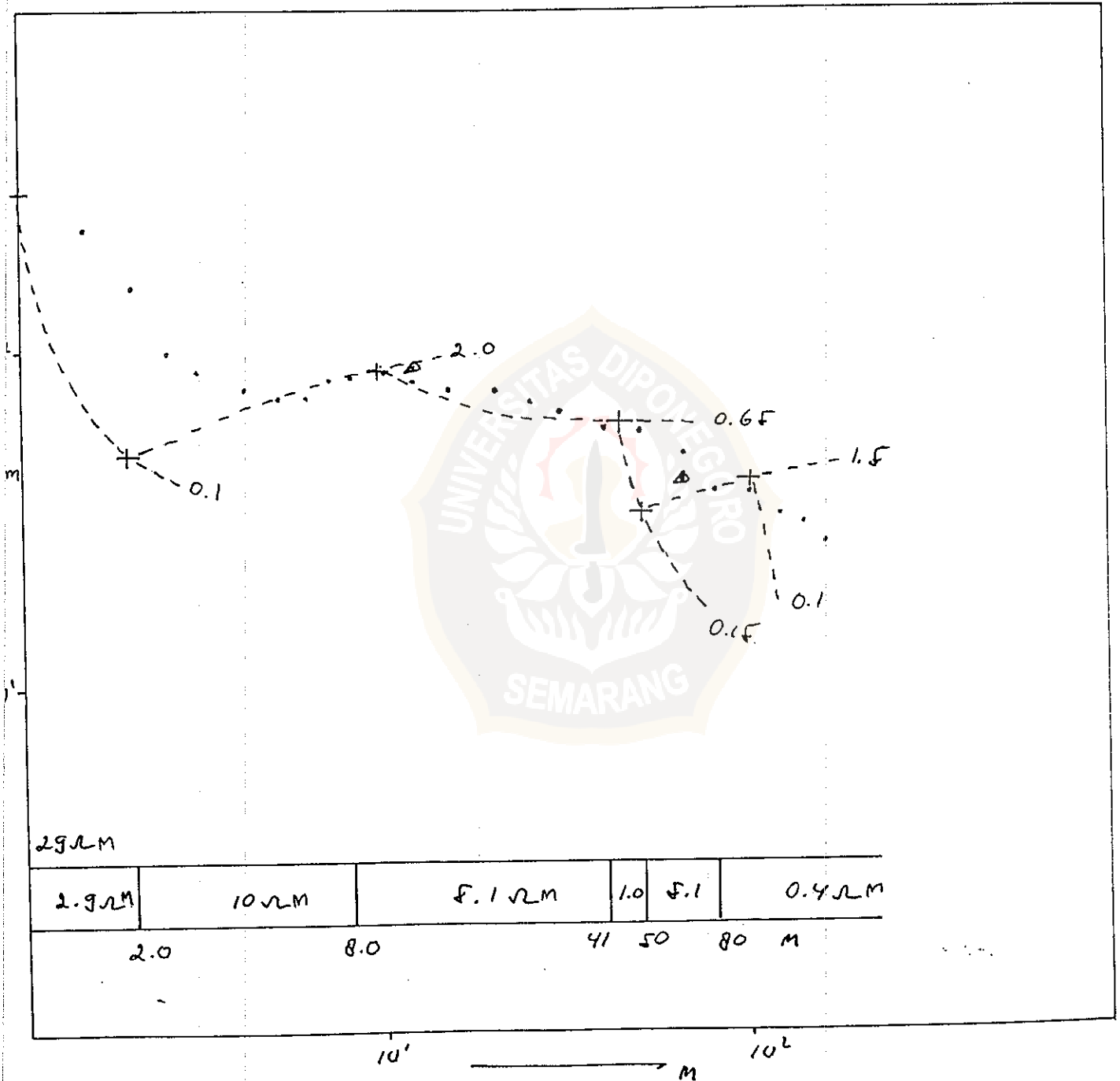
Gambar F6. Hasil Matching Curve Pada titik 6

NO. TITIK : 07



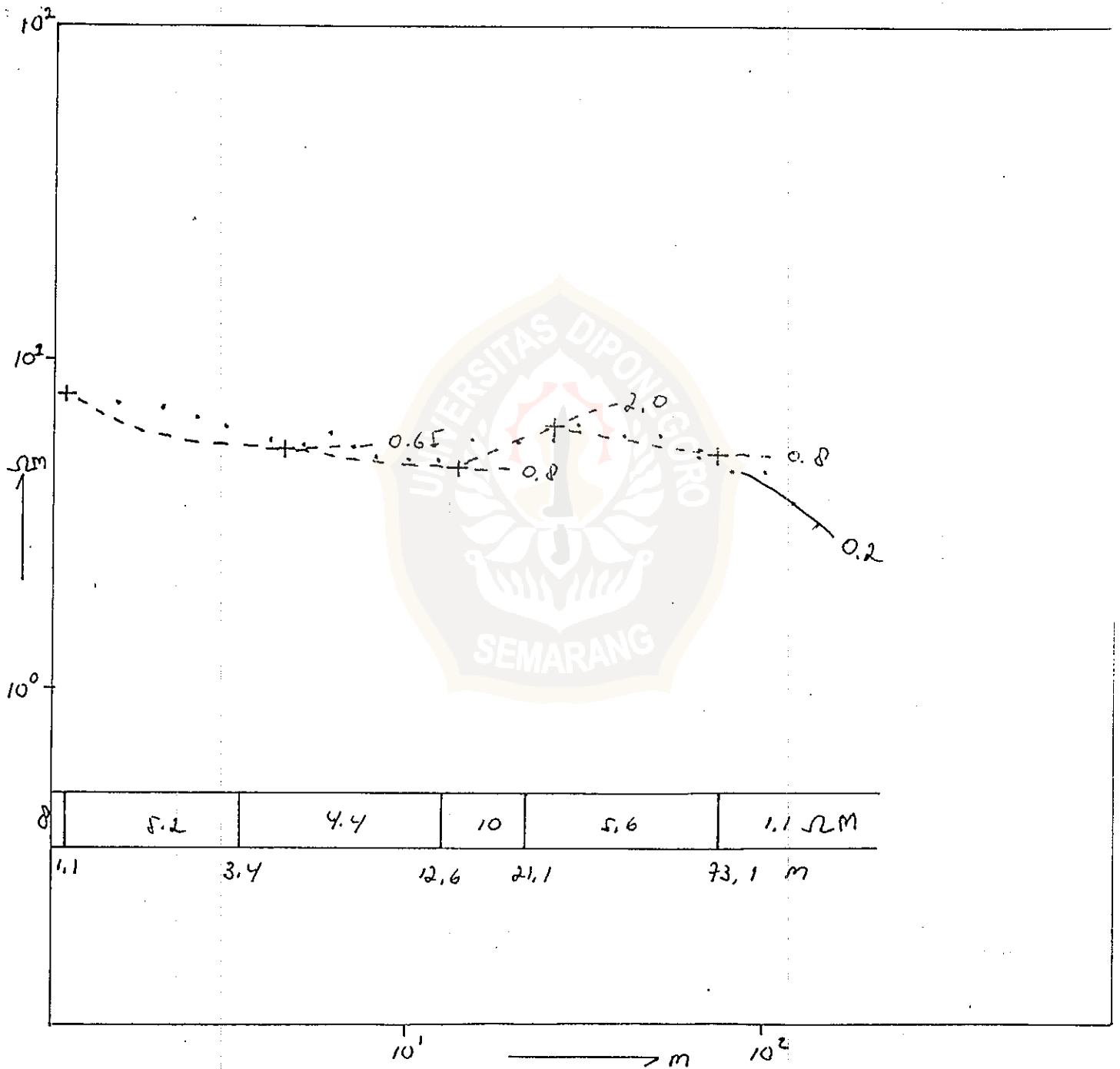
Gambar F7. Hasil Matching Curve Pada titik 7

NO. TITIK : 08



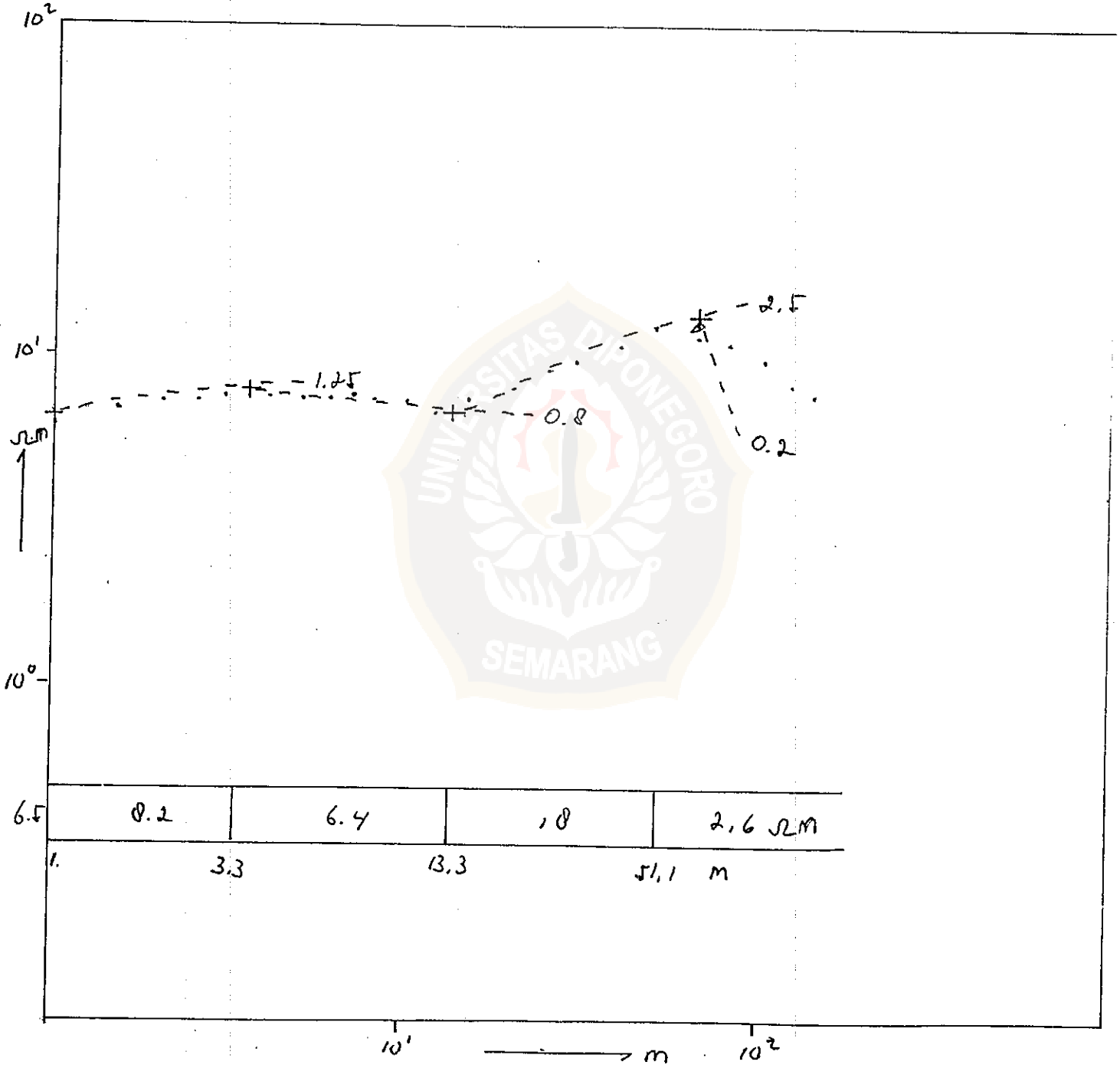
Gambar F8. Hasil Matching Curve Pada titik B

NO TITIK : 9



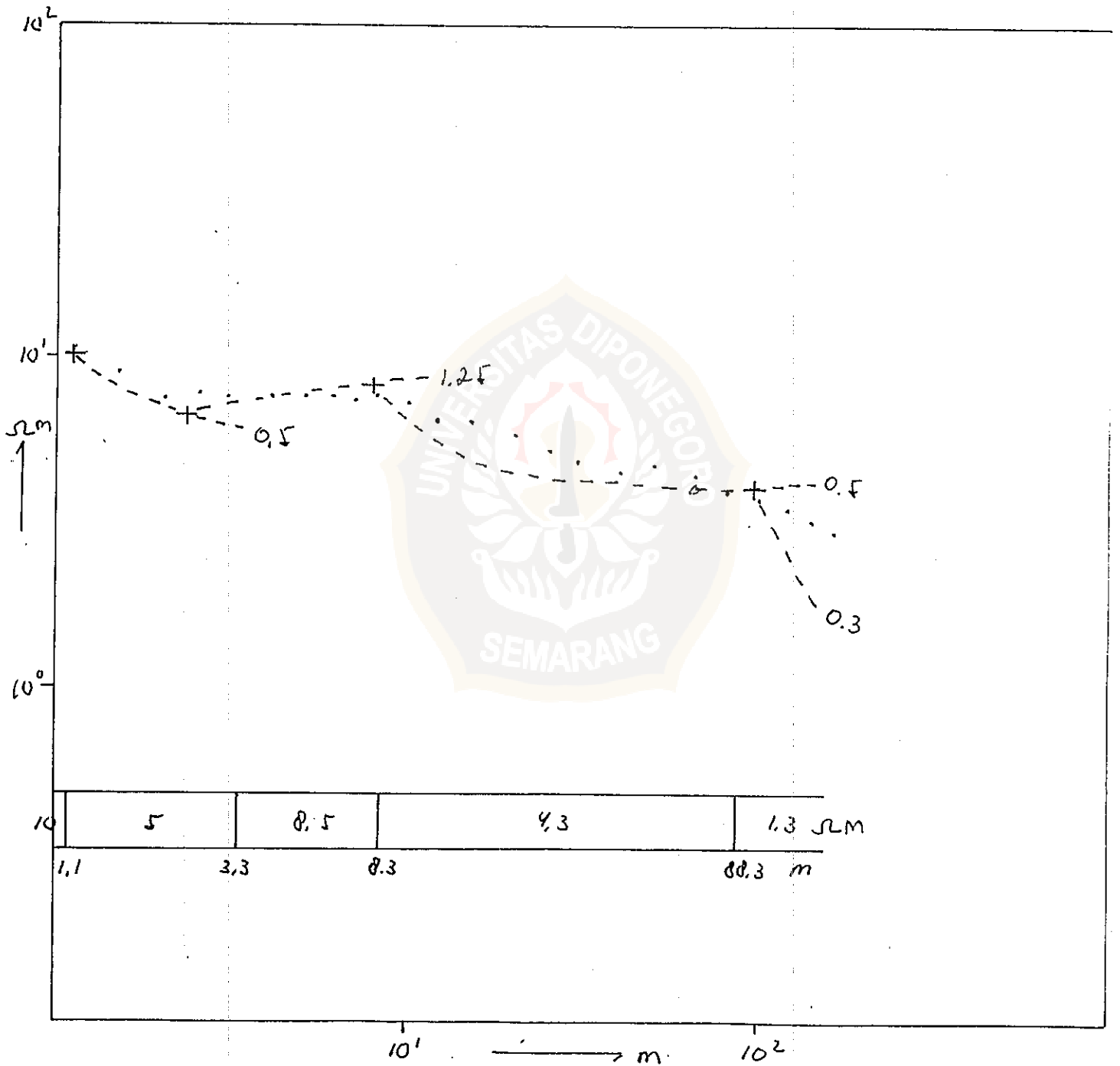
Gambar F9. Hasil Matching Curve Pada titik 9 lokasi kedua

NO. TITIK : 10



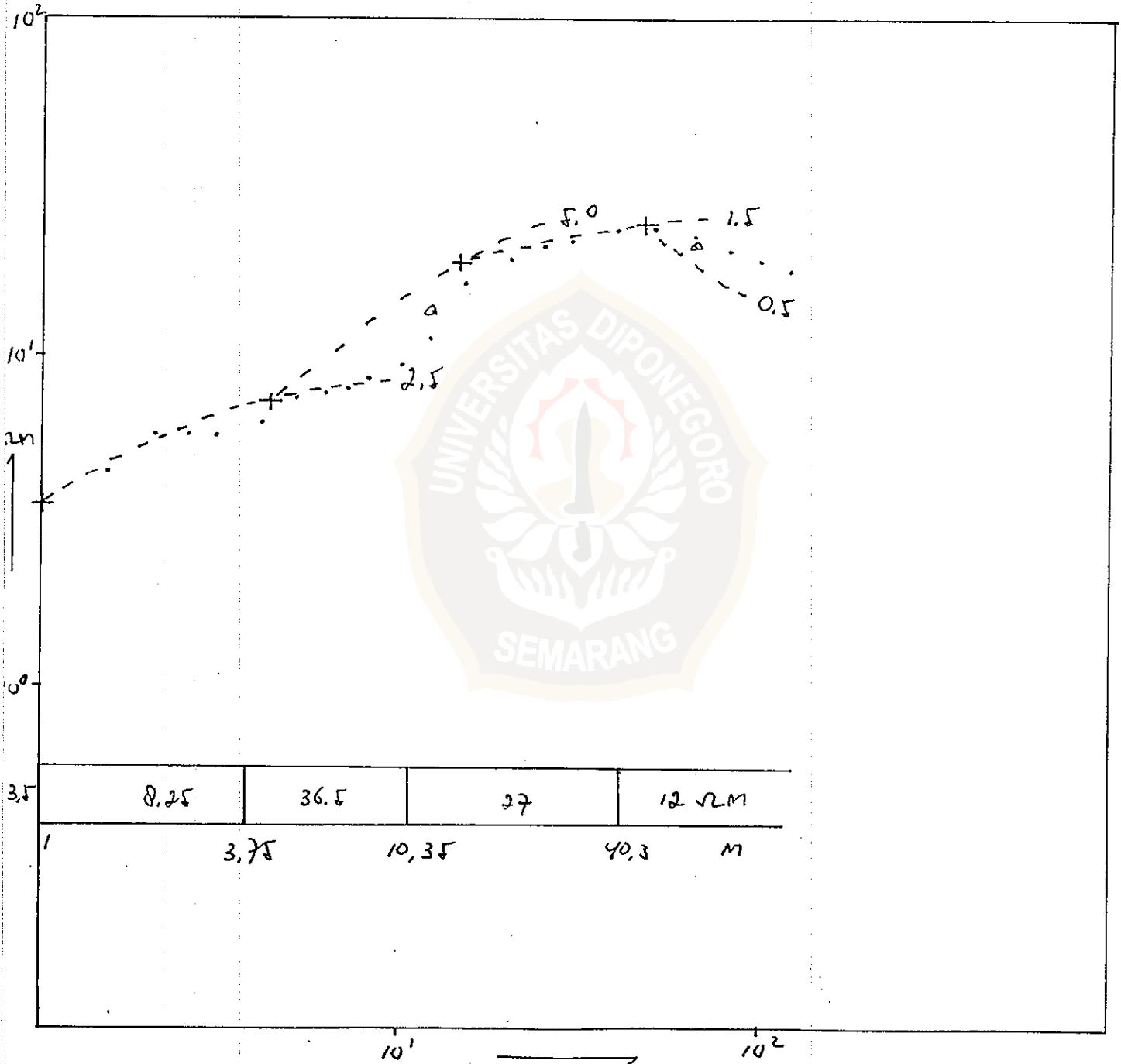
Gambar F10. Hasil Matching Curve Pada titik 10.

NO. TITIK : 11



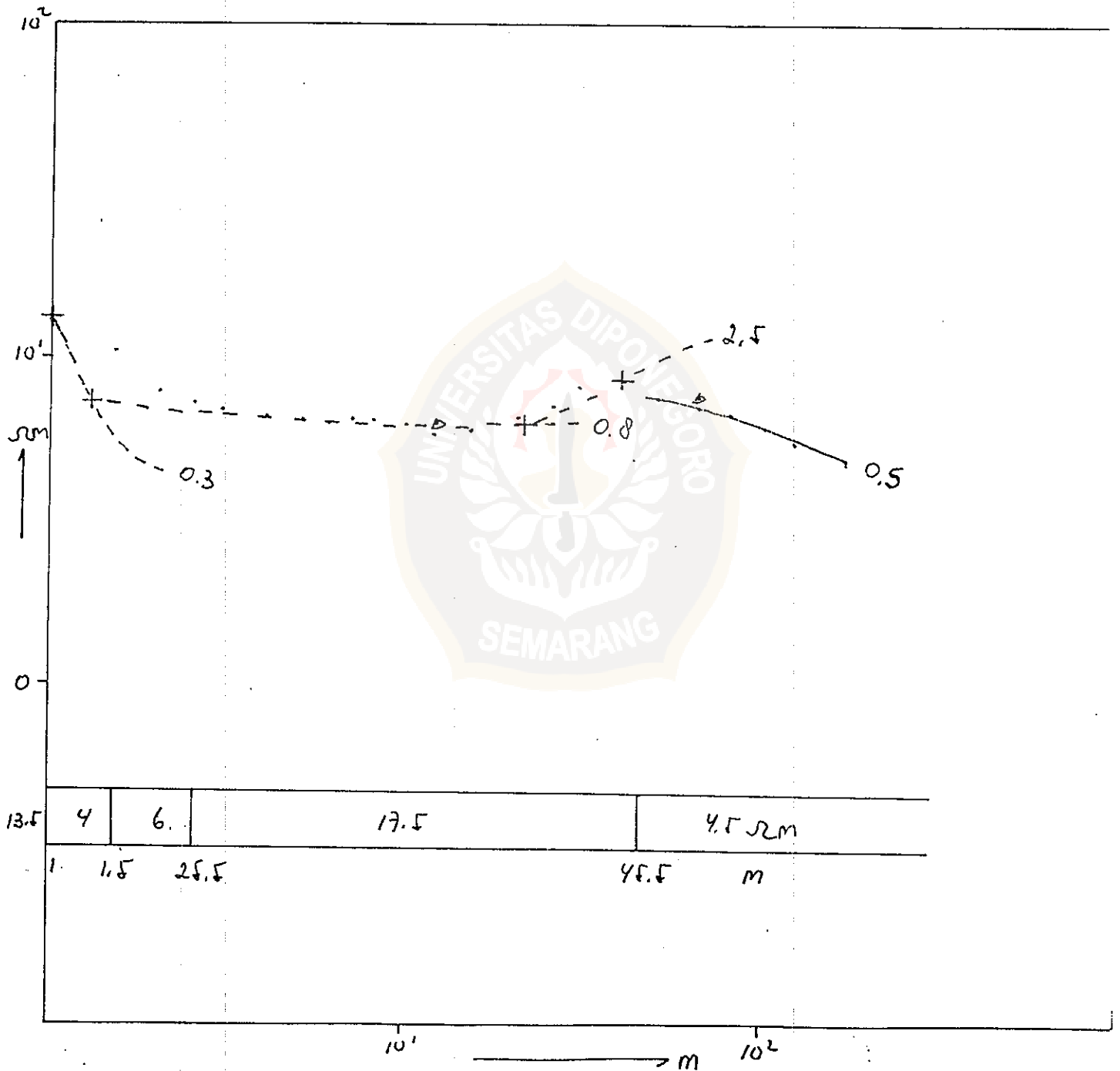
Gambar F11.: Hasil Matching Curve Pada titik 11

NO. TITIK : 12



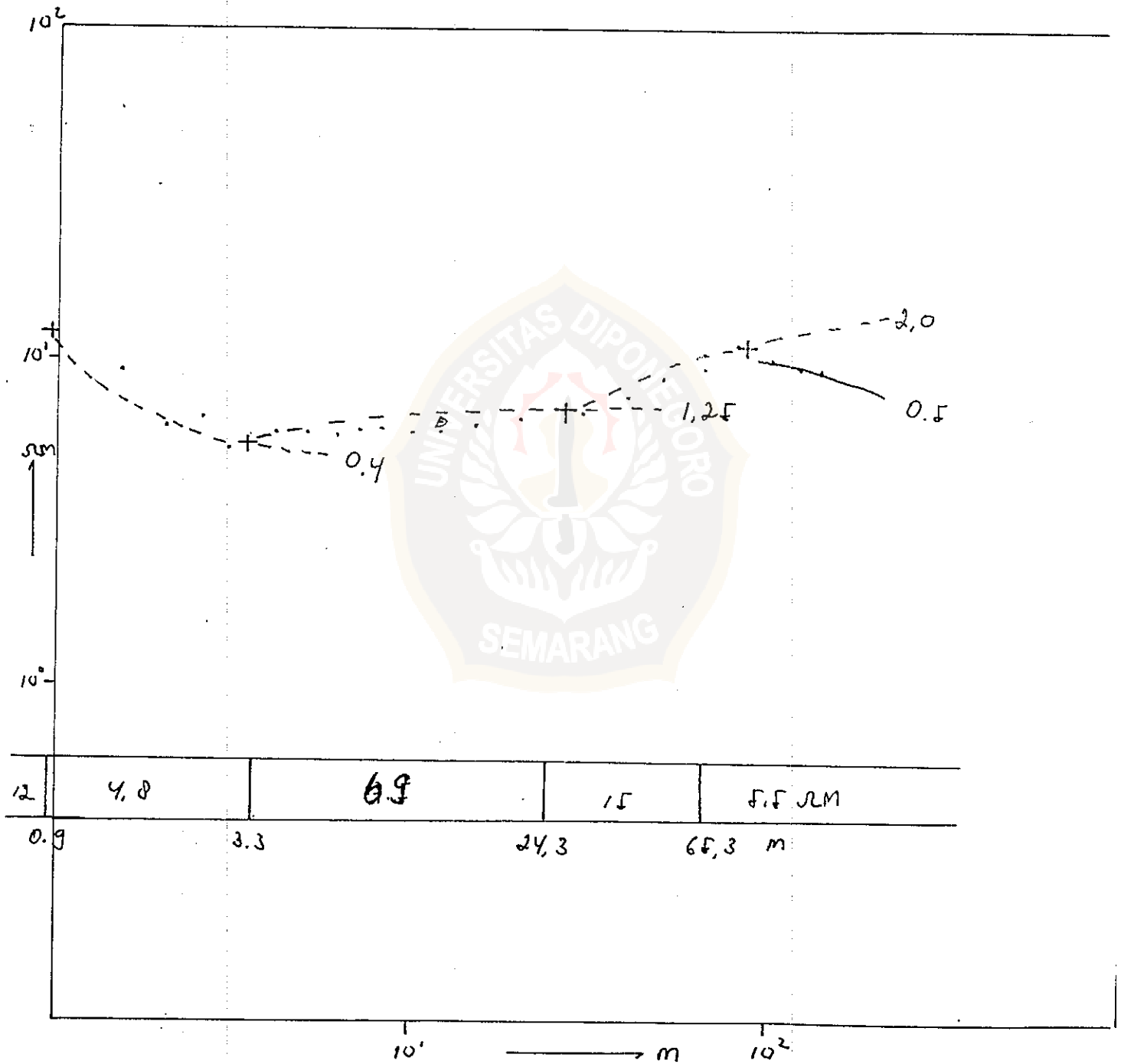
Gambar F12.] Hasil Matching Curve Pada titik 12

NO. TITIK : 13



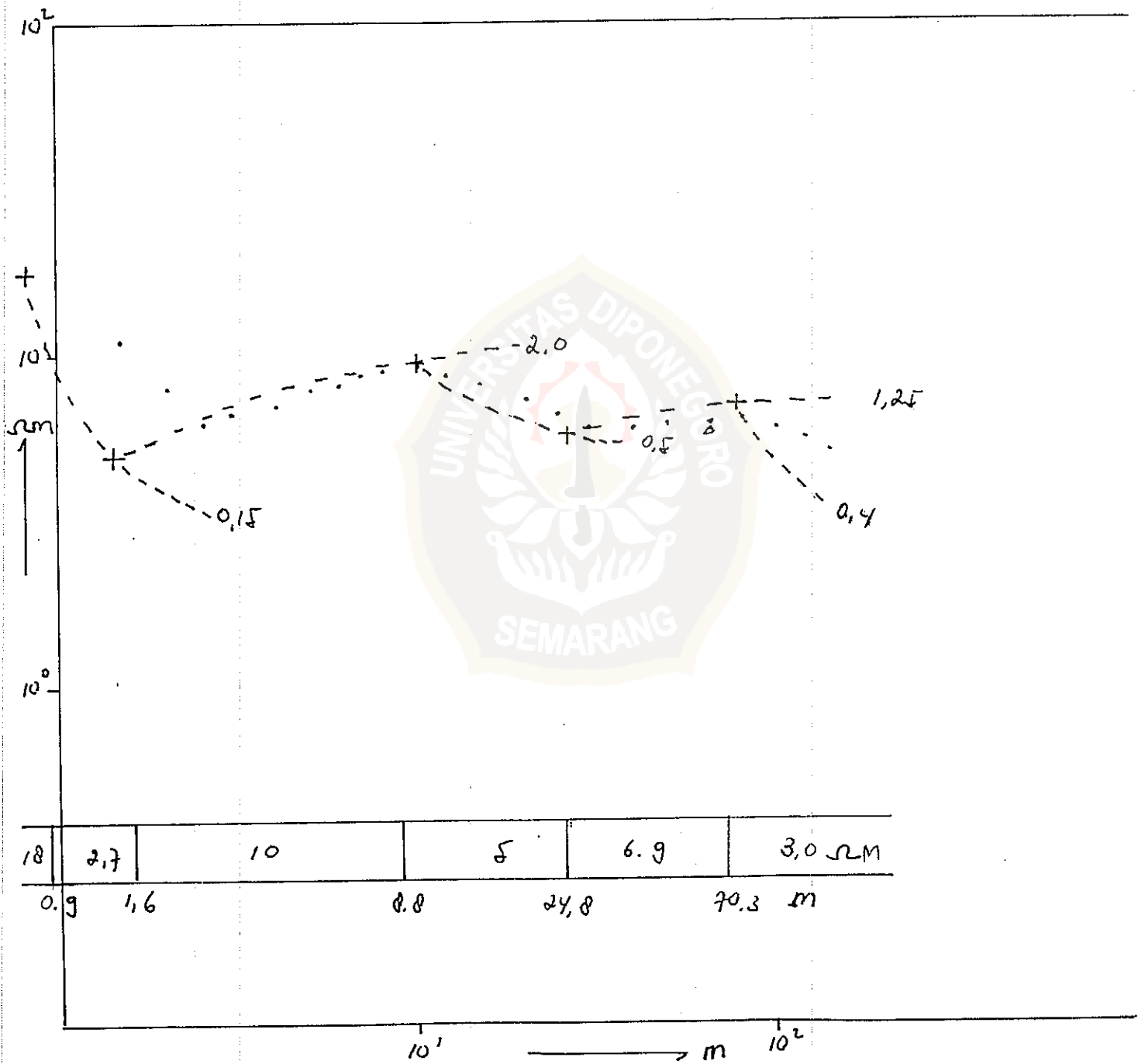
Gambar F13.: Hasil Matching Curve Pada titik 13

NO. TITIK : 14



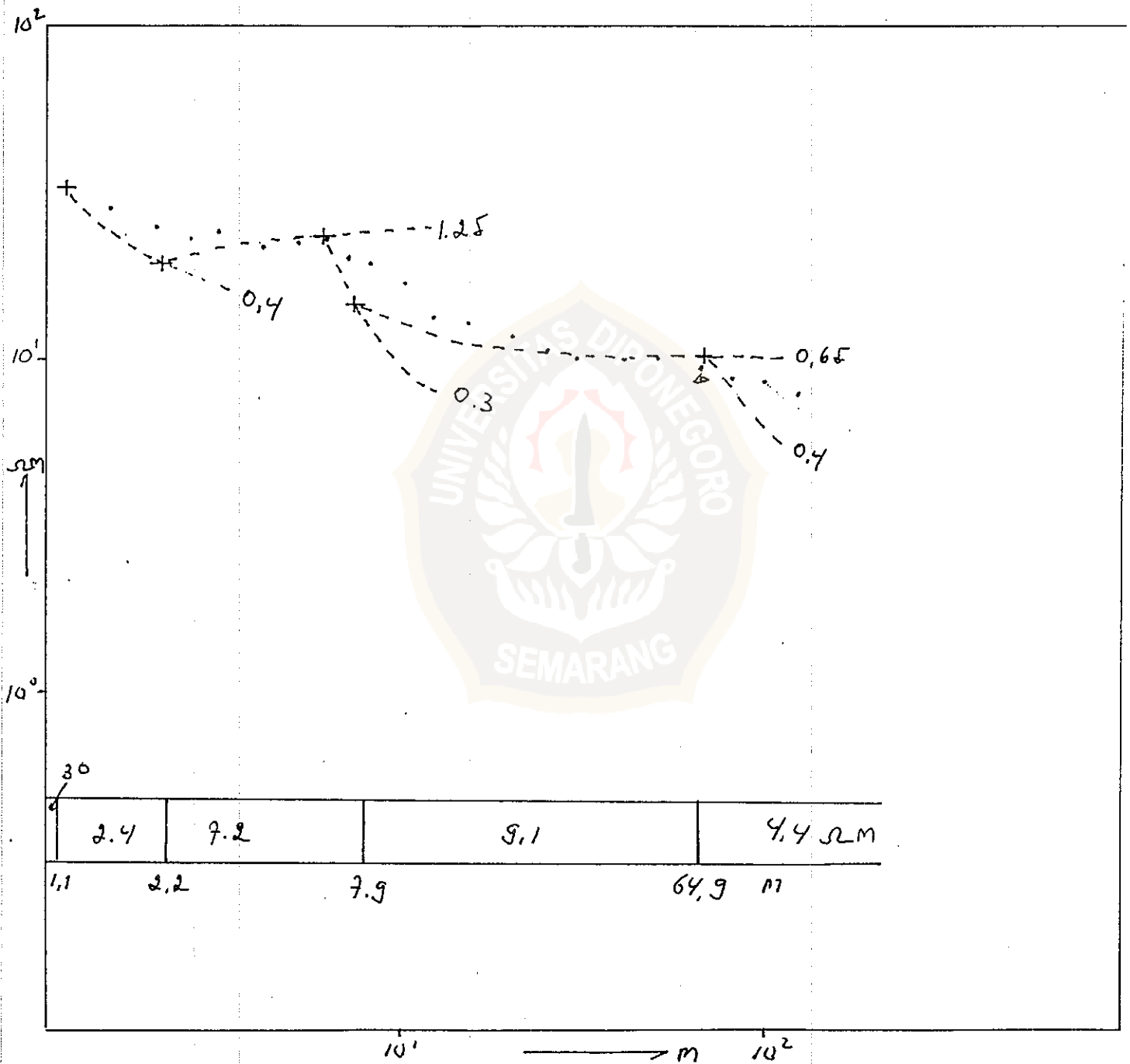
Gambar F14.1 Hasil Matching Curve Pada titik 14

NO. TITIK : 15



Gambar F15. Hasil Matching Curve Pada titik 15

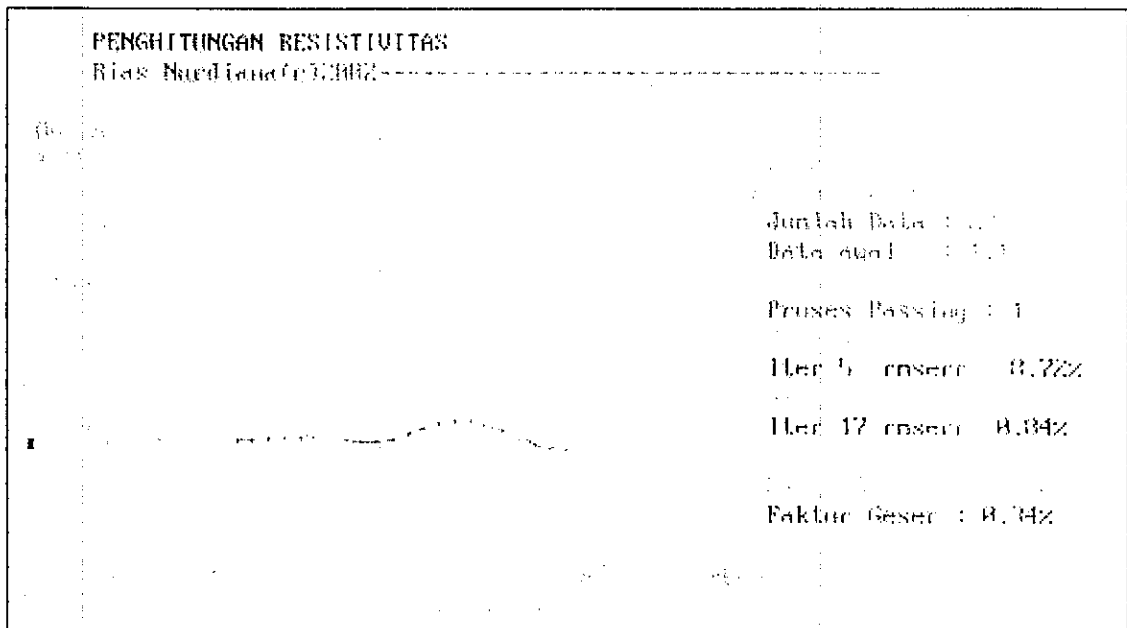
NO. TITIK : 16



Gambar F16. Hasil Matching Curve Pada titik 16

LAMPIRAN F
HASIL PEMROGRAMAN ZOHDY





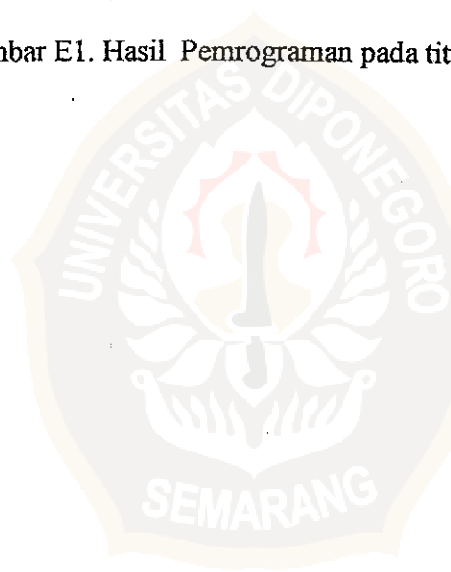
Gambar E1. Hasil Pemrograman pada titik 1

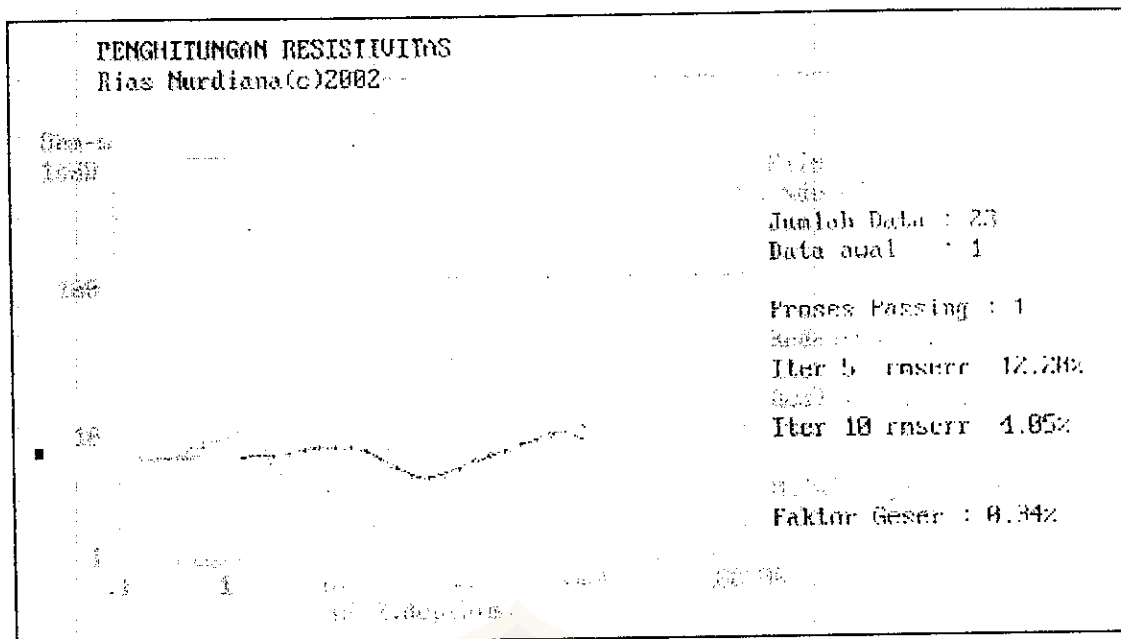
KEDALAMAN

1.1000E+00
 1.4669E+00
 1.9561E+00
 2.6085E+00
 3.4785E+00
 4.6387E+00
 6.1858E+00
 8.2488E+00
 1.1000E+01
 1.4669E+01
 1.9561E+01
 2.6085E+01
 3.4785E+01
 4.6387E+01
 6.1858E+01
 8.2488E+01
 1.1000E+02
 1.4669E+02
 1.9561E+02
 2.6085E+02
 3.4785E+02
 4.6387E+02
 6.1858E+02
 8.2488E+02

RESISTIVITAS

7.2421E+00
 7.2800E+00
 7.3436E+00
 7.4290E+00
 7.5069E+00
 7.5257E+00
 7.4444E+00
 7.2769E+00
 7.1028E+00
 7.0476E+00
 7.2495E+00
 7.8010E+00
 8.6408E+00
 9.5037E+00
 1.0041E+01
 1.0014E+01
 9.4189E+00
 8.4780E+00
 7.5226E+00
 6.7929E+00
 6.3194E+00
 5.9852E+00
 5.6826E+00
 5.3977E+00





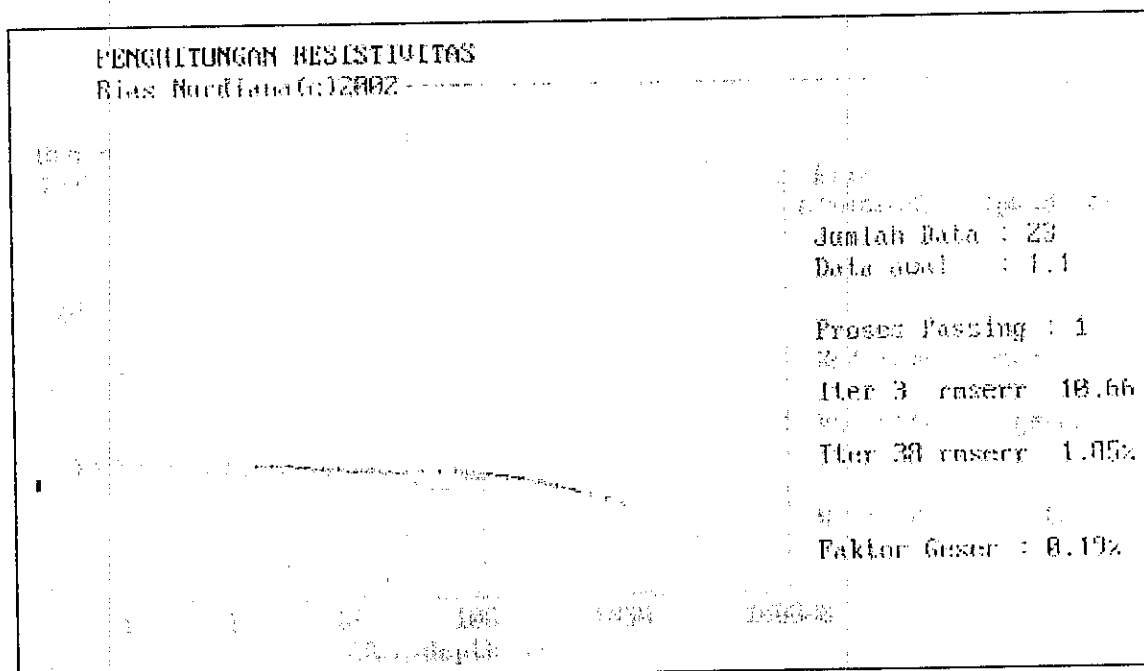
Gambar E2. Hasil Pemrograman pada titik 2

KEDALAMAN

1.0000E+00
1.3335E+00
1.7783E+00
2.3714E+00
3.1623E+00
4.2170E+00
5.6234E+00
7.4989E+00
1.0000E+01
1.3335E+01
1.7783E+01
2.3714E+01
3.1623E+01
4.2170E+01
5.6234E+01
7.4989E+01
1.0000E+02
1.3335E+02
1.7783E+02
2.3714E+02
3.1623E+02
4.2170E+02
5.6234E+02
7.4989E+02

RESISTIVITAS

6.2002E+00
6.2727E+00
6.4060E+00
6.6171E+00
6.8852E+00
7.1326E+00
7.2463E+00
7.1243E+00
6.7003E+00
5.9741E+00
5.0936E+00
4.3818E+00
4.1373E+00
4.3849E+00
4.9094E+00
5.4965E+00
6.0618E+00
6.6115E+00
7.1771E+00
7.7863E+00
8.4407E+00
9.0964E+00
9.6763E+00
1.0115E+01



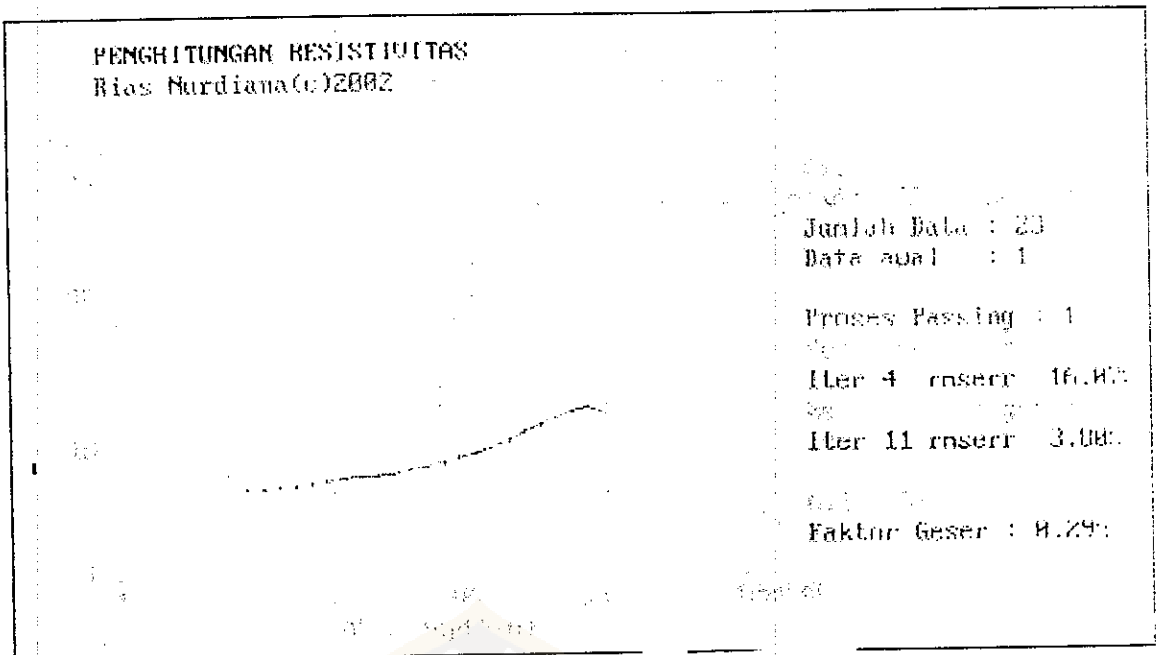
Gambar E3. Hasil Pemrograman pada titik 3

KEDALAMAN

1.1000E+00
1.4669E+00
1.9561E+00
2.6085E+00
3.4785E+00
4.6387E+00
6.1858E+00
8.2488E+00
1.1000E+01
1.4669E+01
1.9561E+01
2.6085E+01
3.4785E+01
4.6387E+01
6.1858E+01
8.2488E+01
1.1000E+02
1.4669E+02
1.9561E+02
2.6085E+02
3.4785E+02
4.6387E+02
6.1858E+02
8.2488E+02
1.1000E+03

RESISTIVITAS

8.7831E+00
8.7228E+00
8.6160E+00
8.4548E+00
8.2568E+00
8.0639E+00
7.9142E+00
7.8164E+00
7.7536E+00
7.7053E+00
7.6599E+00
7.6106E+00
7.5463E+00
7.4489E+00
7.2950E+00
7.0641E+00
6.7499E+00
6.3663E+00
6.9416E+00
5.5111E+00
5.1082E+00
4.7536E+00
4.4529E+00
4.2068E+00
4.0231E+00



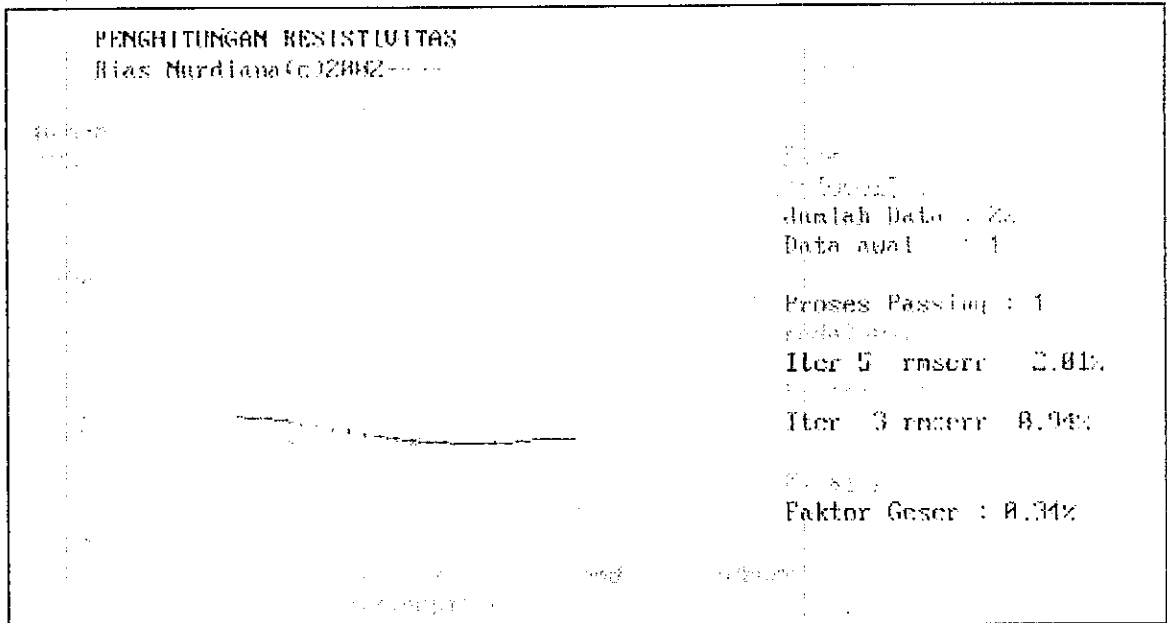
Gambar E4. Hasil Pemrograman pada titik 4

KEDALAMAN

1.0000E+00
1.3335E+00
1.7783E+00
2.3714E+00
3.1623E+00
4.2170E+00
5.6234E+00
7.4989E+00
1.0000E+01
1.3335E+01
1.7783E+01
2.3714E+01
3.1623E+01
4.2170E+01
5.6234E+01
7.4989E+01
1.0000E+02
1.3335E+02
1.7783E+02
2.3714E+02
3.1623E+02
4.2170E+02
5.6234E+02
7.4989E+02

RESISTIVITAS

4.4663E+00
4.5108E+00
4.5940E+00
4.7300E+00
4.9162E+00
5.1268E+00
5.3276E+00
5.4999E+00
5.6530E+00
5.8199E+00
6.0435E+00
6.3584E+00
6.7835E+00
7.3297E+00
8.0116E+00
8.8532E+00
9.8870E+00
1.1141E+01
1.2605E+01
1.4206E+01
1.5814E+01
1.7280E+01
1.8477E+01
1.9345E+01



Gambar E5. Hasil Pemrograman pada titik 5

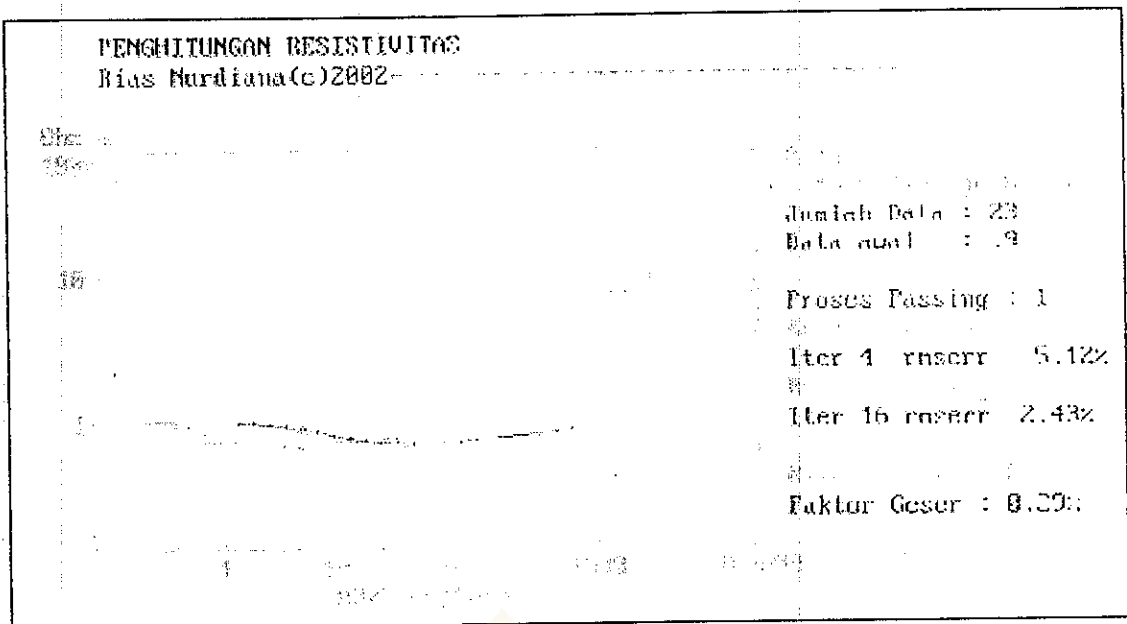
KEDALAMAN

1.0000E+00
 1.3335E+00
 1.7783E+00
 2.3714E+00
 3.1623E+00
 4.2170E+00
 5.6234E+00
 7.4989E+00
 1.0000E+01
 1.3335E+01
 1.7783E+01
 2.3714E+01
 3.1623E+01
 4.2170E+01
 5.6234E+01
 7.4989E+01
 1.0000E+02
 1.3335E+02
 1.7783E+02
 2.3714E+02
 3.1623E+02
 4.2170E+02
 5.6234E+02

RESISTIVITAS

1.0429E+01
 1.0329E+01
 1.0142E+01
 9.8347E+00
 9.4131E+00
 8.9312E+00
 8.4611E+00
 8.0483E+00
 7.7006E+00
 7.4088E+00
 7.1650E+00
 6.9654E+00
 6.8067E+00
 6.6829E+00
 6.5878E+00
 6.5234E+00
 6.5059E+00
 6.5612E+00
 6.7032E+00
 6.9117E+00
 7.1305E+00
 7.2962E+00
 7.3745E+00





Gambar E6. Hasil Pemrograman pada titik 6

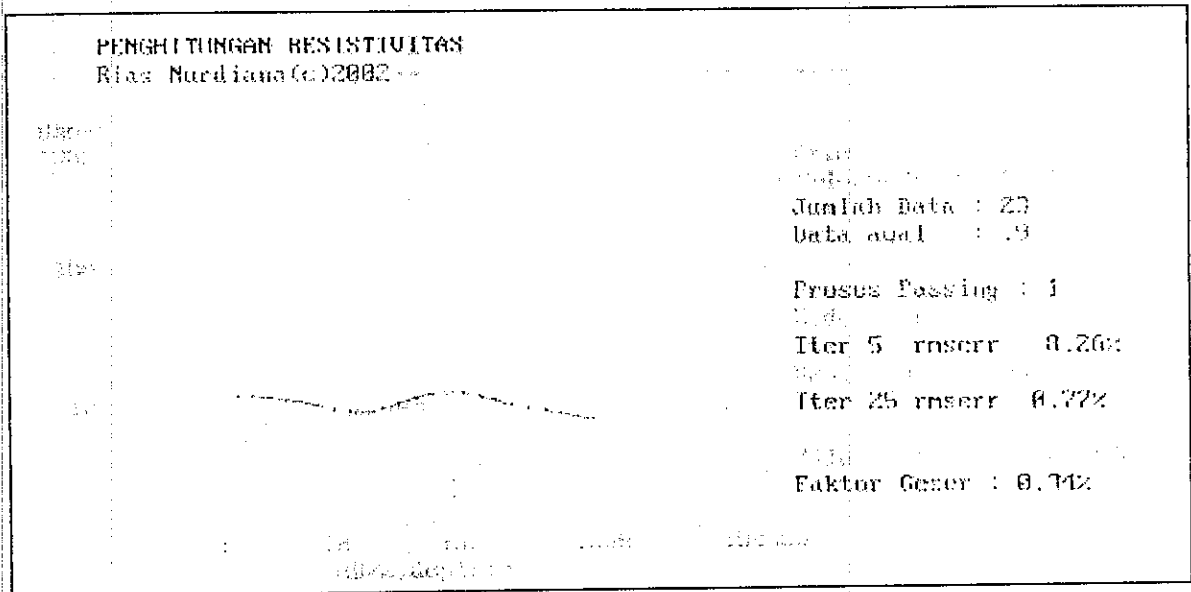
KEDALAMAN

9.0000E-01
 1.2002E+00
 1.6005E+00
 2.1342E+00
 2.8460E+00
 3.7953E+00
 5.0611E+00
 6.7490E+00
 9.0000E+00
 1.2002E+01
 1.6005E+01
 2.1342E+01
 2.8460E+01
 3.7953E+01
 5.0611E+01
 6.7490E+01
 9.0000E+01
 1.6005E+02
 2.1342E+02
 2.8460E+02
 3.7953E+02
 5.0611E+02
 6.7490E+02

RESISTIVITAS

8.9932E+00
 8.9057E+00
 8.7376E+00
 8.4523E+00
 8.0471E+00
 7.5827E+00
 7.1569E+00
 6.8314E+00
 6.5965E+00
 6.4165E+00
 6.2835E+00
 6.2142E+00
 6.2170E+00
 6.2856E+00
 6.4022E+00
 6.5349E+00
 6.7514E+00
 6.8749E+00
 7.0706E+00
 7.3668E+00
 7.7596E+00
 8.2135E+00
 8.6674E+00





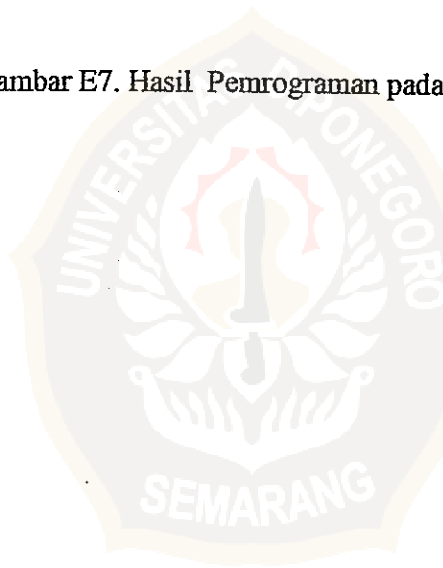
Gambar E7. Hasil Pemrograman pada titik 7

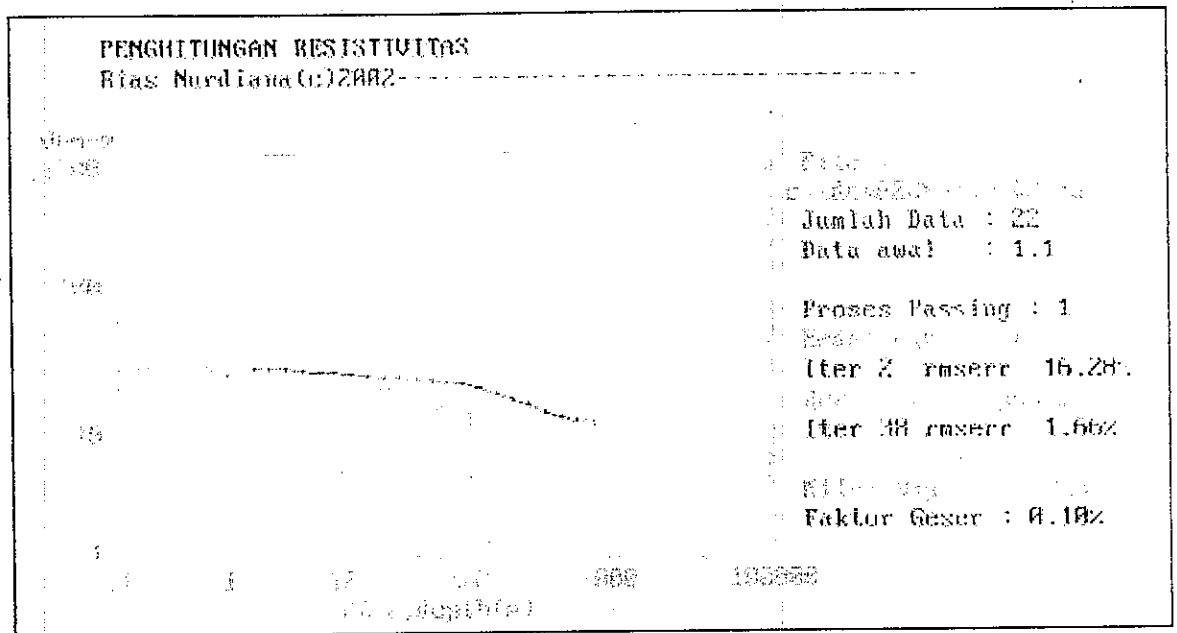
KEDALAMAN

9.0000E-01
1.2002E+00
1.6005E+00
2.1342E+00
2.8460E+00
3.7953E+00
5.0611E+00
6.7490E+00
9.0000E+00
1.2002E+01
1.6005E+01
2.1342E+01
2.8460E+01
3.7953E+01
5.0611E+01
6.7490E+01
9.0000E+01
1.2002E+02
1.6005E+02
2.1342E+02
2.8460E+02
3.7953E+02
5.0611E+02
6.7490E+02

RESISTIVITAS

1.0822E+01
1.0726E+01
1.0538E+01
1.0209E+01
9.7242E+00
9.1337E+00
8.5528E+00
8.1319E+00
8.0374E+00
8.4083E+00
9.2305E+00
1.0248E+01
1.1069E+01
1.1389E+01
1.1145E+01
1.0511E+01
9.7659E+00
9.1073E+00
8.5644E+00
8.0703E+00
7.5878E+00
7.1481E+00
6.8037E+00
6.5772E+00





Gambar E8. Hasil Pemrograman pada titik 8

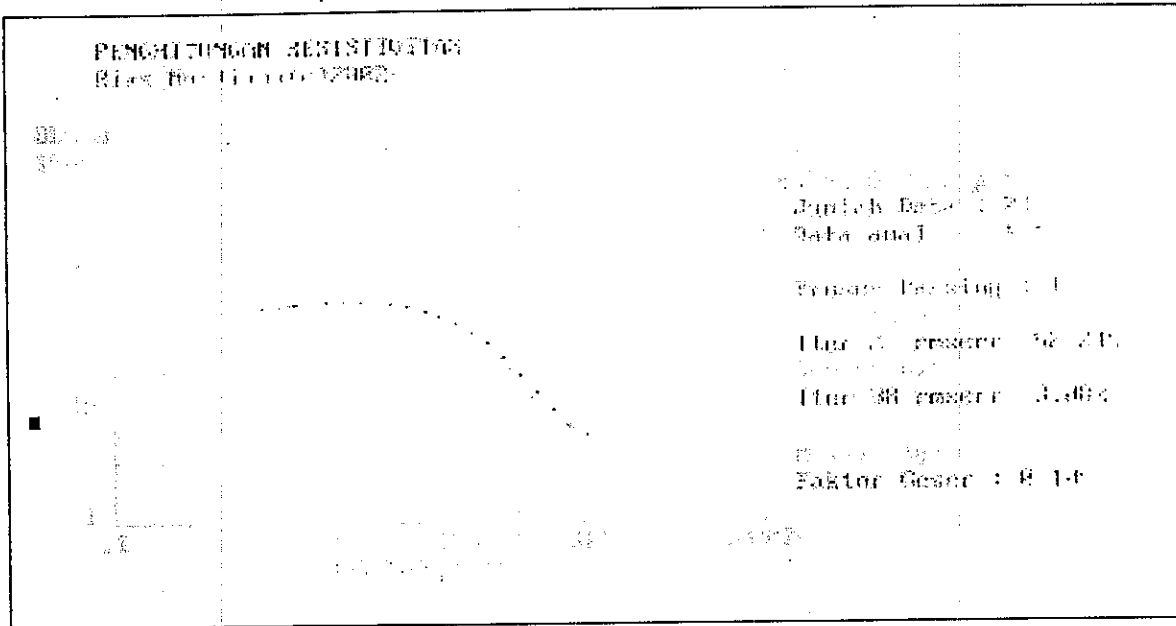
KEDALAMAN

1.1000E+00
 1.4669E+00
 1.9561E+00
 2.6085E+00
 3.4785E+00
 4.6387E+00
 6.1858E+00
 8.2488E+00
 1.1000E+01
 1.4669E+01
 1.9561E+01
 2.6085E+01
 3.4785E+01
 4.6387E+01
 6.1858E+01
 8.2488E+01
 1.1000E+02
 1.4669E+02
 1.9561E+02
 2.6085E+02
 3.4785E+02
 4.6387E+02
 6.1858E+02

RESISTIVITAS

2.7495E+01
 2.7338E+01
 2.7053E+01
 2.6604E+01
 2.6011E+01
 2.5344E+01
 2.4688E+01
 2.4093E+01
 2.3569E+01
 2.3082E+01
 2.2590E+01
 2.2047E+01
 2.1372E+01
 2.0448E+01
 1.9184E+01
 1.7609E+01
 1.5892E+01
 1.4252E+01
 1.2850E+01
 1.1736E+01
 1.0886E+01
 1.0245E+01
 9.7629E+00





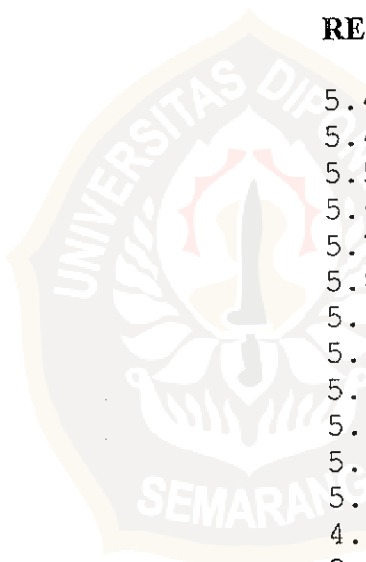
Gambar E9. Hasil Pemrograman Pada Titik 9

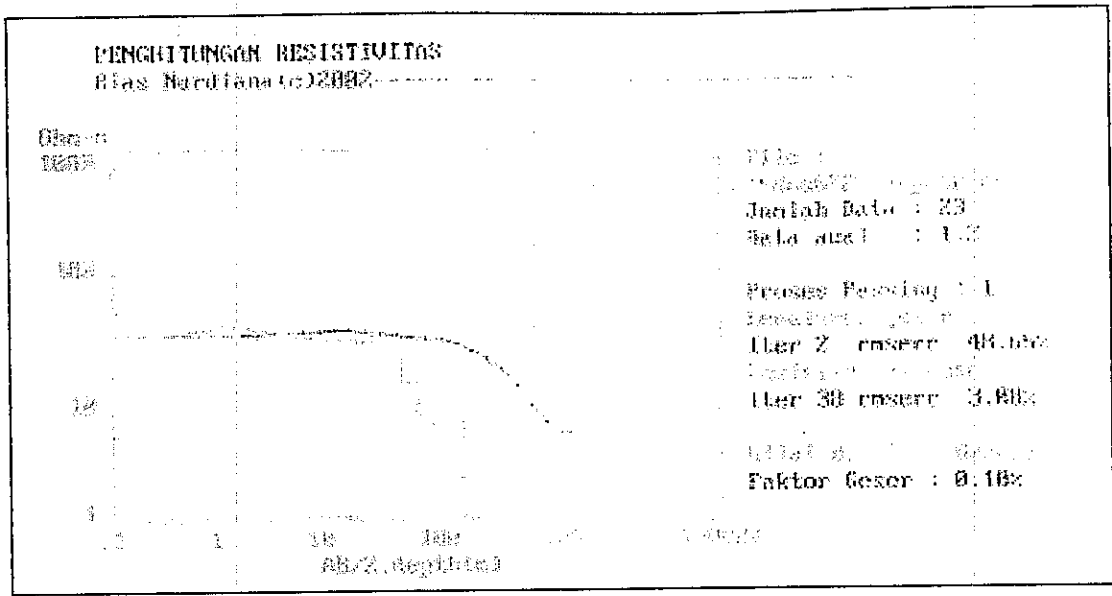
KEDALAMAN

RESISTIVITAS

- 1.1000E+00
- 1.4669E+00
- 1.9561E+00
- 2.6085E+00
- 3.4785E+00
- 4.6387E+00
- 6.1858E+00
- 8.2488E+00
- 1.1000E+01
- 1.4669E+01
- 1.9561E+01
- 2.6085E+01
- 3.4785E+01
- 4.6387E+01
- 6.1858E+01
- 8.2488E+01
- 1.1000E+02
- 1.4669E+02
- 1.9561E+02
- 2.6085E+02
- 3.4785E+02
- 4.6387E+02
- 6.1858E+02
- 8.2488E+02
- 1.1000E+03

- 5.4347E+01
- 5.4729E+01
- 5.5405E+01
- 5.6421E+01
- 5.7656E+01
- 5.8809E+01
- 5.9542E+01
- 5.9632E+01
- 5.8953E+01
- 5.7370E+01
- 5.4661E+01
- 5.0644E+01
- 4.5395E+01
- 3.9287E+01
- 3.2818E+01
- 2.6396E+01
- 2.0324E+01
- 1.4925E+01
- 1.0578E+01
- 7.5509E+00
- 5.7830E+00
- 4.8924E+00
- 4.4383E+00
- 4.1610E+00
- 3.9980E+00



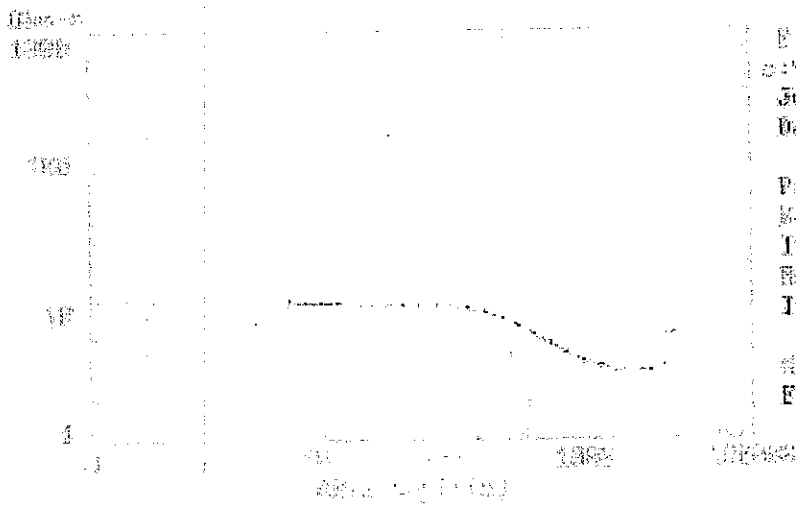


Gambar E10. Hasil Pemrograman Pada Titik 10

KEDALAMAN	RESISTIVITAS
1.2000E+00	3.2232E+01
1.6002E+00	3.2481E+01
2.1339E+00	3.2905E+01
2.8456E+00	3.3504E+01
3.7947E+00	3.4175E+01
5.0604E+00	3.4733E+01
6.7481E+00	3.4998E+01
8.9987E+00	3.4875E+01
1.2000E+01	3.4370E+01
1.6002E+01	3.3568E+01
2.1339E+01	3.2590E+01
2.8456E+01	3.1520E+01
3.7947E+01	3.0347E+01
5.0604E+01	2.8937E+01
6.7481E+01	2.7046E+01
8.9987E+01	2.4387E+01
1.2000E+02	2.0806E+01
1.6002E+02	1.6510E+01
2.1339E+02	1.2177E+01
2.8456E+02	8.6443E+00
3.7947E+02	6.3537E+00
5.0604E+02	5.1357E+00
6.7481E+02	4.5395E+00
8.9987E+02	4.2329E+00
1.2000E+03	4.0884E+00



PENGHITUNGAN RESISTIVITAS
 Rias Hardianto, 020832



File :
 c:\data02\hardianto.r
 Jumlah Data : 24
 Data awal : 3.3
 Proses Passing : 1
 Mode : auto
 Iter 3 resist 17.828
 Resist left geser
 Iter 30 resist 1.818
 File Aktif :
 Faktor Geser : 8.178

Gambar E11. Hasil Pemrograman Pada Titik 11

KEDALAMAN

3.3000E+00
 4.4006E+00
 5.8683E+00
 7.8255E+00
 1.0436E+01
 1.3916E+01
 1.8557E+01
 2.4747E+01
 3.3000E+01
 4.4006E+01
 5.8683E+01
 7.8255E+01
 1.0436E+02
 1.3916E+02
 1.8557E+02
 2.4747E+02
 3.3000E+02
 4.4006E+02
 5.8683E+02
 7.8255E+02
 1.0436E+03
 1.3916E+03
 1.8557E+03
 2.4747E+03
 3.3000E+03

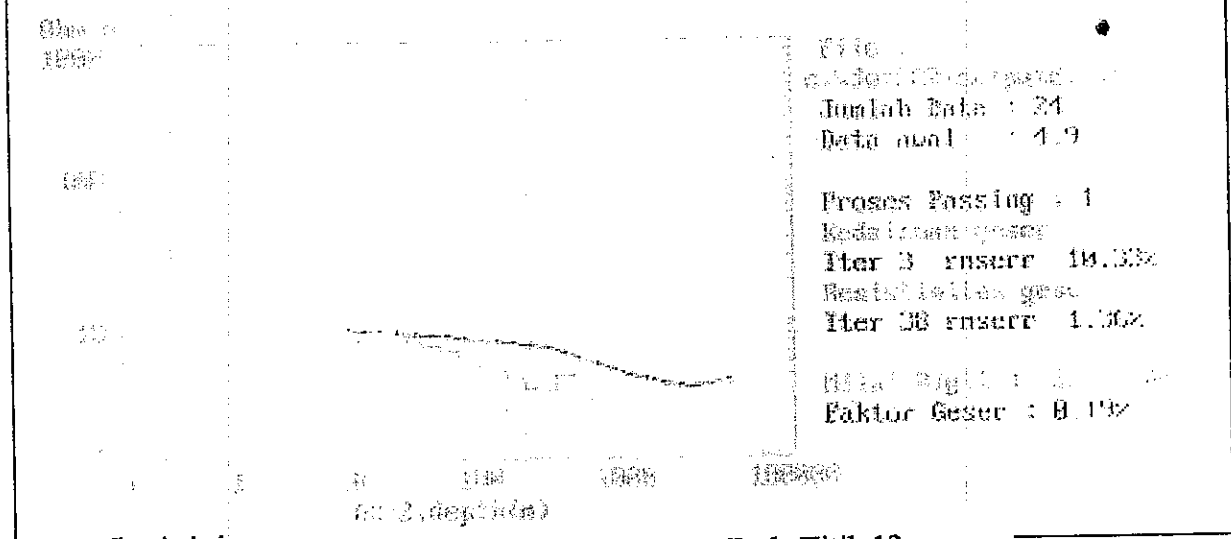
RESISTIVITAS

1.0820E+01
 1.0673E+01
 1.0531E+01
 1.0409E+01
 1.0314E+01
 1.0242E+01
 1.0185E+01
 1.0131E+01
 1.0066E+01
 9.9663E+00
 9.7926E+00
 9.4919E+00
 8.9966E+00
 8.2523E+00
 7.2794E+00
 6.2073E+00
 5.2166E+00
 4.4322E+00
 3.8772E+00
 3.5129E+00
 3.2973E+00
 3.2044E+00
 3.2062E+00
 3.2614E+00
 3.3297E+00



PENGHITUNGAN RESISTIVITAS

Bias Nurdiana (12082)



Gambar E12. Hasil Pemrograman Pada Titik 12

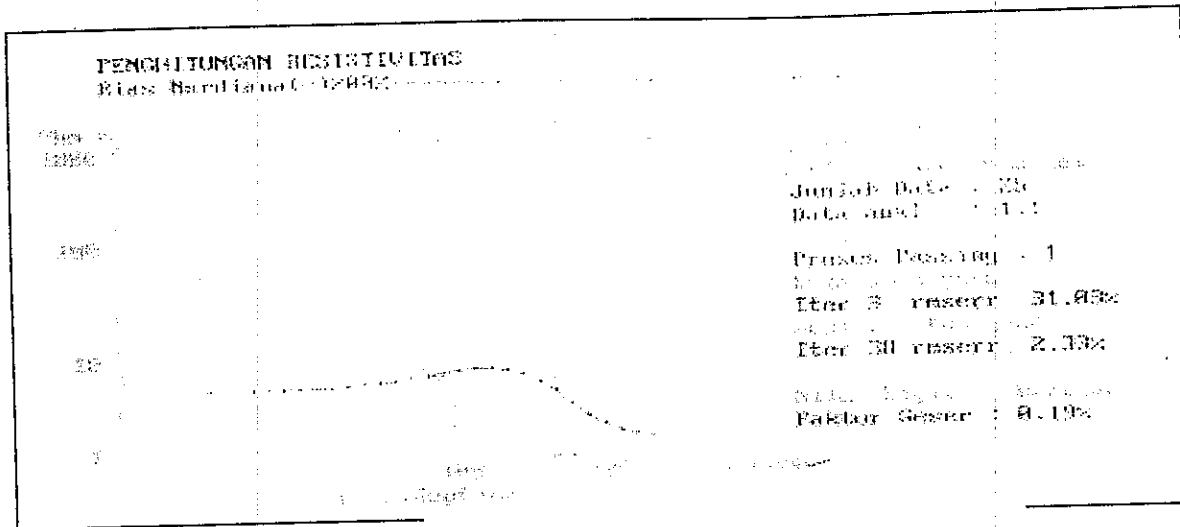
KEDALAMAN

- 4.9000E+00
- 6.5343E+00
- 8.7136E+00
- 1.1620E+01
- 1.5495E+01
- 2.0663E+01
- 2.7555E+01
- 3.6745E+01
- 4.9000E+01
- 6.5343E+01
- 8.7136E+01
- 1.1620E+02
- 1.5495E+02
- 2.0663E+02
- 2.7555E+02
- 3.6745E+02
- 4.9000E+02
- 6.5343E+02
- 8.7136E+02
- 1.1620E+03
- 1.5495E+03
- 2.0663E+03
- 2.7555E+03
- 3.6745E+03
- 4.9000E+03

RESISTIVITAS

- 8.9137E+00
- 8.7608E+00
- 8.6000E+00
- 8.4254E+00
- 8.2324E+00
- 8.0236E+00
- 7.8105E+00
- 7.6101E+00
- 7.4308E+00
- 7.2600E+00
- 7.0631E+00
- 6.7978E+00
- 6.4378E+00
- 5.9863E+00
- 5.4772E+00
- 4.9634E+00
- 4.4922E+00
- 4.0870E+00
- 3.7553E+00
- 3.5087E+00
- 3.3681E+00
- 3.3402E+00
- 3.3958E+00
- 3.4850E+00
- 3.5696E+00





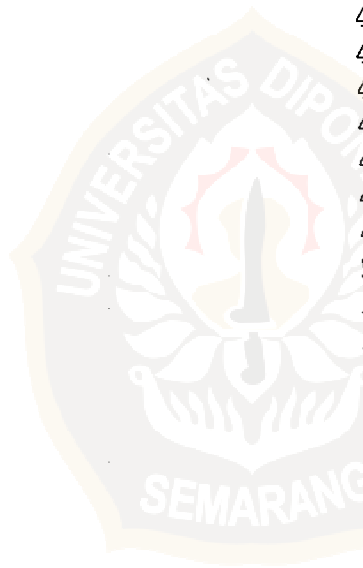
Gambar E13. Hasil Pemrograman Pada Titik 13

KEDALAMAN

- 1.1000E+00
- 1.4669E+00
- 1.9561E+00
- 2.6085E+00
- 3.4785E+00
- 4.6387E+00
- 6.1858E+00
- 8.2488E+00
- 1.1000E+01
- 1.4669E+01
- 1.9561E+01
- 2.6085E+01
- 3.4785E+01
- 4.6387E+01
- 6.1858E+01
- 8.2488E+01
- 1.1000E+02
- 1.4669E+02
- 1.9561E+02
- 2.6085E+02
- 3.4785E+02
- 4.6387E+02
- 6.1858E+02
- 8.2488E+02
- 1.1000E+03
- 1.4669E+03
- 1.9561E+03

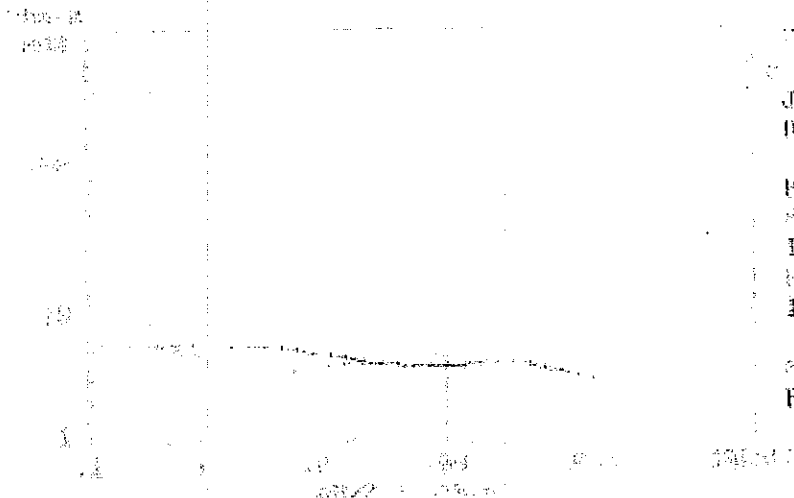
RESISTIVITAS

- 4.6270E+00
- 4.6388E+00
- 4.6611E+00
- 4.6979E+00
- 4.7517E+00
- 4.8238E+00
- 4.9175E+00
- 5.0412E+00
- 5.2060E+00
- 5.4225E+00
- 5.6947E+00
- 6.0156E+00
- 6.3627E+00
- 6.6932E+00
- 6.9378E+00
- 6.9999E+00
- 6.7728E+00
- 6.1851E+00
- 5.2642E+00
- 4.1752E+00
- 3.1680E+00
- 2.4311E+00
- 1.9872E+00
- 1.7382E+00
- 1.5839E+00
- 1.4837E+00
- 1.4371E+00



PENGHILANGAN RESISTIVITAS

Bias Nord (mm) : 0,2442



Jumlah Data : 21
Data awal : 1,2

Proses Passing : 1
Iter 1 rusak : 7,14
Iter 2 rusak : 1,512

Faktor Geser : 0,29%

Gambar E14. Hasil Pemrograman Pada Titik 14

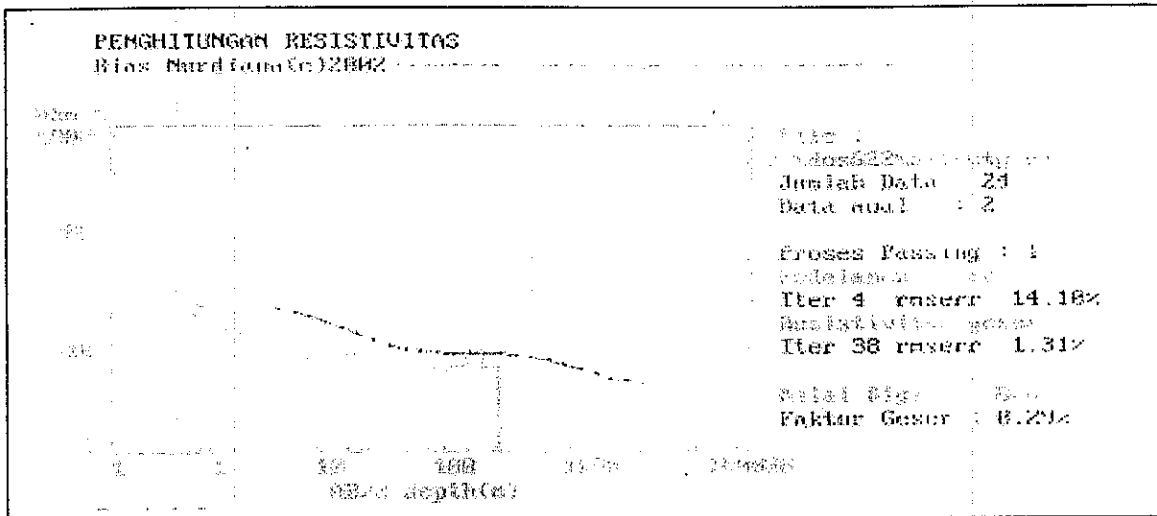
KEDALAMAN

- 1.2000E+00
- 1.6002E+00
- 2.1339E+00
- 2.8456E+00
- 3.7947E+00
- 5.0604E+00
- 6.7481E+00
- 8.9987E+00
- 1.2000E+01
- 1.6002E+01
- 2.1339E+01
- 2.8456E+01
- 3.7947E+01
- 5.0604E+01
- 6.7481E+01
- 8.9987E+01
- 1.2000E+02
- 1.6002E+02
- 2.1339E+02
- 2.8456E+02
- 3.7947E+02
- 5.0604E+02
- 6.7481E+02
- 8.9987E+02
- 1.2000E+03

RESISTIVITAS

- 5.2867E+00
- 5.2374E+00
- 5.1508E+00
- 5.0195E+00
- 4.8494E+00
- 4.6564E+00
- 4.4563E+00
- 4.2613E+00
- 4.0807E+00
- 3.9230E+00
- 3.7961E+00
- 3.7087E+00
- 3.6703E+00
- 3.6858E+00
- 3.7446E+00
- 3.8181E+00
- 3.8699E+00
- 3.8676E+00
- 3.7886E+00
- 3.6251E+00
- 3.3899E+00
- 3.1127E+00
- 2.8314E+00
- 2.5872E+00
- 2.4201E+00





Gambar E15 Hasil Pemrograman Pada Titik 15

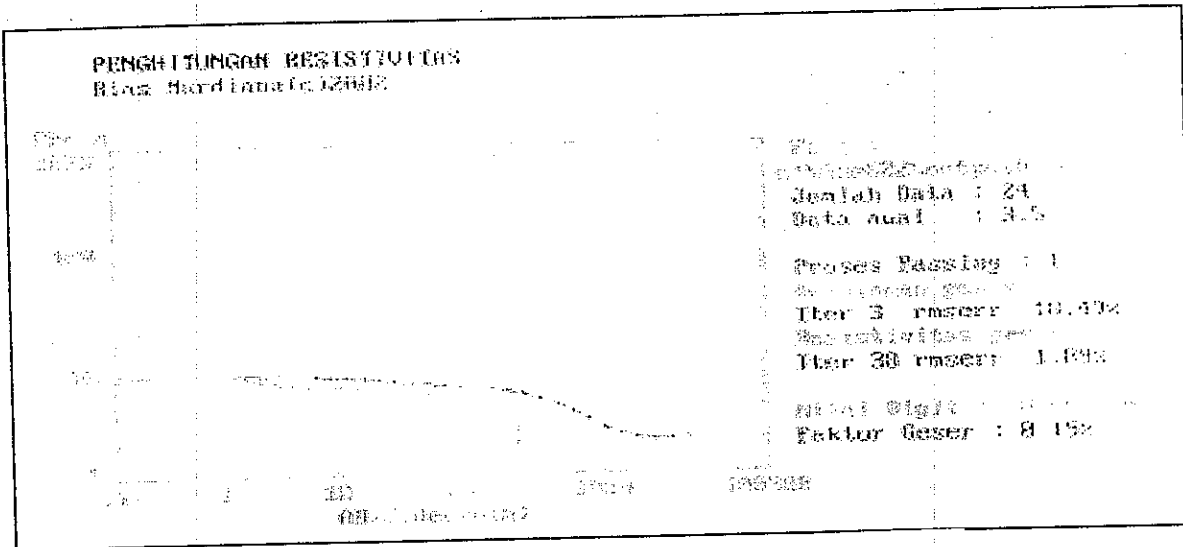
KEDALAMAN

2.0000E+00
 2.6670E+00
 3.5566E+00
 4.7427E+00
 6.3246E+00
 8.4339E+00
 1.1247E+01
 1.4998E+01
 2.0000E+01
 2.6670E+01
 3.5566E+01
 4.7427E+01
 6.3246E+01
 8.4339E+01
 1.1247E+02
 1.4998E+02
 2.0000E+02
 2.6670E+02
 3.5566E+02
 4.7427E+02
 6.3246E+02
 8.4339E+02
 1.1247E+03
 1.4998E+03
 2.0000E+03

RESISTIVITAS

2.1023E+01
 1.9769E+01
 1.8094E+01
 1.6159E+01
 1.4171E+01
 1.2326E+01
 1.0783E+01
 9.6224E+00
 8.8321E+00
 8.3508E+00
 8.1056E+00
 8.0187E+00
 8.0045E+00
 7.9810E+00
 7.8841E+00
 7.6736E+00
 7.3357E+00
 6.8842E+00
 6.3505E+00
 5.7737E+00
 5.2071E+00
 4.7258E+00
 4.4081E+00
 4.2904E+00
 4.3364E+00





Gambar E16. Hasil Pemrograman Pada Titik 16

KEDALAMAN

- 3.5000E+00
- 4.6673E+00
- 6.2240E+00
- 8.2998E+00
- 1.1068E+01
- 1.4759E+01
- 1.9682E+01
- 2.6246E+01
- 3.5000E+01
- 4.6673E+01
- 6.2240E+01
- 8.2998E+01
- 1.1068E+02
- 1.4759E+02
- 1.9682E+02
- 2.6246E+02
- 3.5000E+02
- 4.6673E+02
- 6.2240E+02
- 8.2998E+02
- 1.1068E+03
- 1.4759E+03
- 1.9682E+03
- 2.6246E+03
- 3.5000E+03

RESISTIVITAS

- 8.1497E+00
- 8.0351E+00
- 7.8586E+00
- 7.6236E+00
- 7.3553E+00
- 7.0897E+00
- 6.8563E+00
- 6.6610E+00
- 6.4858E+00
- 6.3087E+00
- 6.1205E+00
- 5.9158E+00
- 5.6720E+00
- 5.3459E+00
- 4.9003E+00
- 4.3380E+00
- 3.7156E+00
- 3.1206E+00
- 2.6349E+00
- 2.3013E+00
- 2.1119E+00
- 2.0261E+00
- 1.9987E+00
- 1.9972E+00
- 2.0038E+00



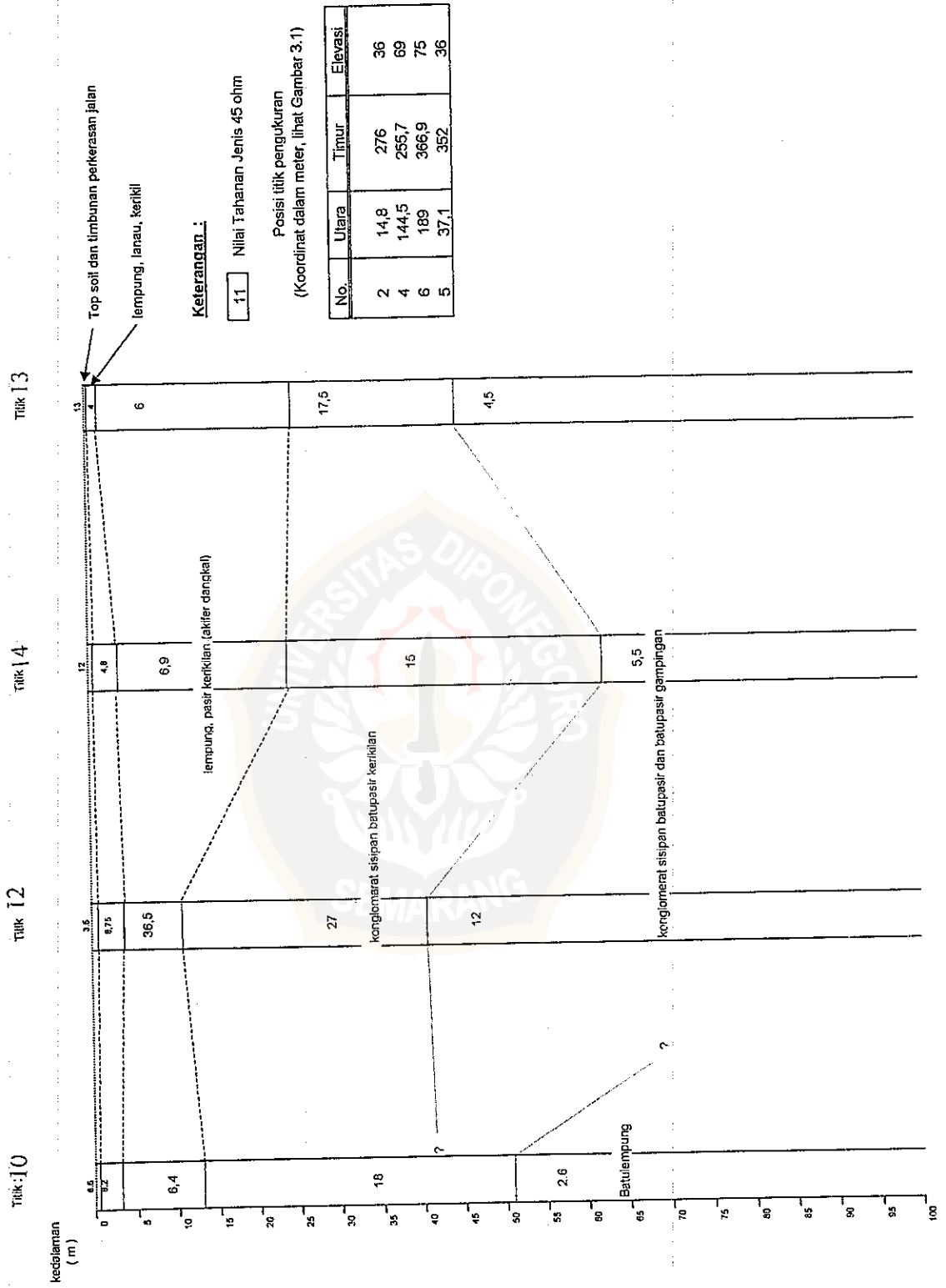
LAMPIRAN G

KORELASI LAPISAN BATUAN HASIL INTERPRETASI GEOLISTRIK



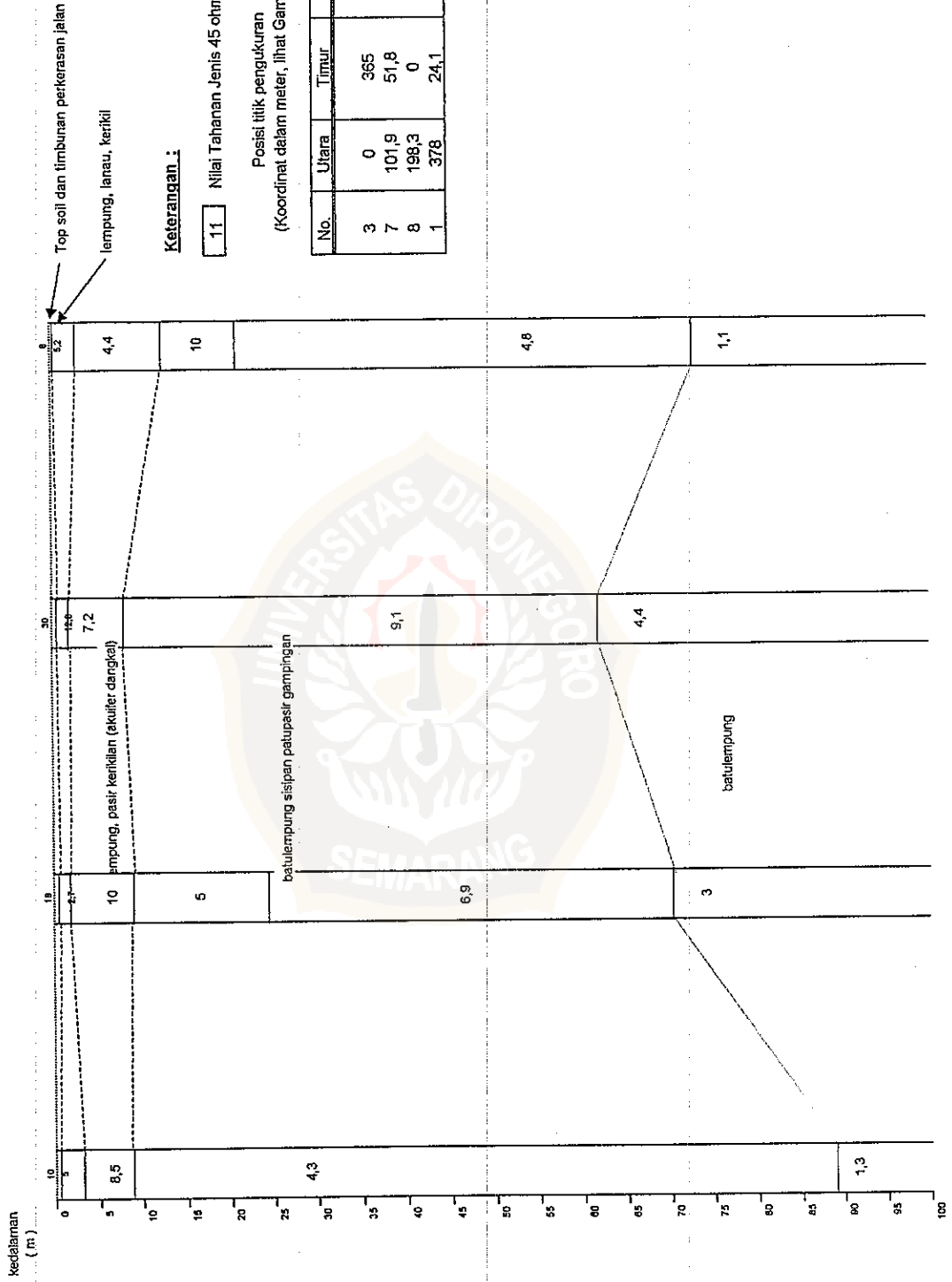
Gambar G1

KORELASI LAPISAN BATUAN HASIL INTERPRETASI
DATA GEOLISTRIK TAHANAN JENIS TITIK 2,4,6,5

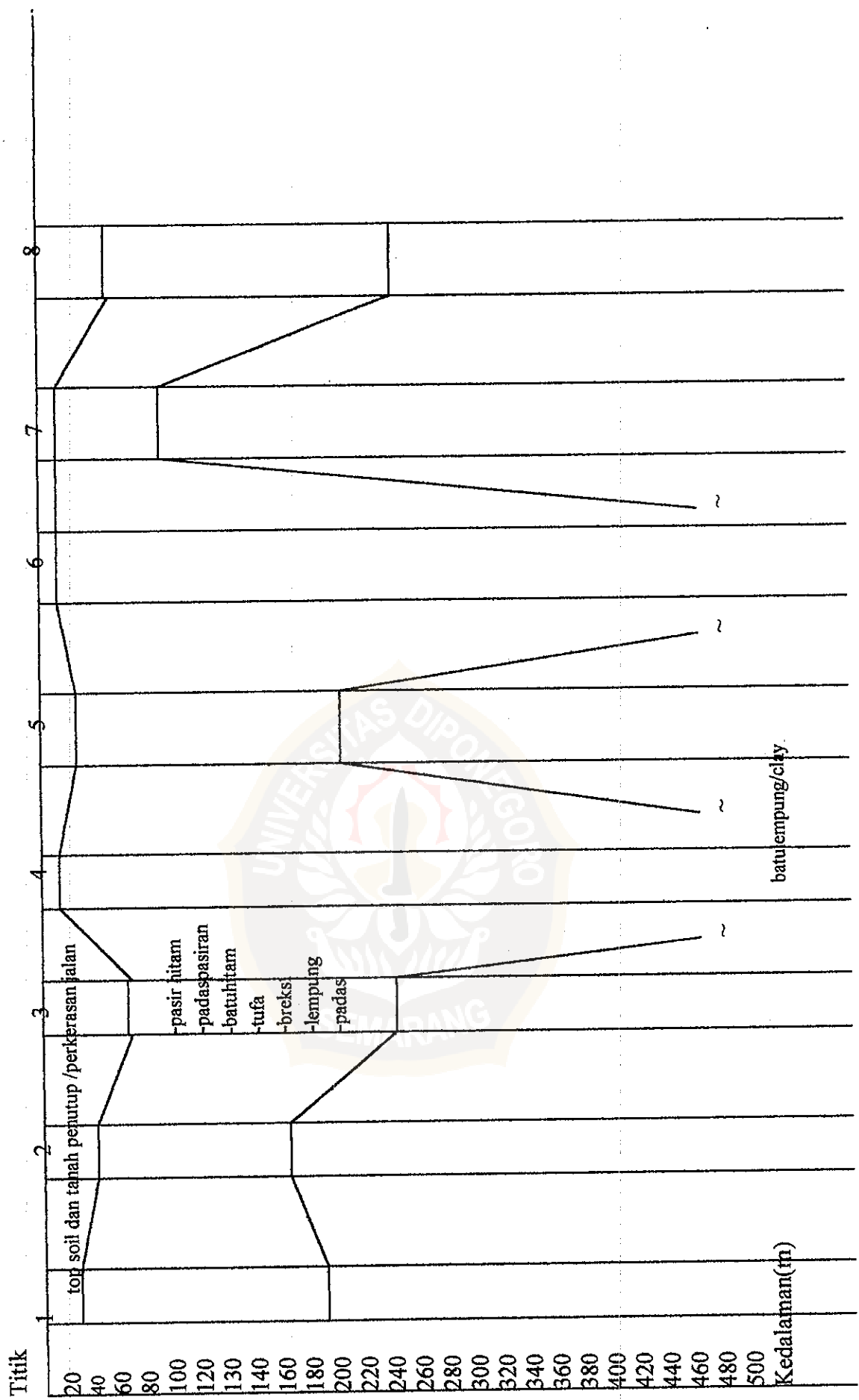


KORELASI LAPISAN BATUAN HASIL INTERPRETASI
DATA GEOLISTRIK TAHANAN JENIS TITIK 3,7,8,1

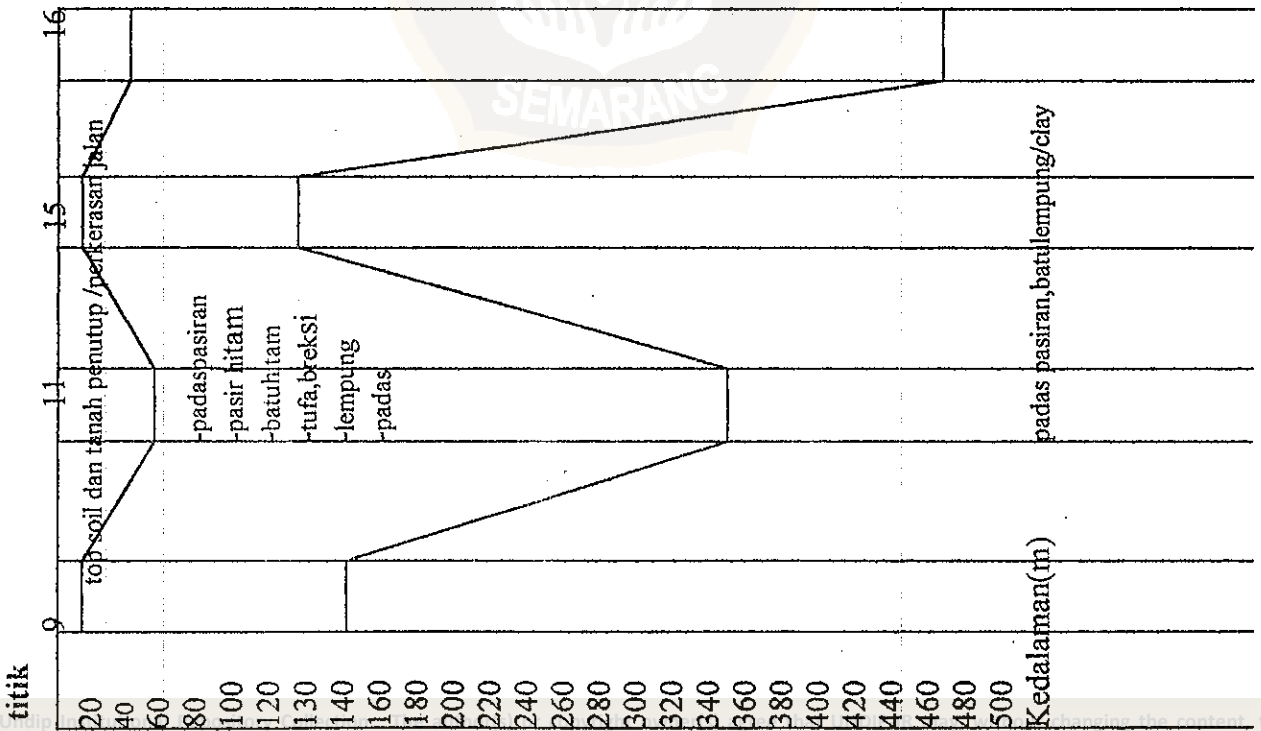
Titik 11 Titik 15 Titik 16 Titik 9



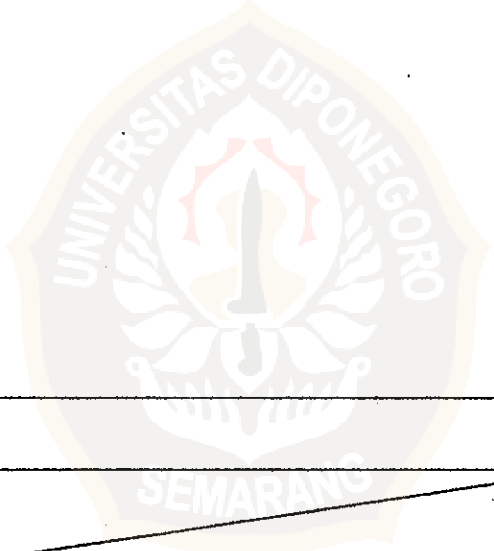
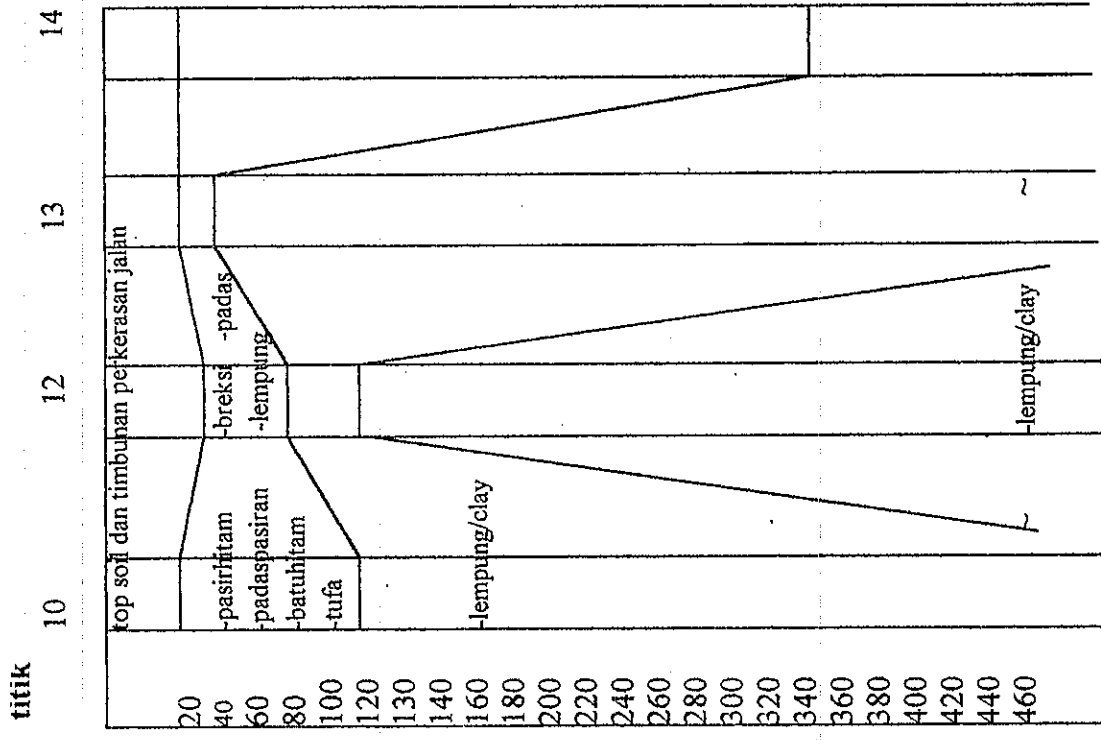
Gambar G4. KORELASI HASIL PEMROGRAMAN PADA FORMASI KALIBENG



Gambar G5. KORELASI HASIL PEMROGRAMAN PADA PERALIHAN



Gambar G6. KORELASI HASIL PEMROGRAMAN PADA ANGGOTA DAMAR FORMASI KALIBENG

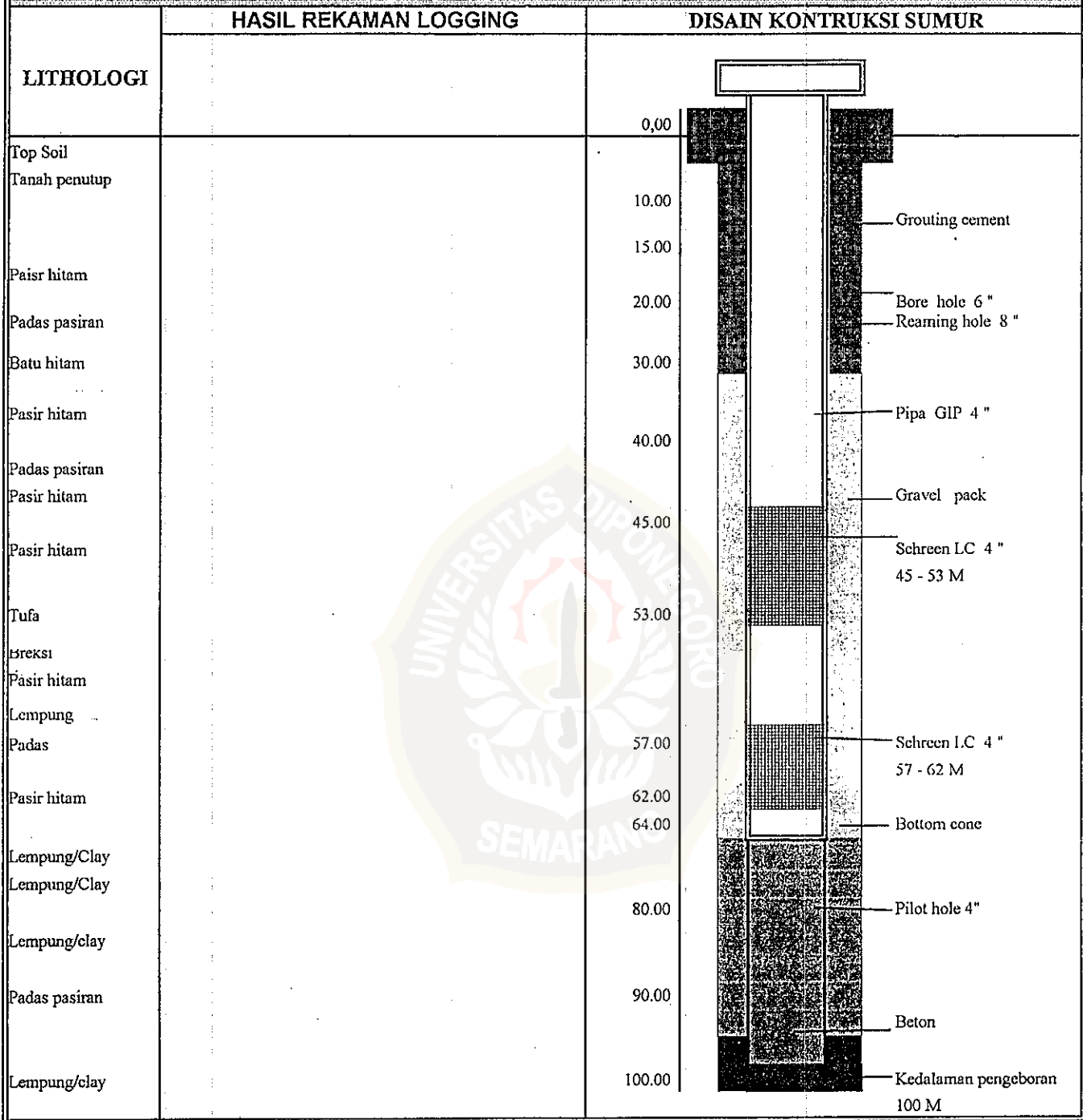


LAMPIRAN H
HASIL LOGGING



UNDIP

**SHOP DRAWING / GAMBAR PELAKSANAAN KONTRUKSI SUMUR DALAM
LOKASI PONDOK PESANTREN GIRIKUSUMO MRANGGEN DEMAK**



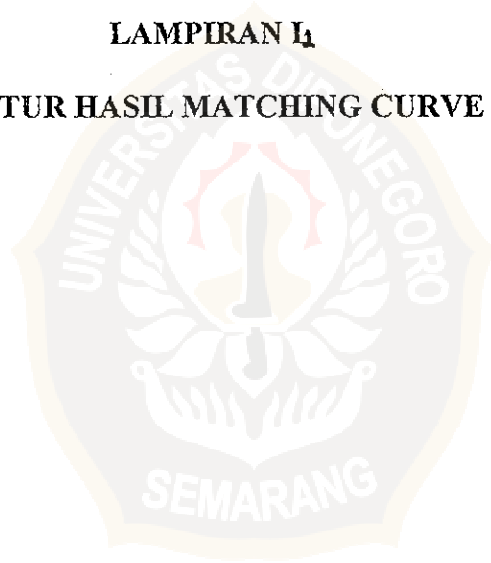
Semarang, 26 Januari 2002



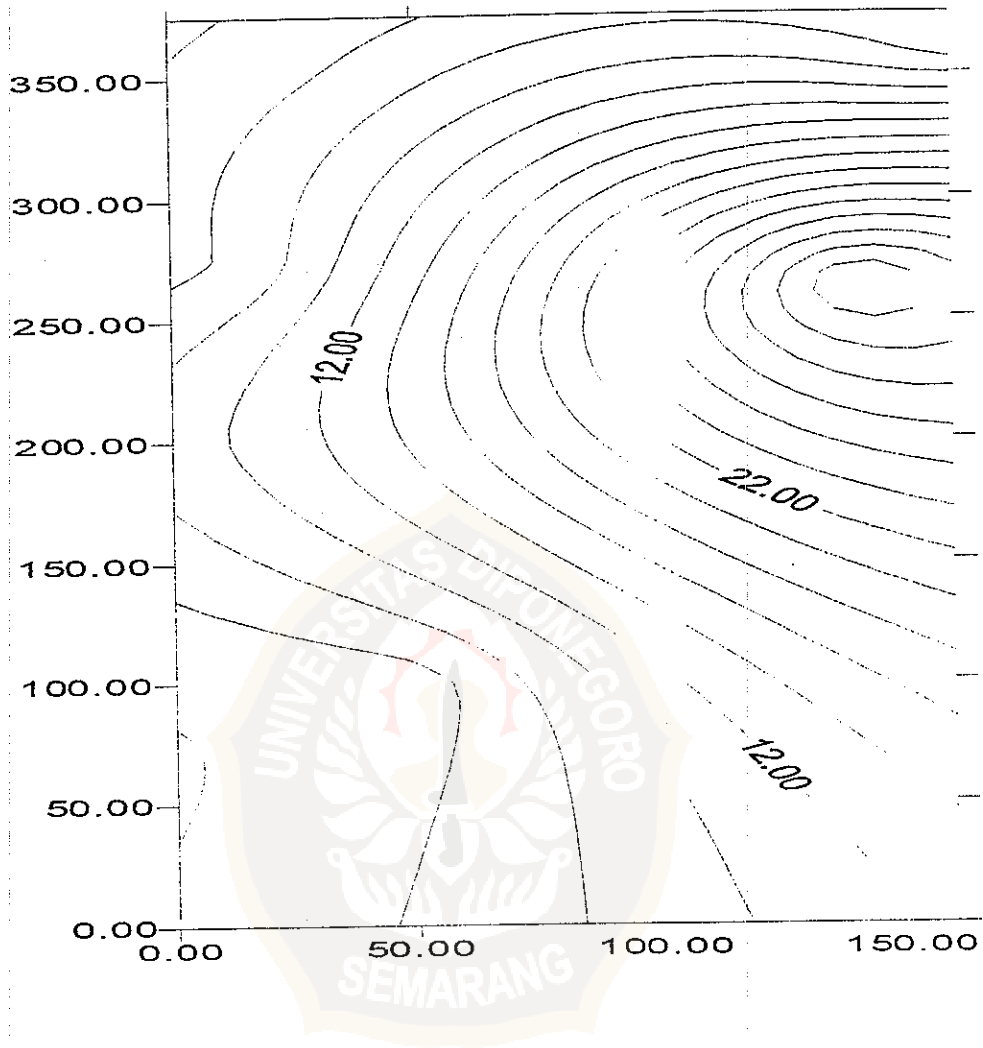
(NY. TIT SETIYATI)

Direktris,

LAMPIRAN 1
KONTUR HASIL MATCHING CURVE



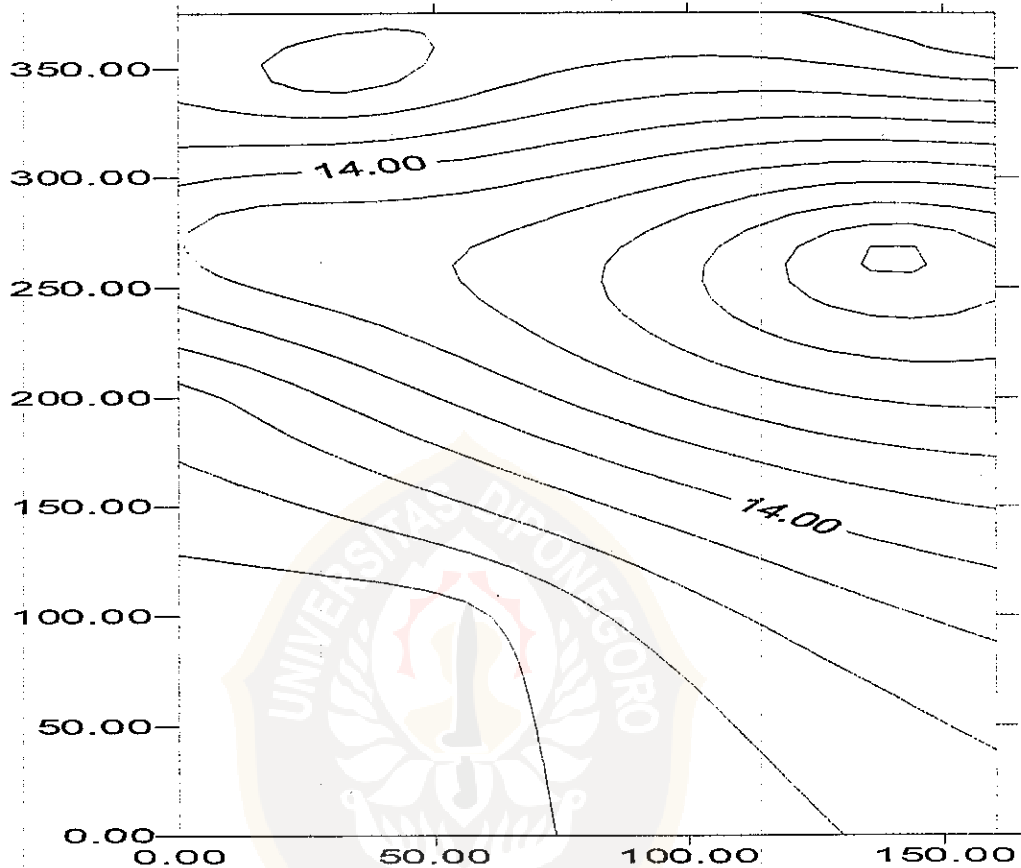
KEDALAMAN 10 M.



Gambar 6 Kontur hasil Matching Curve pada kedalaman 10 m

Dari kontur resistivitas pada kedalaman 10 m diketahui bahwa harga resistivitas berkisar antara (4,00-34,00) Ωm .

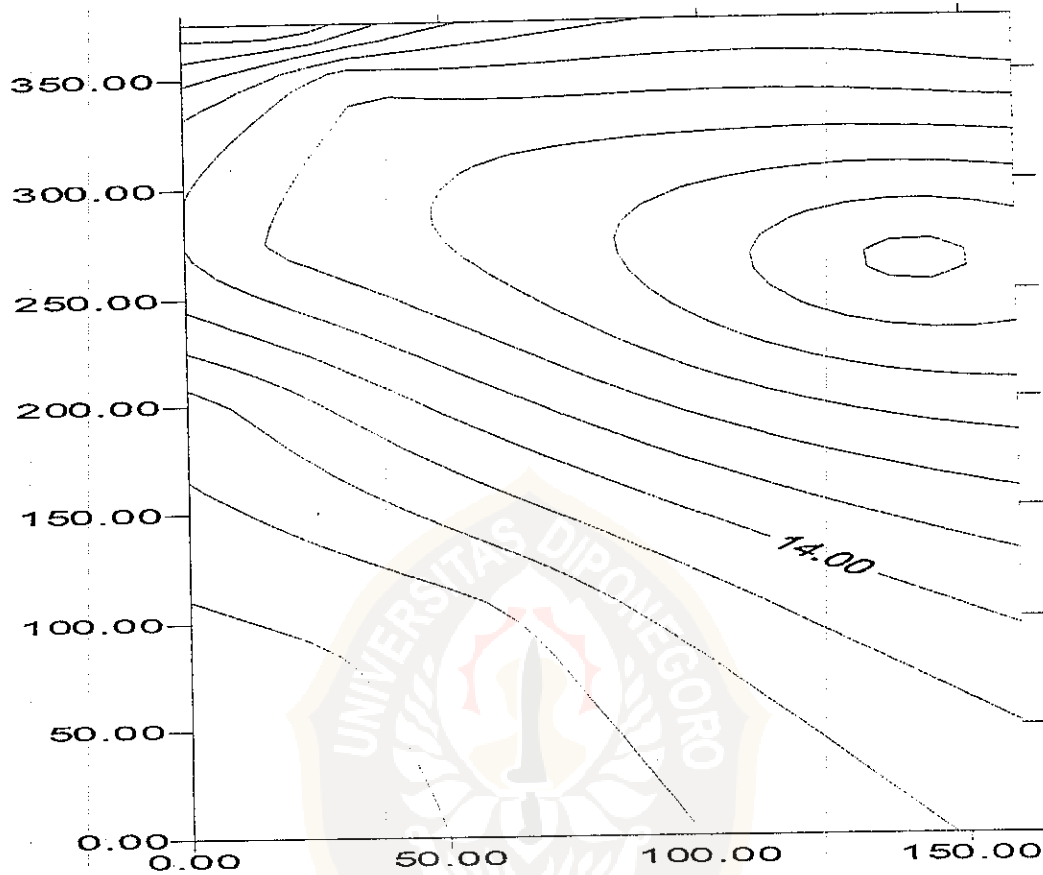
KEDALAMAN 20 M.



Gambar 7 Kontur hasil Matching Curve pada kedalaman 20 m

Kontur di atas menunjukkan bahwa harga resistivitas pada kedalaman 20 m bervariasi dari (6,00-26,00) Ωm

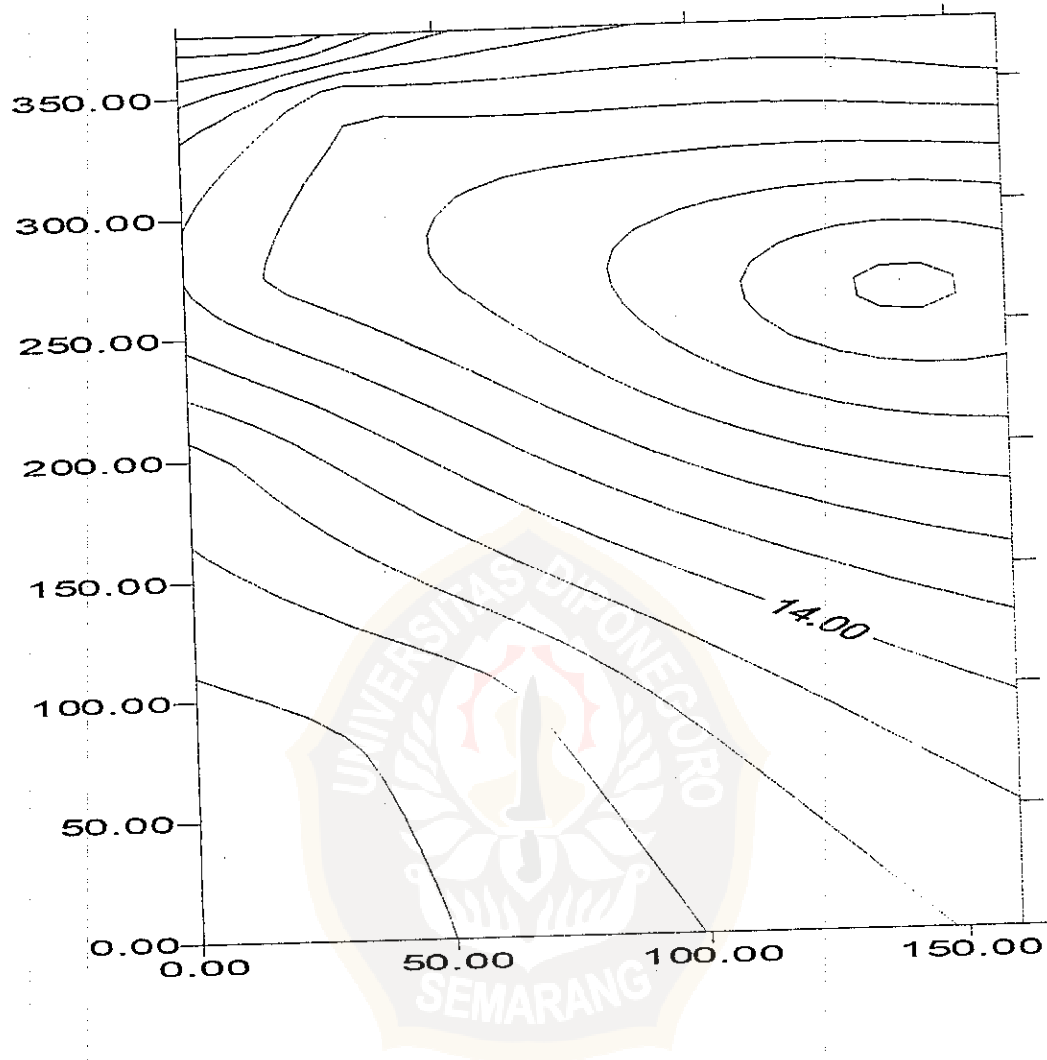
KEDALAMAN 30 M.



Gambar 8 Kontur hasil Matcging Curve pada kedalaman 30 m

Pada kedalaman ini harga resistivitas berkisar antara (6,00-26,00) Ω m, sama dengan resistivitas pada kedalaman 20 m.

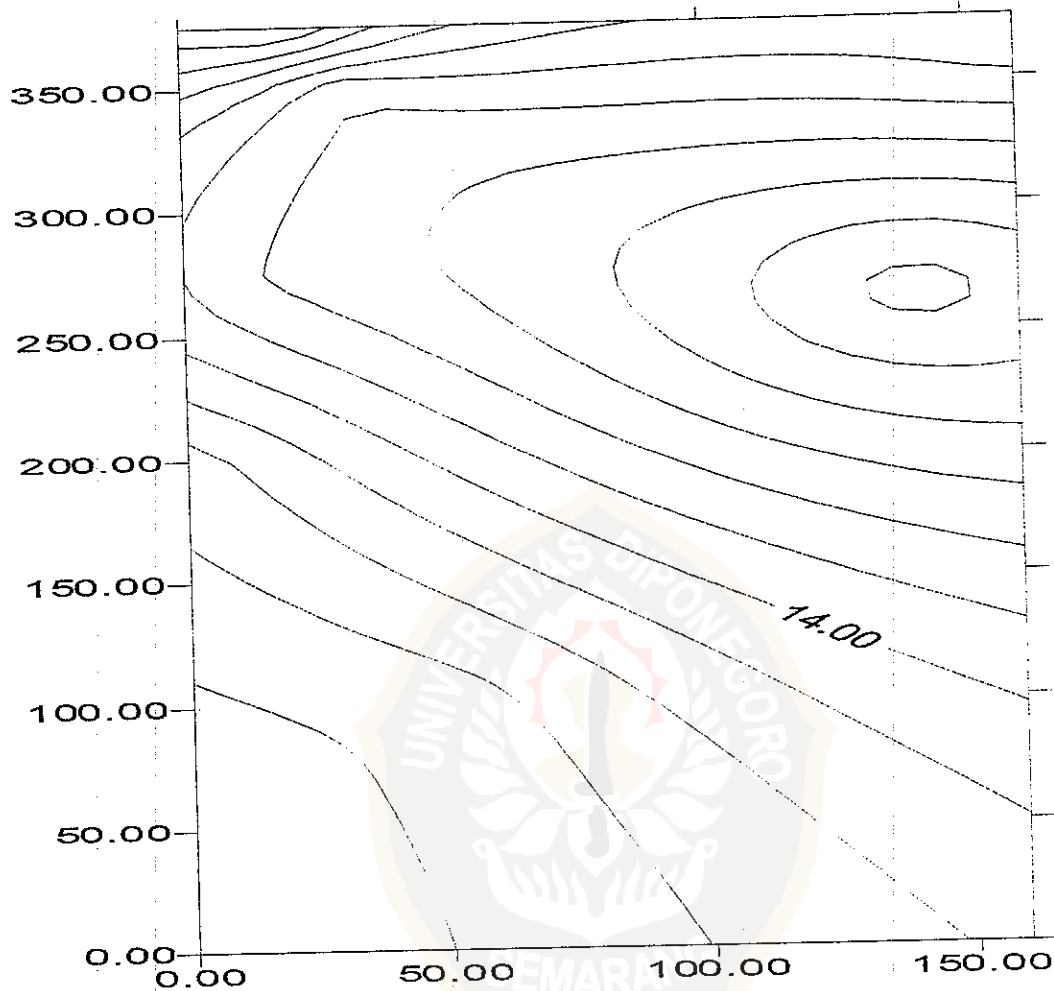
KEDALAMAN 40 M



Gambar kontur hasil Matching Curve pada kedalaman 40 m

Pada kedalaman 40 m ,resistivitas bervariasi antara (6,00-26,00) Ω m,sama juga dengan variasi resistivitas pada kedalaman 20 dan 30 m.

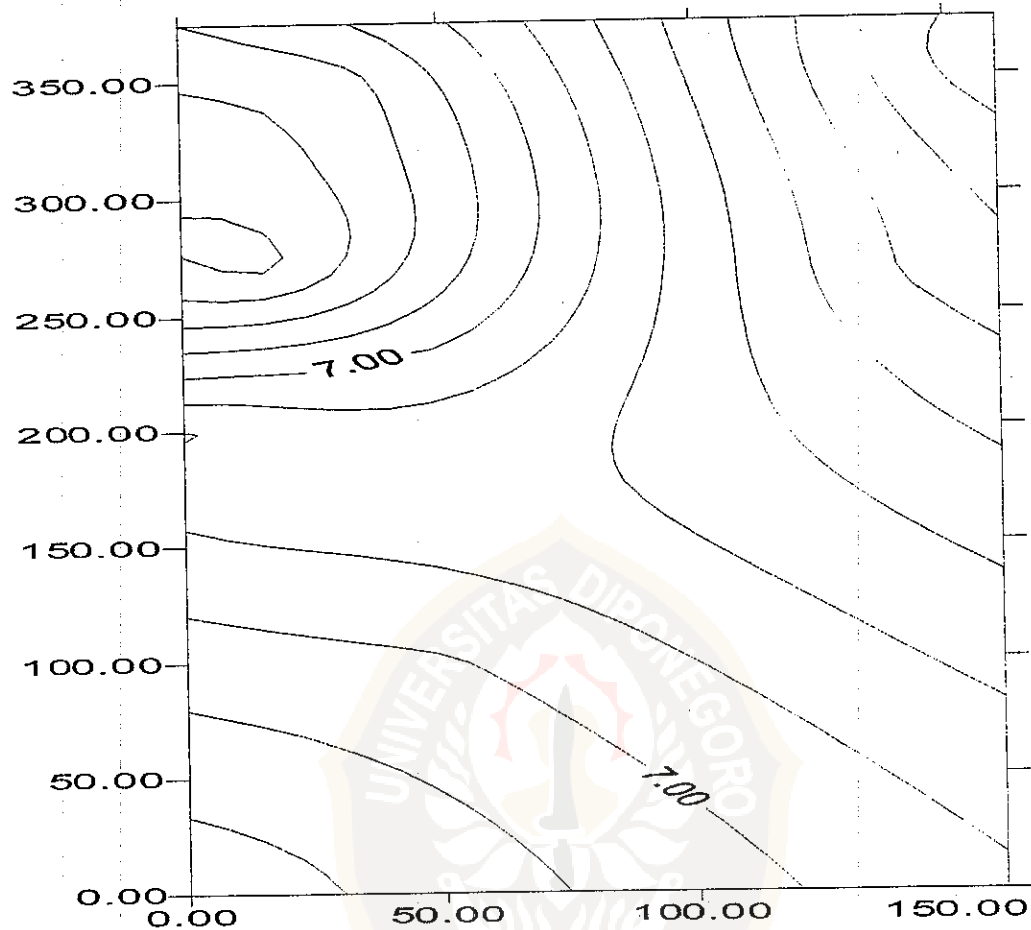
KEDALAMAN 50 M.



Gambar 8 Kontur hasil Matching Curve pada kedalaman 50 m

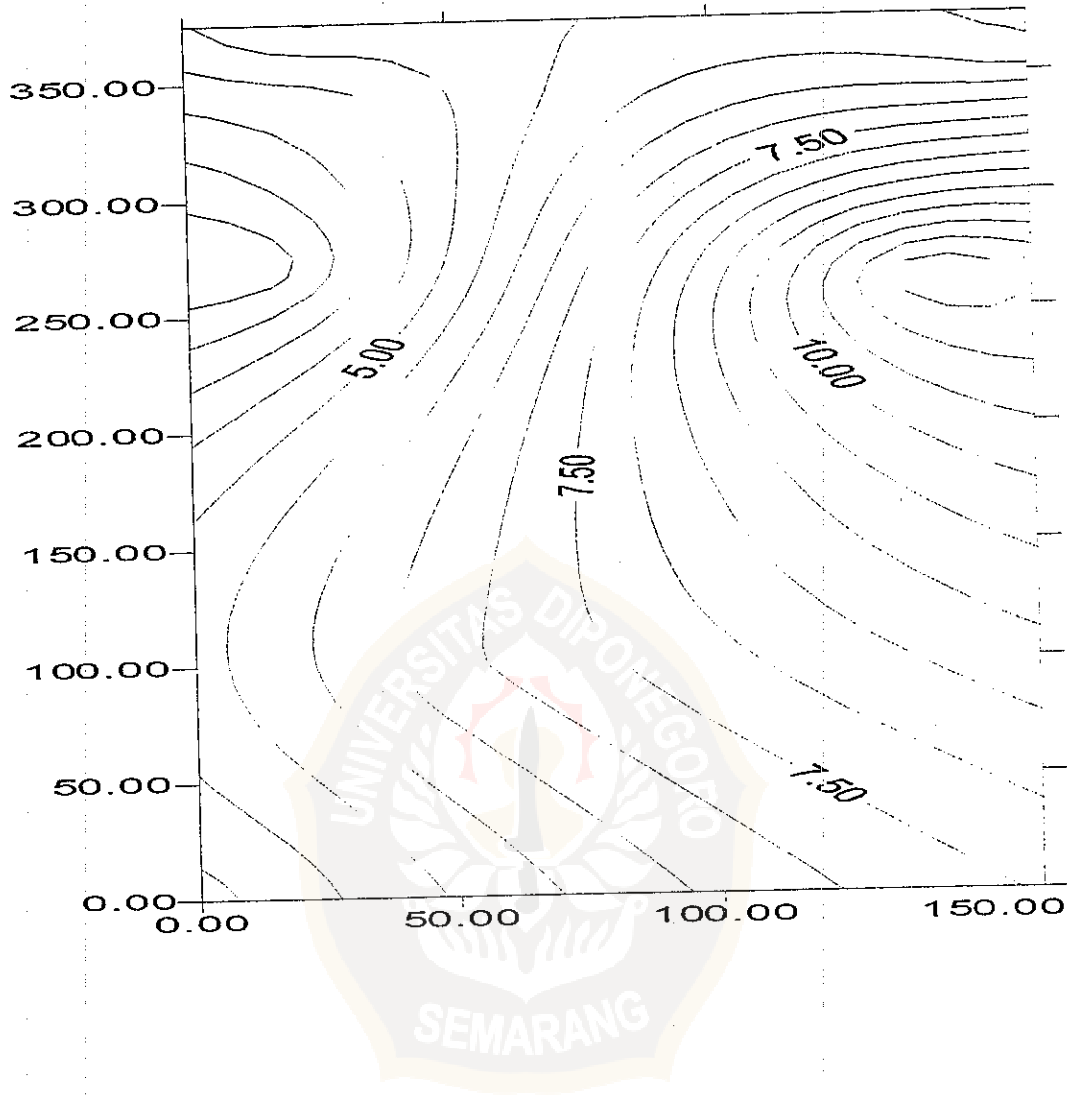
Harga resistivitas pada kedalaman ini berkisar antara (6,00-26,00) Ω m.

4.2.5. KEDALAMAN 60 M.



Gambar 9 Kontur hasil Matching Curve pada kedalaman 60 m
Harga resistivitas pada kedalaman 60 m berkisar antara (6.00-
11,00) Ω m.

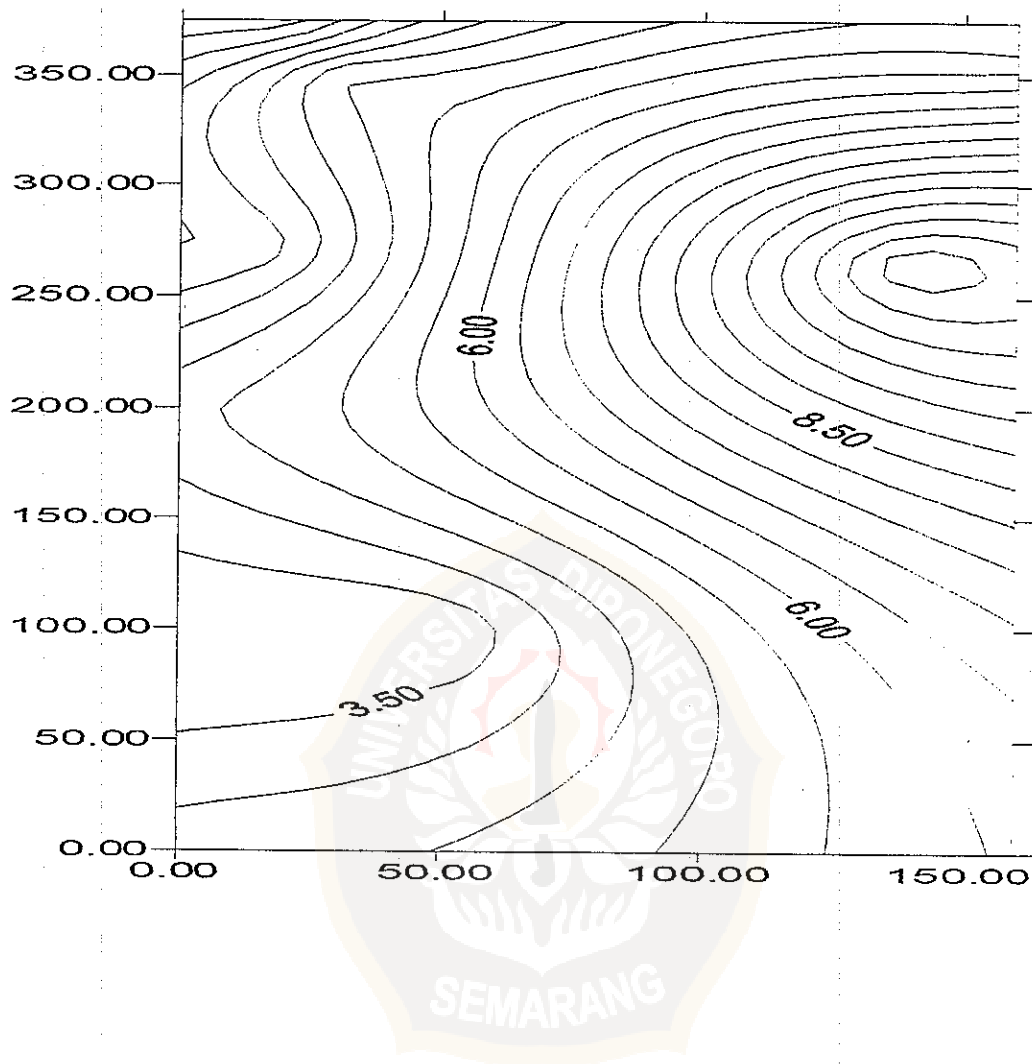
KEDALAMAN 70 M.



Gambar 10 Kontur hasil Matching Curve pada kedalaman 70 m

Harga resistivitas pada kedalaman ini sekitar (3,00-11,50) Ω m.

KEDALAMAN 80 m.



Gambar 11 Kontur hasil Matching Curve pada kedalaman 80 m

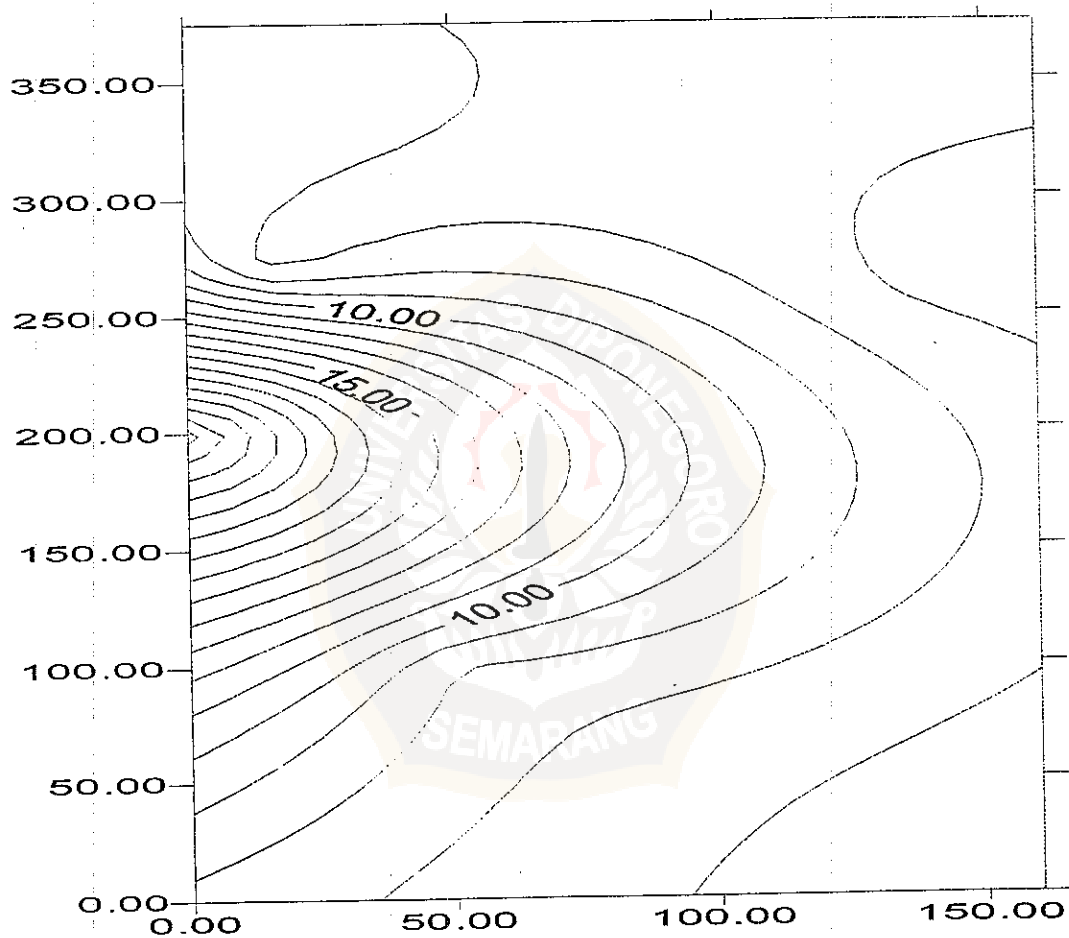
Pada kedalaman ini harga resistivitas bervariasi dari (2,00- 11,50) Ω m.

LAMPIRAN J1
KONTUR HASIL PEMROGRAMAN



**INTERPRETASI KONTUR HASIL PEMROGRAMAN ZOHDY
TIAP KEDALAMAN 10 m**

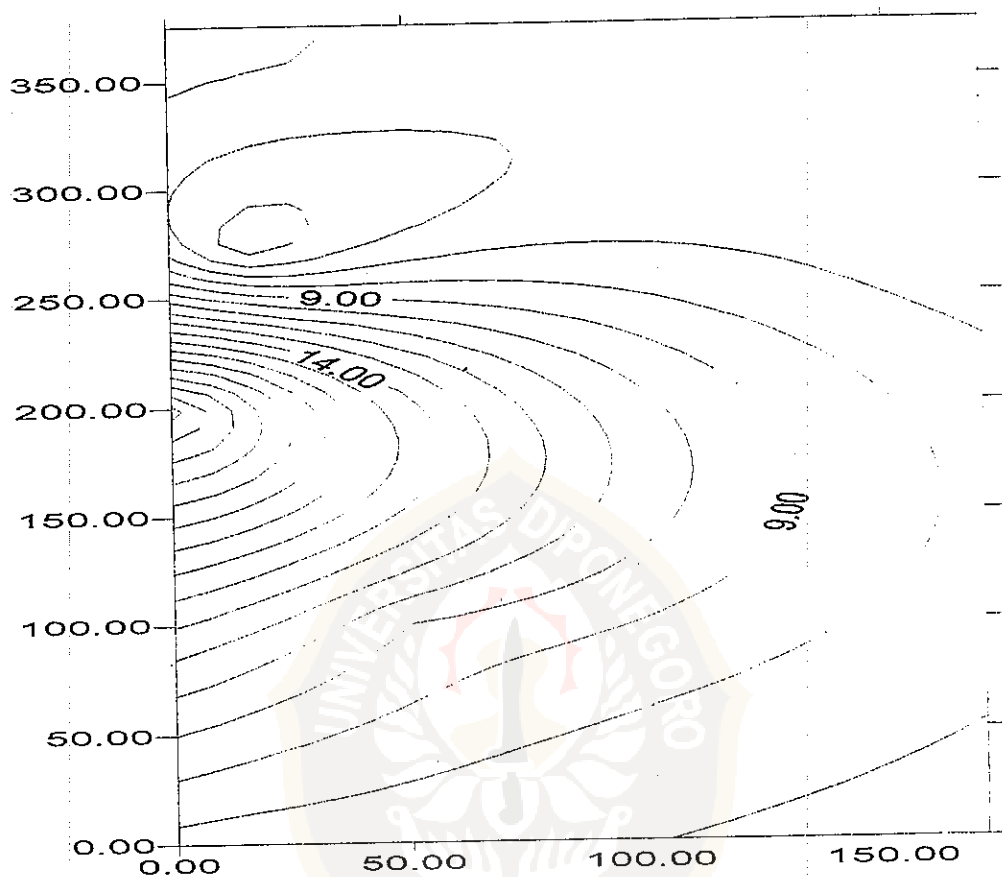
KEDALAMAN 10 m



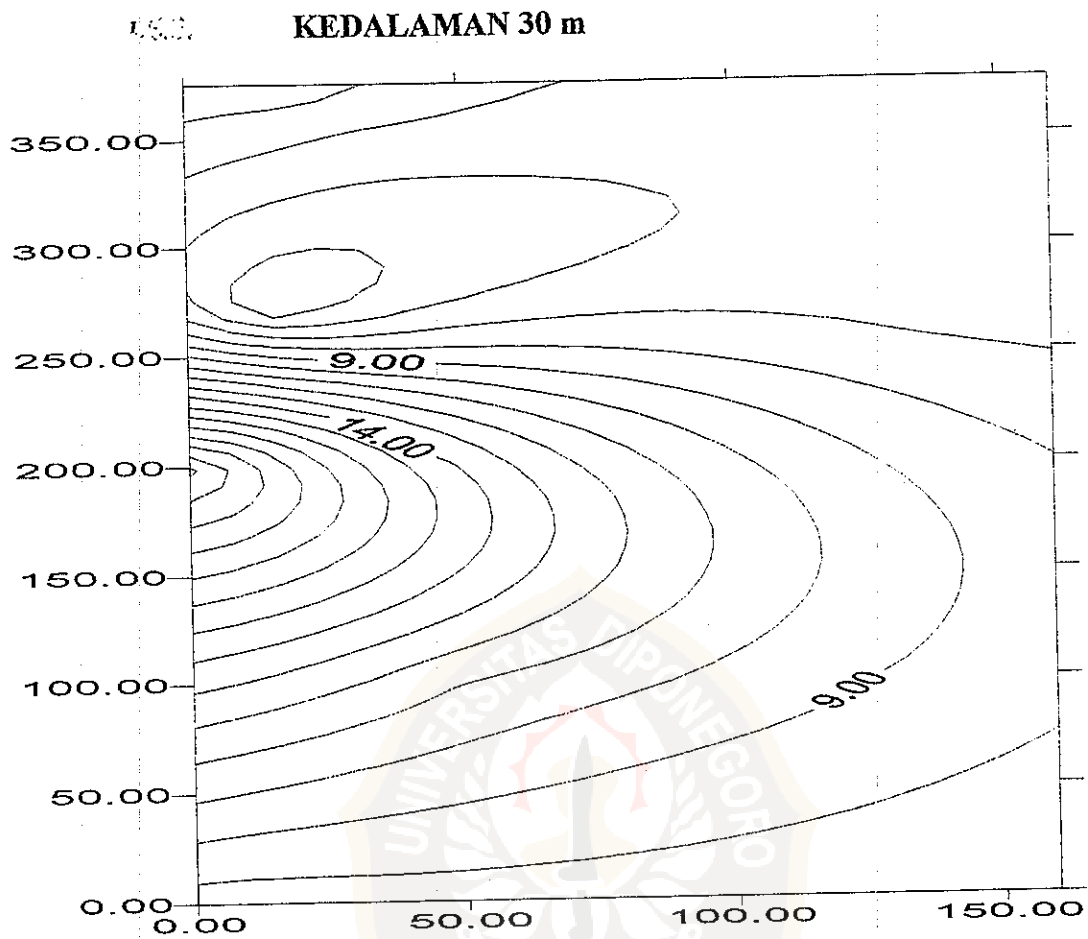
Gambar 12 Kontur hasil Pemrograman Zohdy pada kedalaman 10 m

Kontur di atas menunjukkan bahwa resistivitas pada kedalaman 10 m bervariasi antara $(6-23)\Omega\text{m}$.

KEDALAMAN 20 M

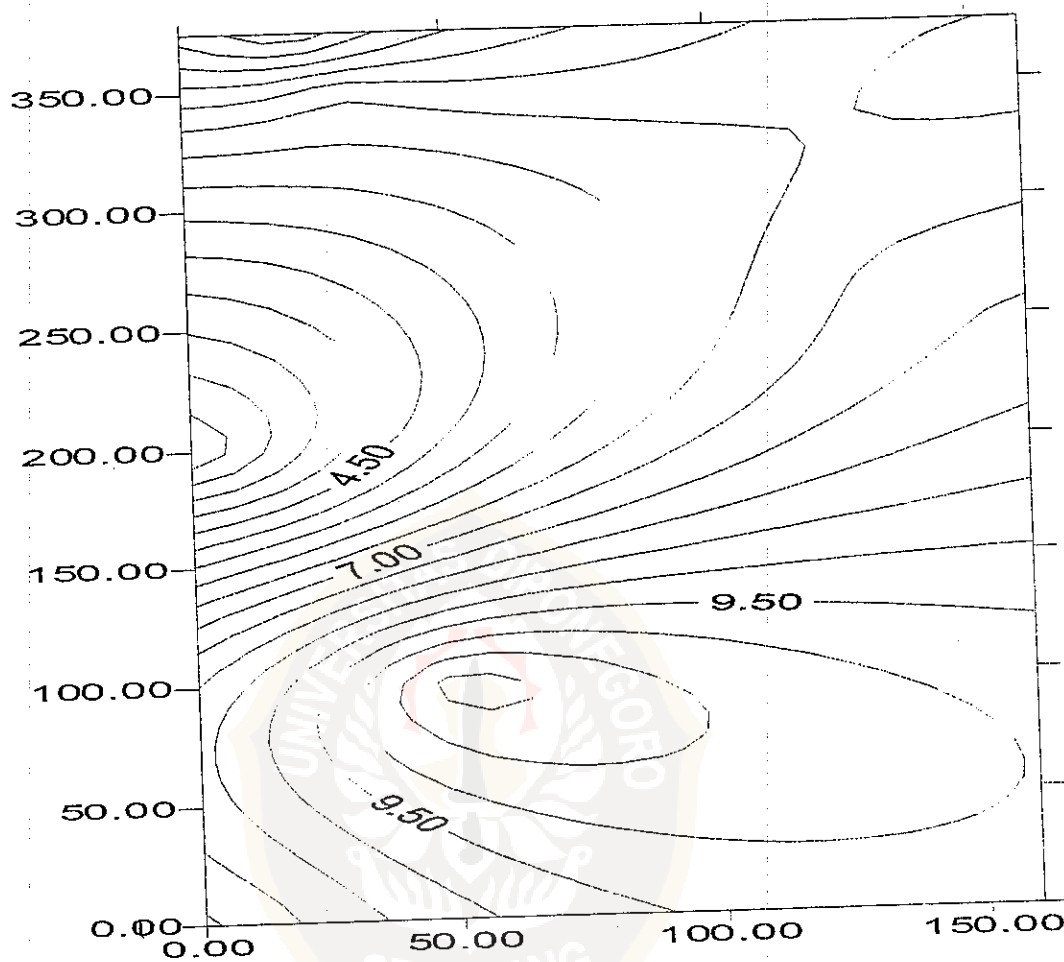


Gambar 13 Kontur hasil Pemrograman Zohdy pada kedalaman 20 m
Kontur di atas menunjukkan bahwa pada kedalaman 20 m harga resistivitas berkisar antara (7-22) Ωm .



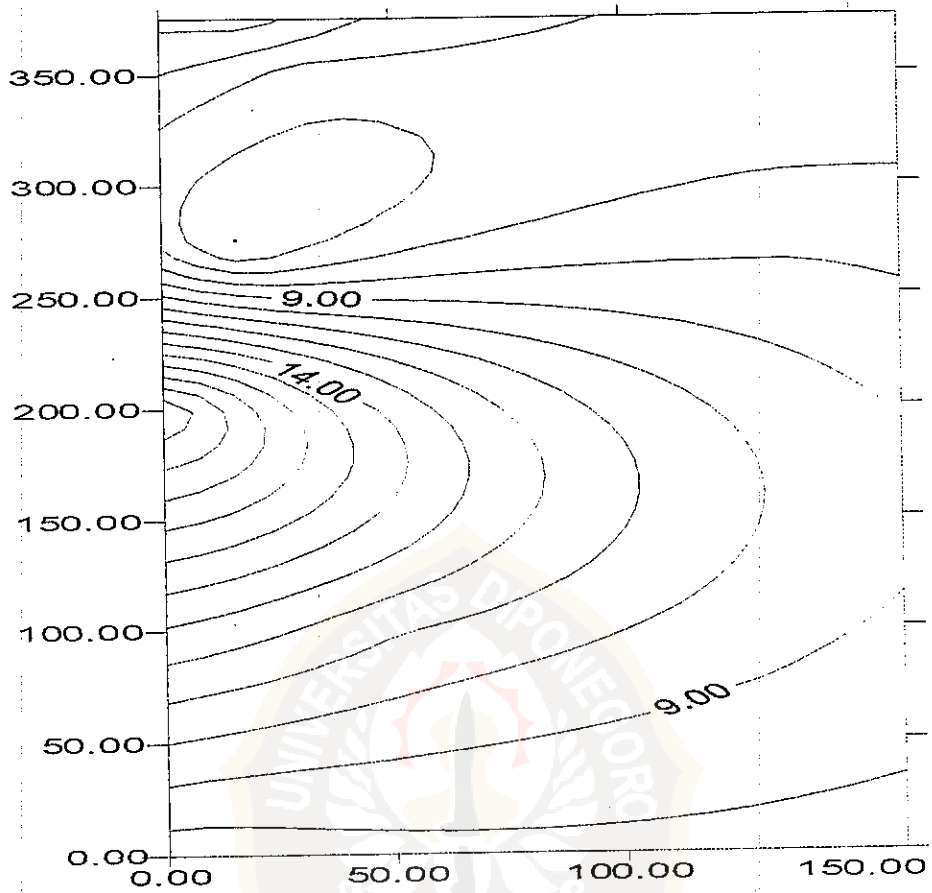
Gambar 14 Kontur hasil Pemrograman Zohdy pada kedalaman 40 m
 Pada kedalaman 40 m harga resistivitas yang ditunjukkan oleh kontur di
 atas adalah berkisar antara (7-21) Ω m.

KEDALAMAN 40 m



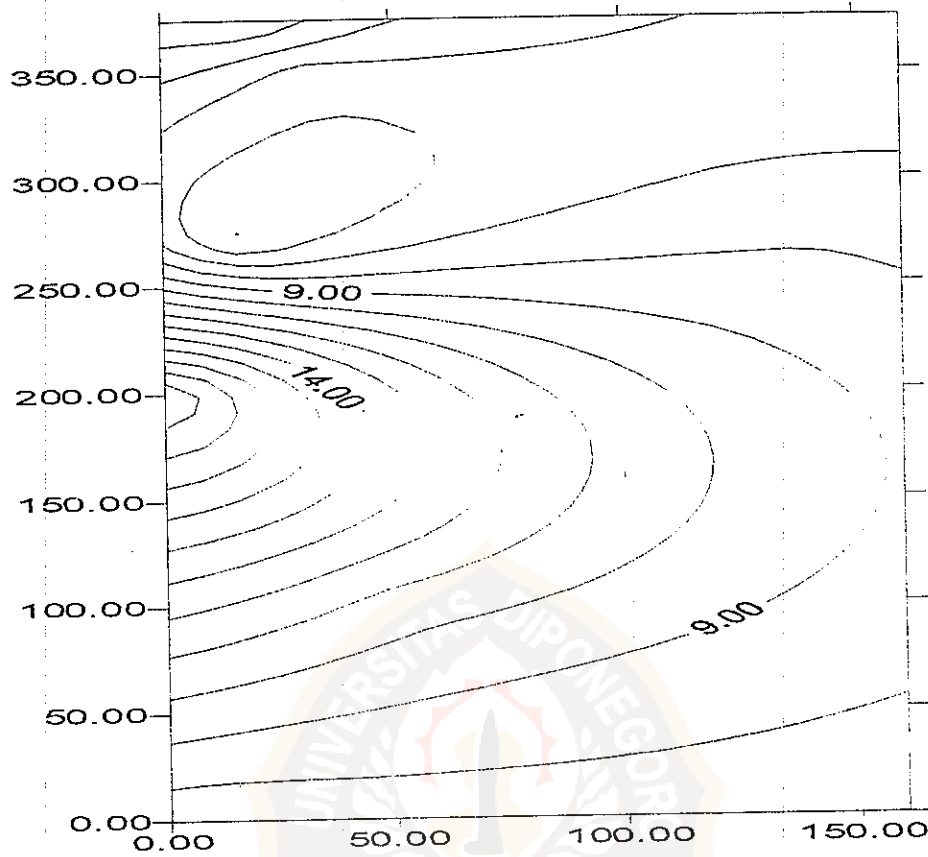
Gambar 15 Kontur hasil Pemrograman Zohdy pada kedalaman 40 m Resistivitas pada kedalaman 40 m ini berkisar antara (2,5-11,52m).

KEDALAMAN 50 m



Gambar 16 Kontur hasil Pemrograman Zohdy pada kedalaman 50 m
Kontur di atas menunjukkan bahwa harga resistivitas pada kedalaman 50 m adalah (8-19) Ωm .

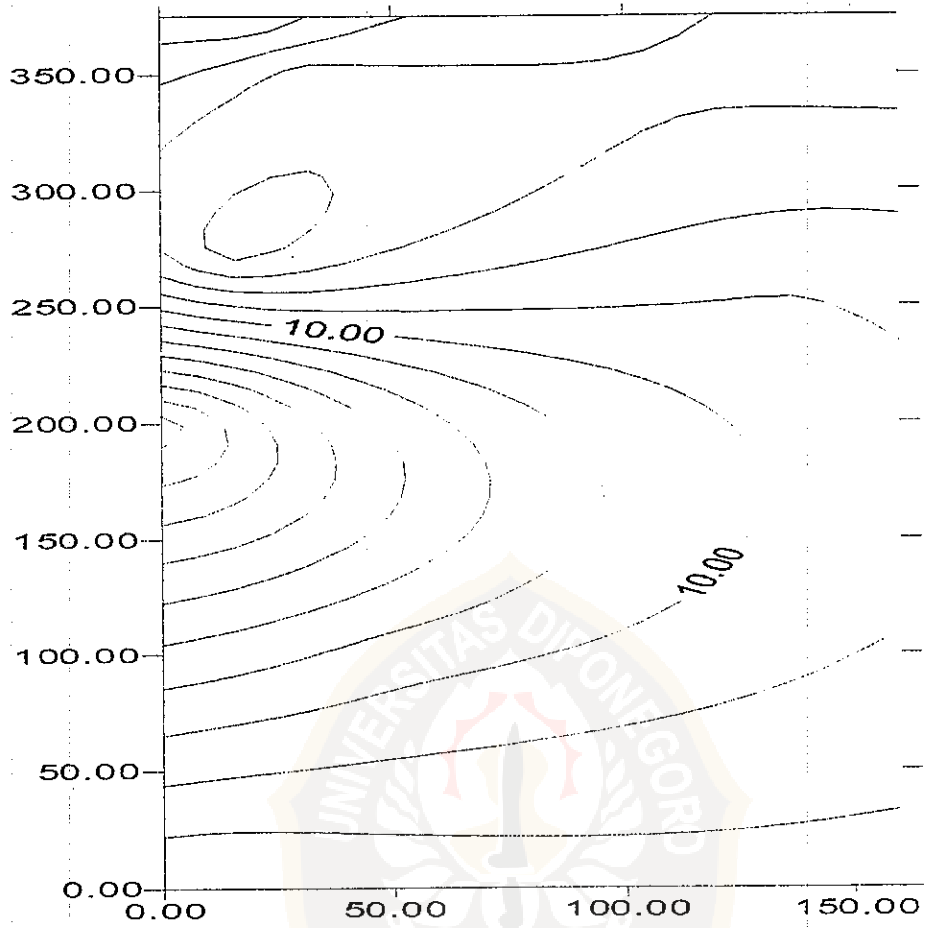
6. KEDALAMAN 60 M



Gambar 17 Kontur hasil Pemrograman Zohdy pada kedalaman 60 m

Kontur di atas menunjukkan bahwa harga resistivitas pada kedalaman 60 m adalah (8-18) Ω m.

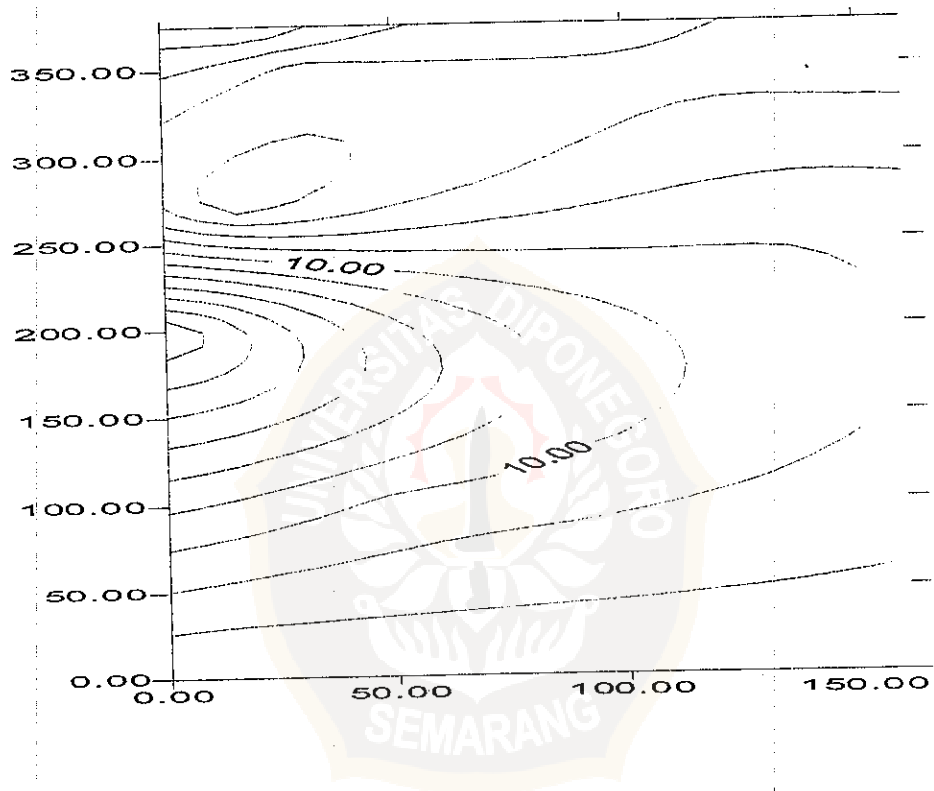
4.5.7. KEDALAMAN 70 m



Gambar 18 Kontur hasil Pemrograman Zohdy pada kedalaman 70 m

Harga resistivitas pada kedalaman ini adalah (8-17) Ω m.

KEDALAMAN 80 m



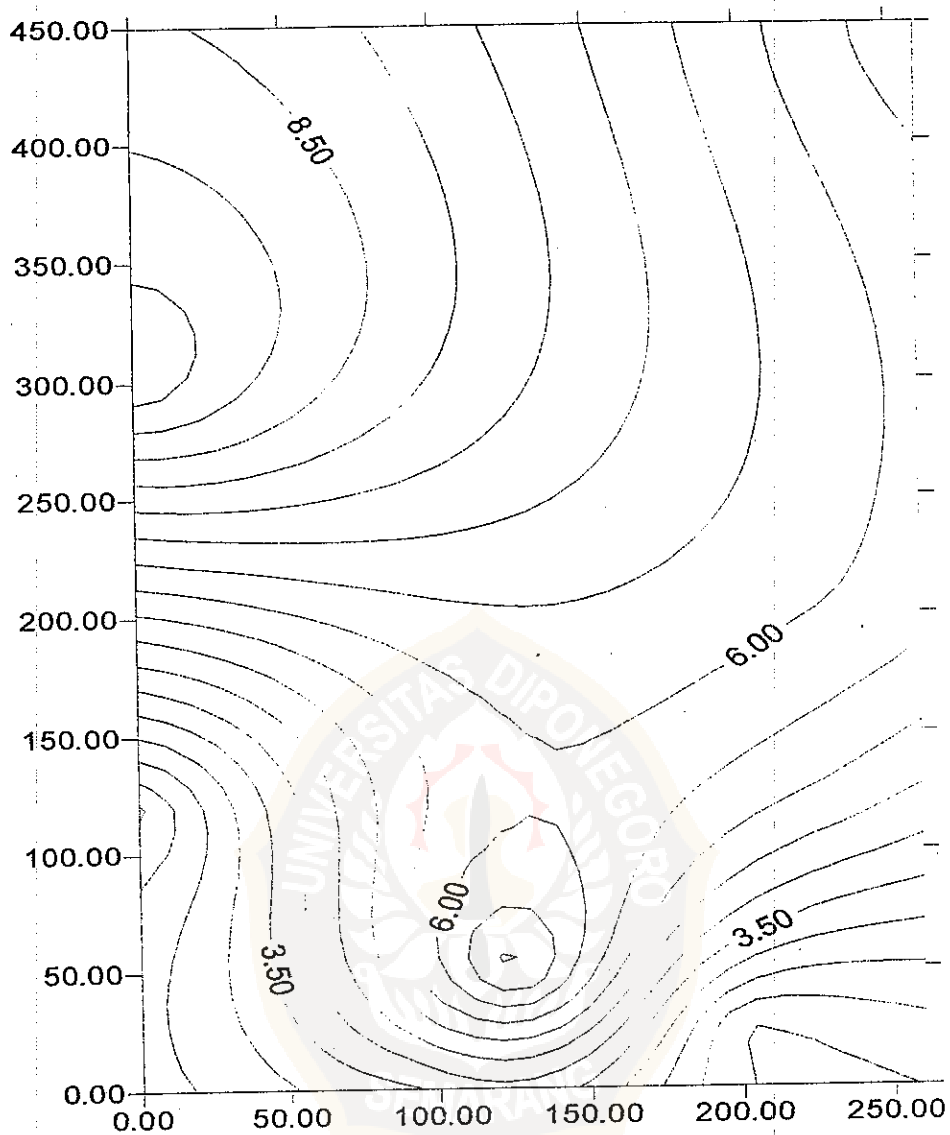
Gambar 19 Kontur hasil Pemrograman Zohdy pada kedalaman 80 m

Harga resistivitas pada kedalaman 80 m berkisar antara (8-16) Ωm .

LAMPIRAN 1₂
KONTUR HASIL MATCHING CURVE



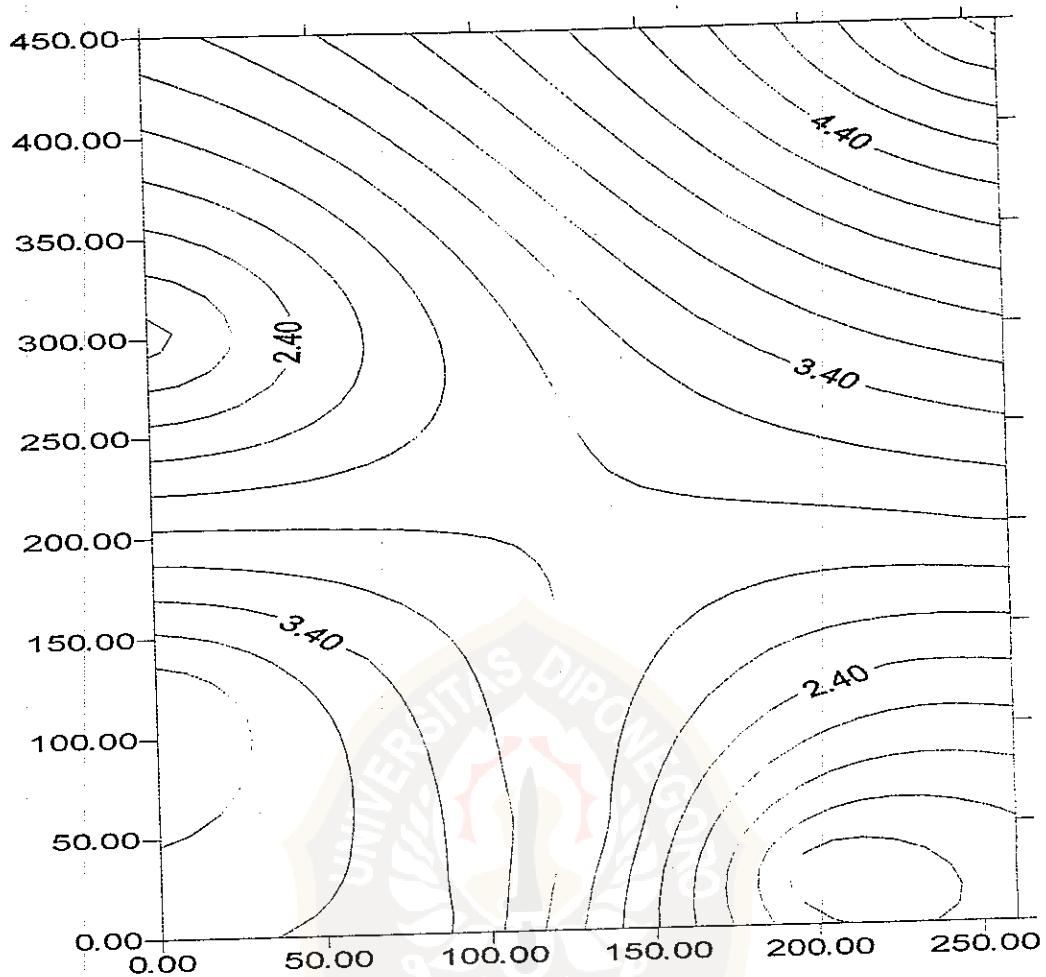
KEDALAMAN 10 m



GAMBAR 20 . KONTUR HASIL MATCHING CURVE PADA
KEDALAMAN 10 m .

Pada kedalaman ini resistivitas bervariasi antara (2.00-9,50) Ωm

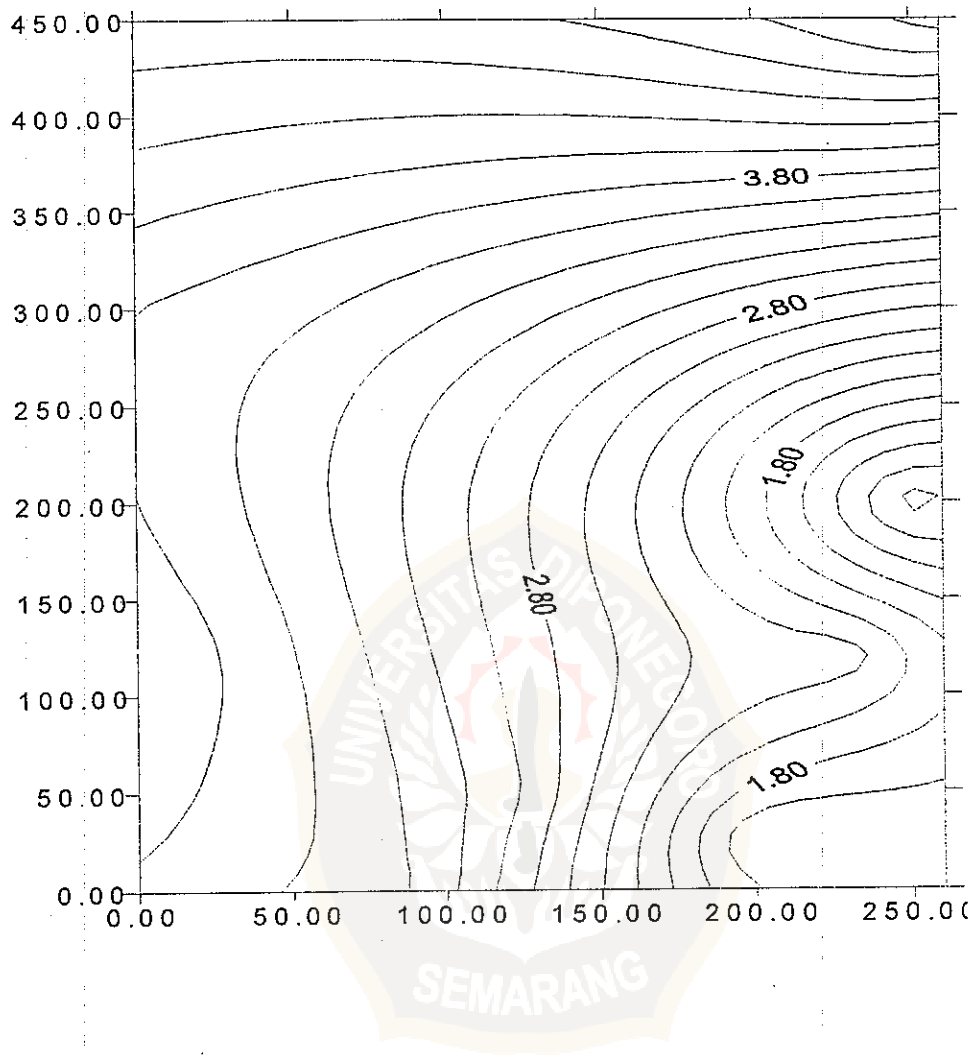
KEDALAMAN 20 m



GAMBAR 21. KONTUR HASIL MATCHING CURVE PADA KEDALAMAN 20 m .

Pada kedalaman 20 m ini resistivitas berkisar antara (2,00-5,20) Ωm

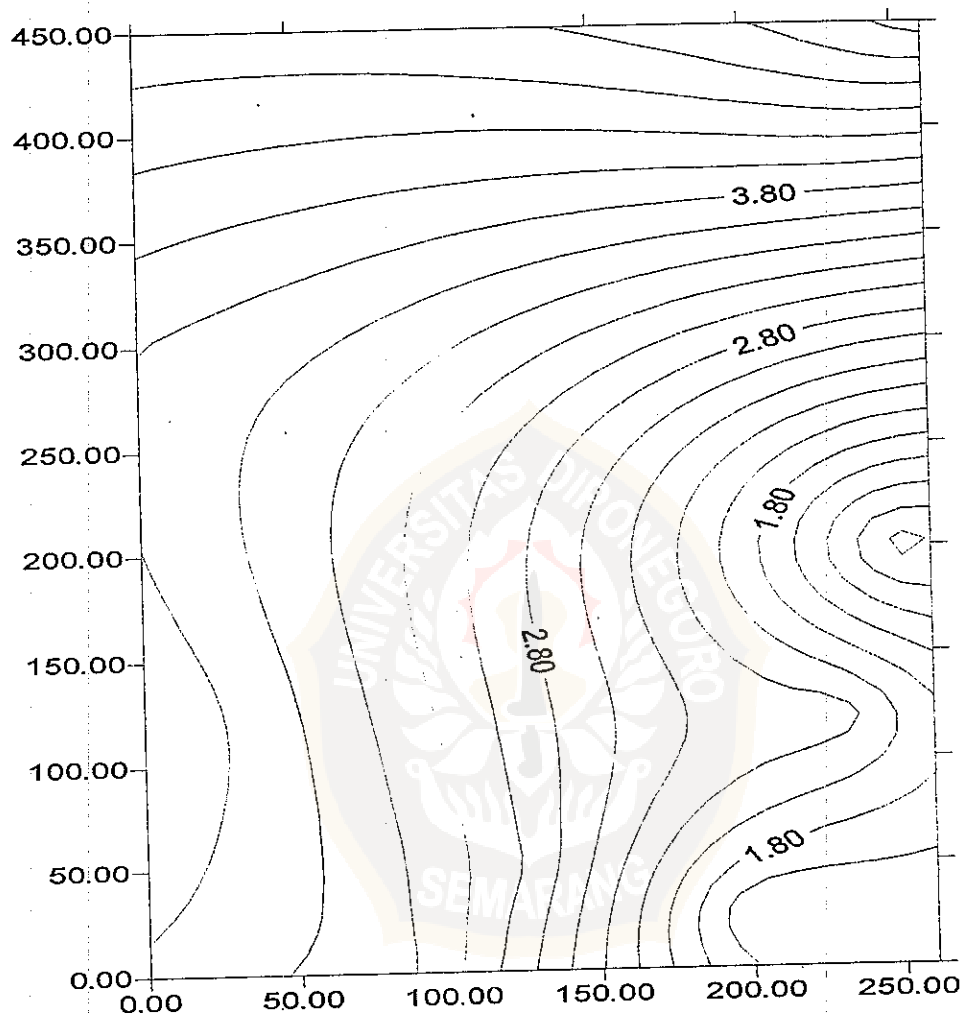
KEDALAMAN 30 m



GAMBAR 22. KONTUR HASIL MATCHING CURVE PADA KEDALAMAN 30 m .

Pada kedalaman 22 m ini resistivitas bervariasi antara (1,00-5,00) Ωm

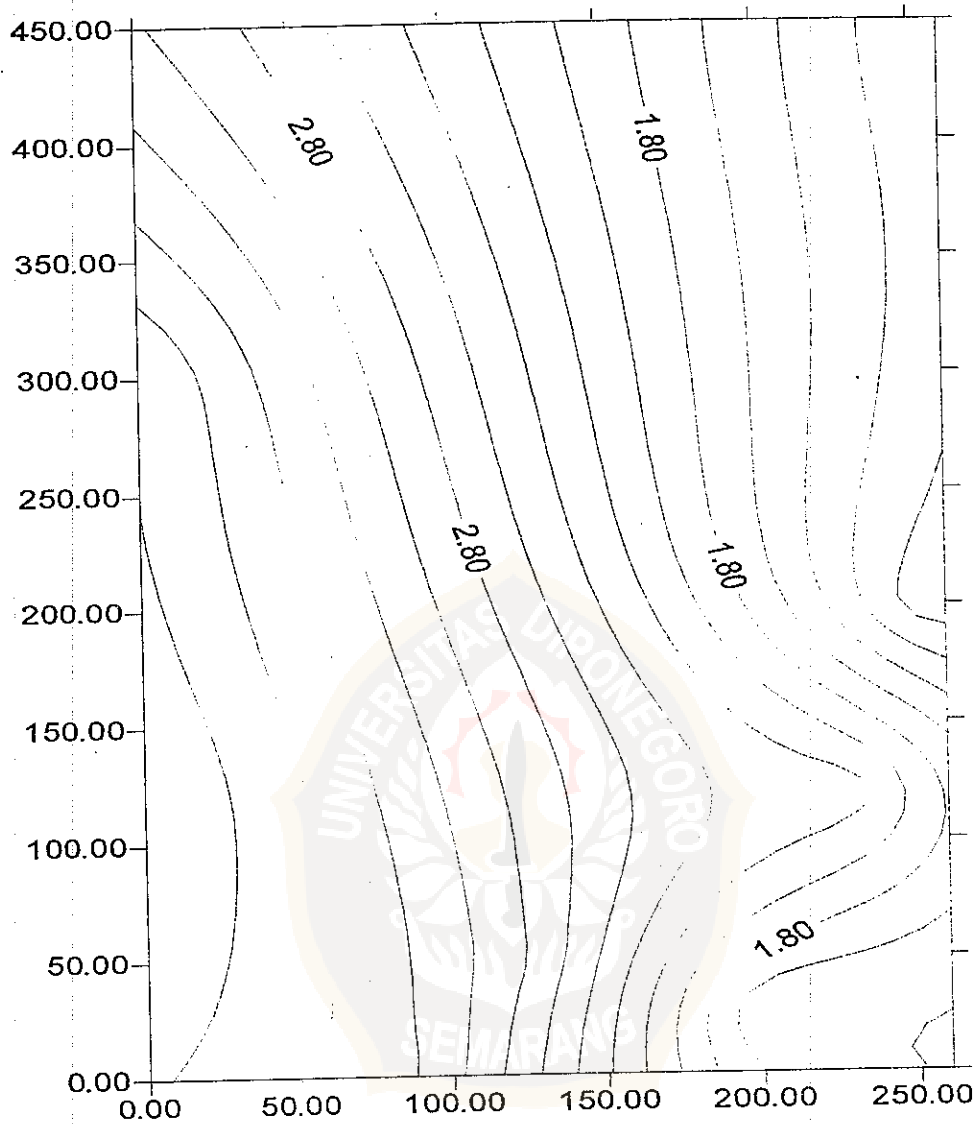
KEDALAMAN 40 m



GAMBAR 23 KONTUR HASIL MATCHING CURVE PADA KEDALAMAN 40 m .

Pada kedalaman 40 m ini, resistivitas bervariasi antara (1,00-500) Ω m

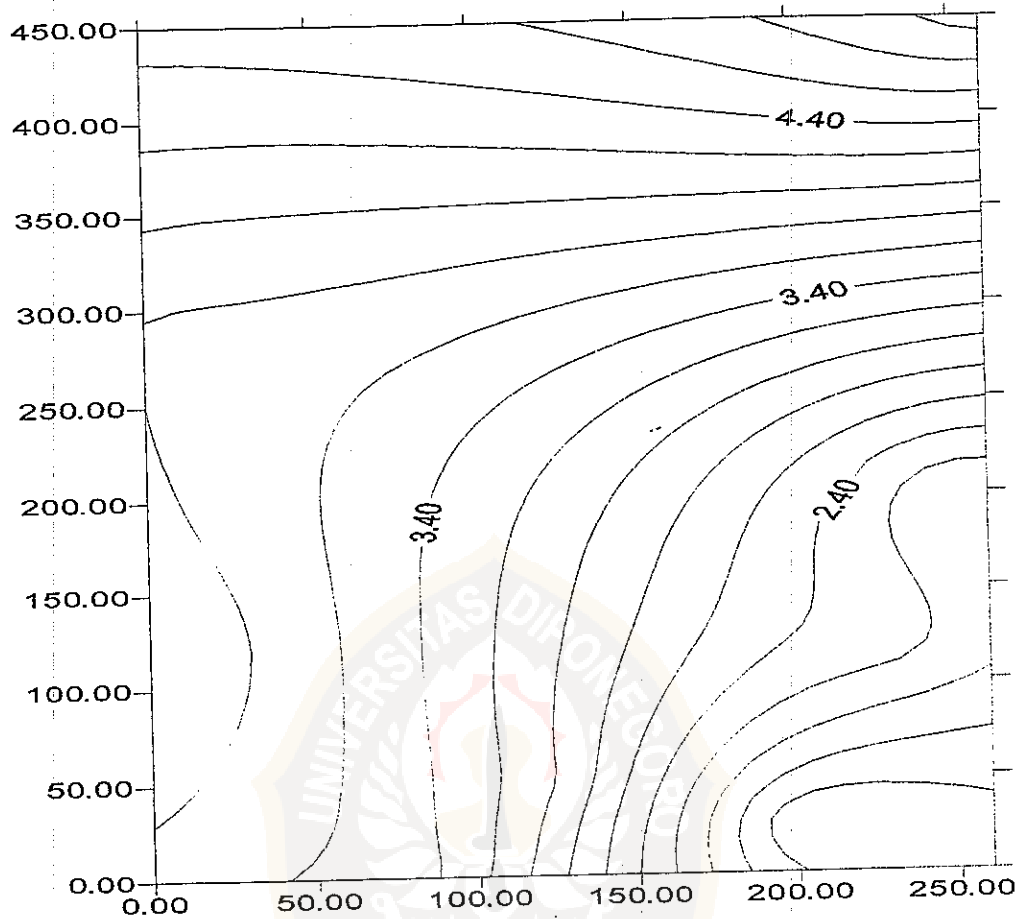
KEDALAMAN 50 m



GAMBAR 24 KONTUR HASIL MATCHING CURVE PADA KEDALAMAN 50 m .

Pada kedalaman ini resistivitas bervariasi antara (1,4-3,8) Ωm

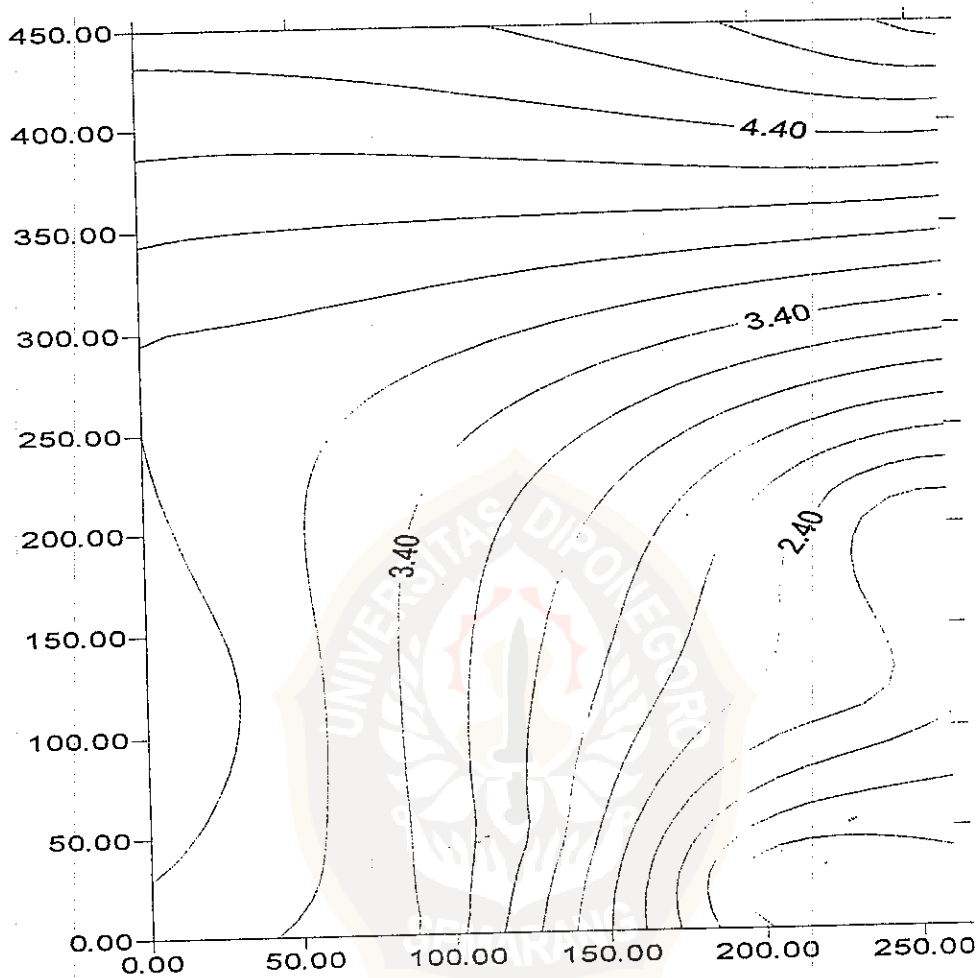
KEDALAMAN 60 m



GAMBAR 25 . KONTUR HASIL MATCHING CURVE PADA KEDALAMAN 60 m .

Pada kedalaman 60 M ini ,resistivitas bervariasi antara (1,6-5,00) Ωm

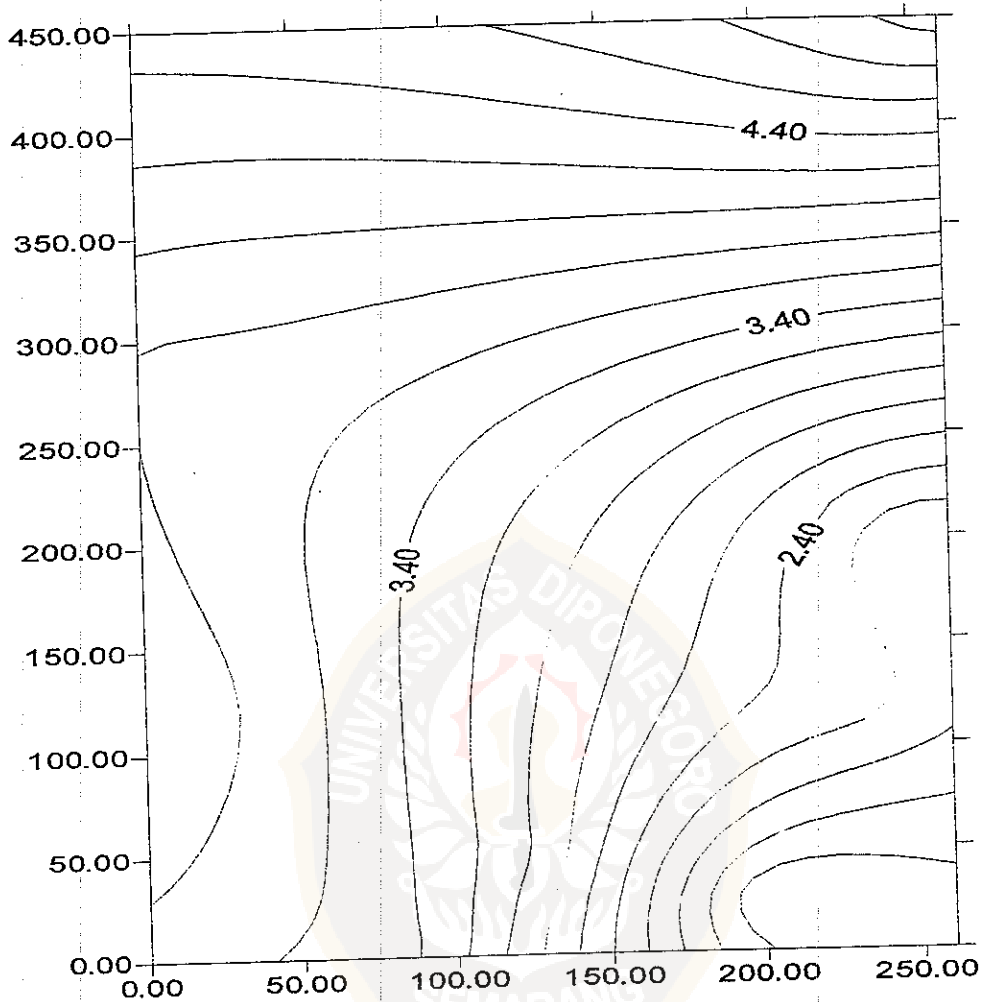
KEDALAMAN 70 m



GAMBAR 26. KONTUR HASIL MATCHING CURVE PADA KEDALAMAN 70 m .

Pada kedalaman 70 m ineresistivitas brvariasi antara (1,60-5,00) Ω m

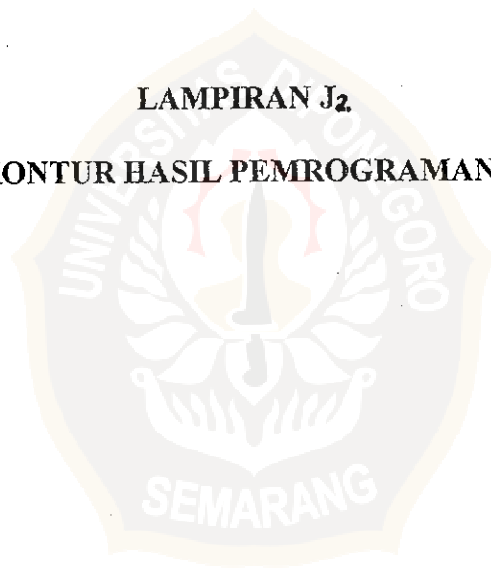
KEDALAMAN 80 m



GAMBAR 27. KONTUR HASIL MATCHING CURVE PADA KEDALAMAN 80 m .

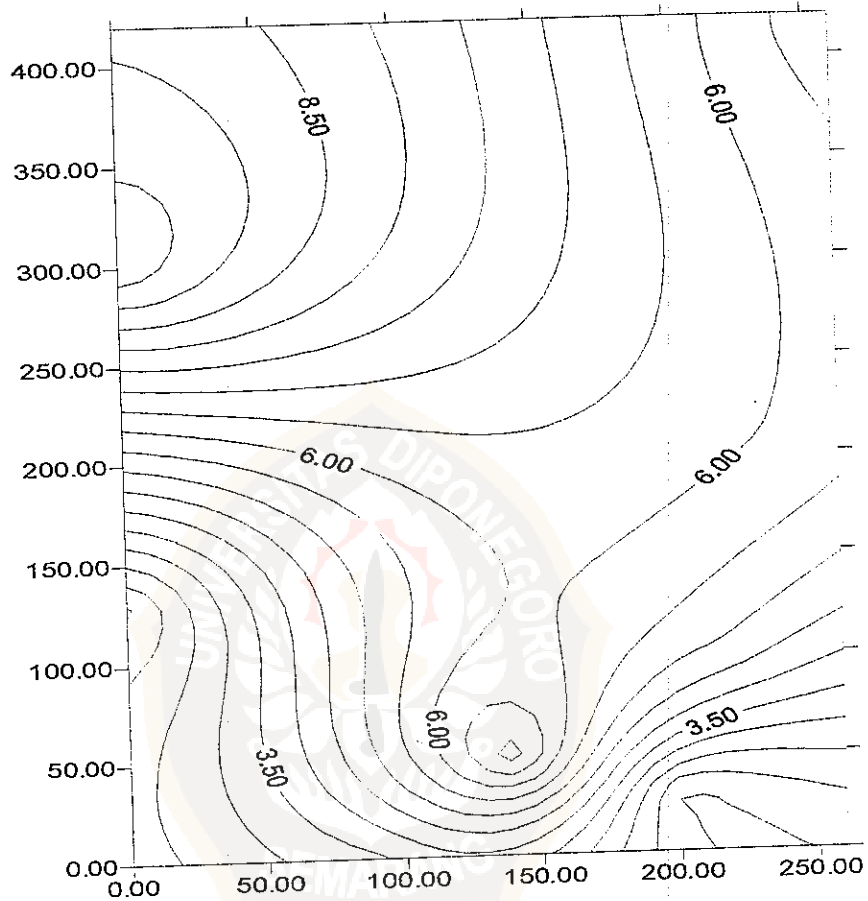
Pada kedalaman 80 m ini , resistivitas bervariasi antara (1,60-5,00) Ωm

LAMPIRAN J₂
KONTUR HASIL PEMROGRAMAN



INTERPRETASI KONTUR HASIL PEMROGRAMAN ZOHDY

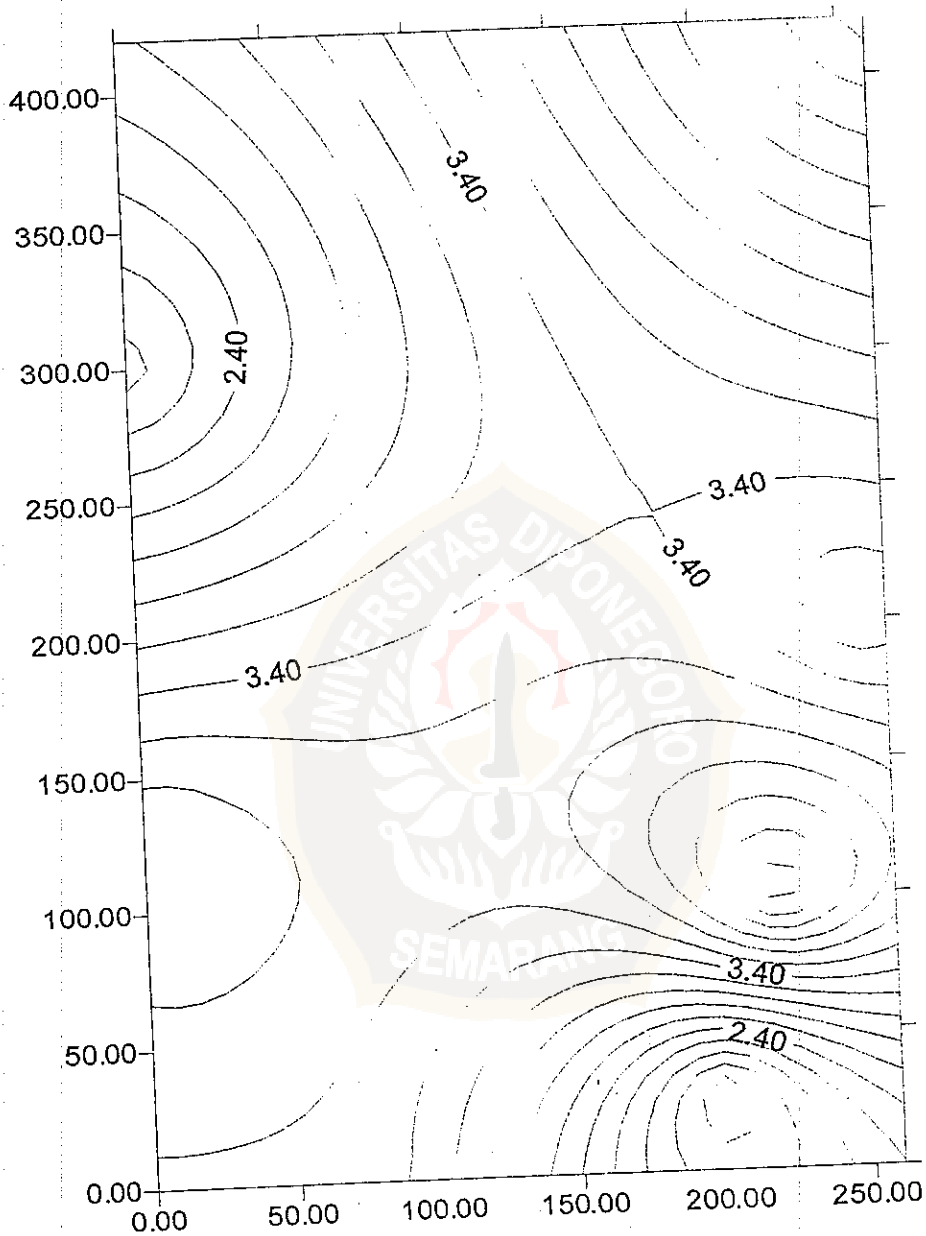
KEDALAMAN 10 m



GAMBAR 28 KONTUR HASIL PEMROGRAMAN ZOHDY PADA KEDALAMAN 10 m .

Pada kedalaman 10 m ini ,resistivitas bervariasi antara (1,60-5,00) Ωm

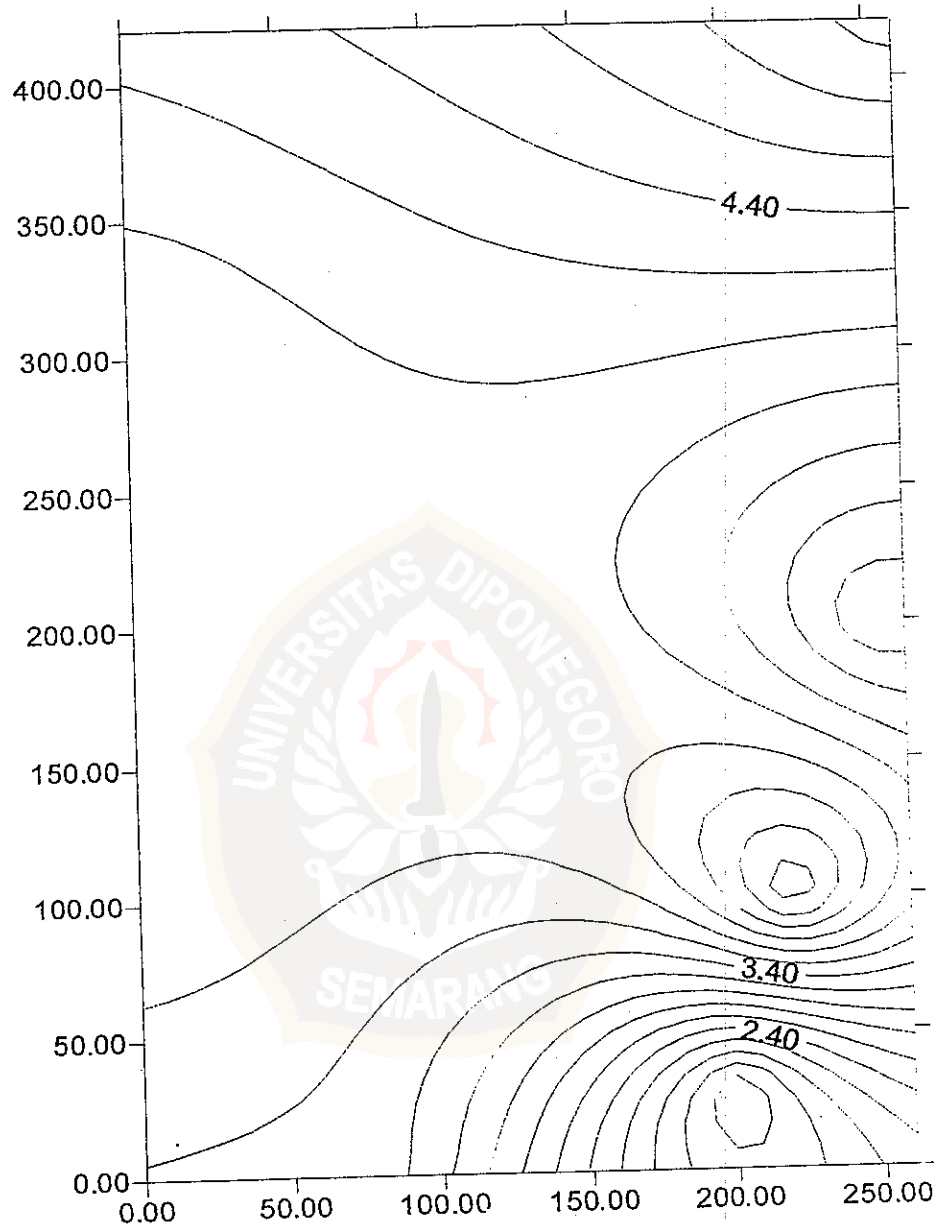
KEDALAMAN 20 m



GAMBAR 29. KONTUR HASIL PEMROGRAMAN ZOHDY
KEDALAMAN 20 m .

Pada kedalaman 20 m ini ,resistivitas bervariasi antara (1,40-5,00) Ω m

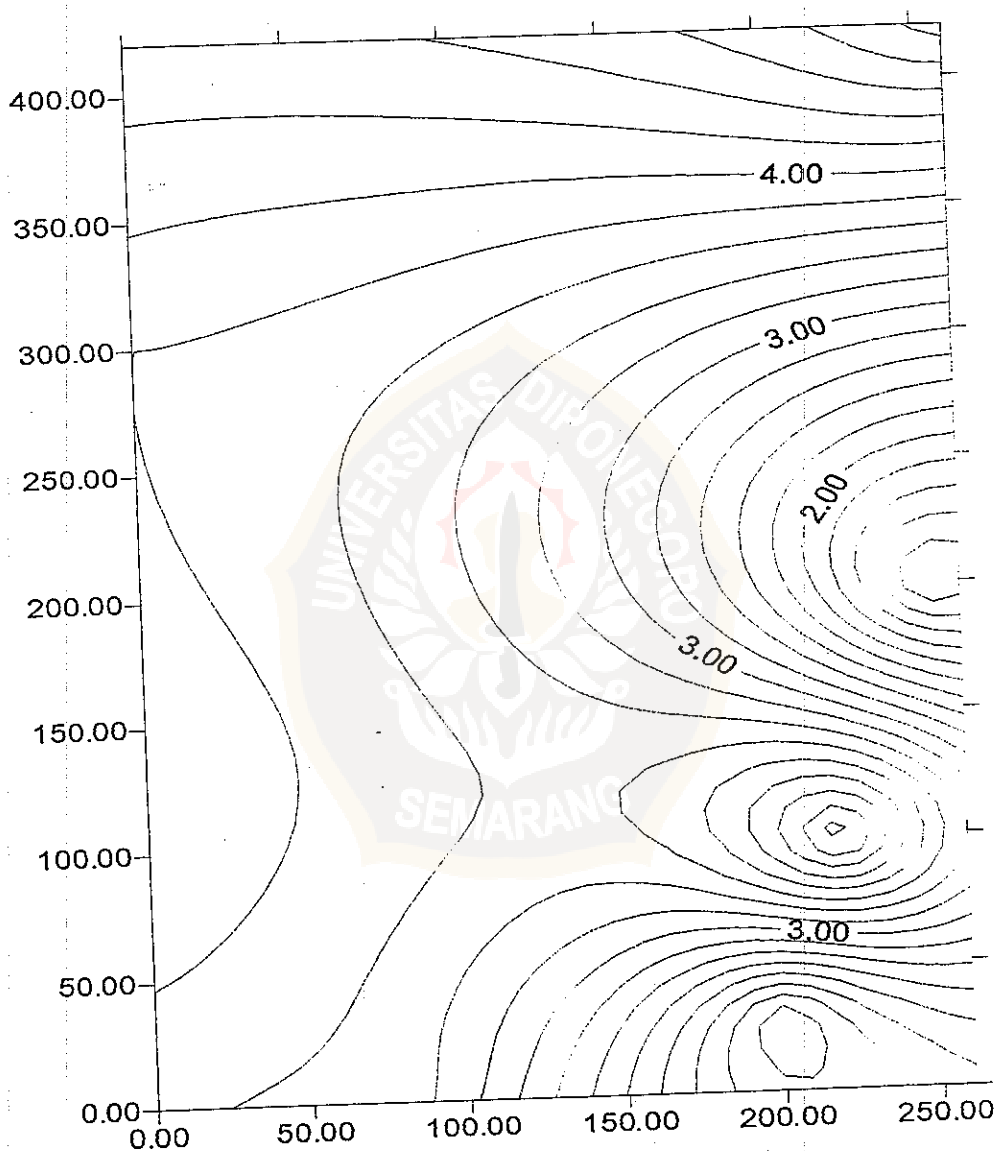
KEDALAMAN 30 m



GAMBAR 30 . KONTUR HASIL MATCHING CURVE PADA KEDALAMAN 30 m .

Pada kedalaman 30 m ini ,resistivitas bervariasi antara (1,80-4,60) Ωm

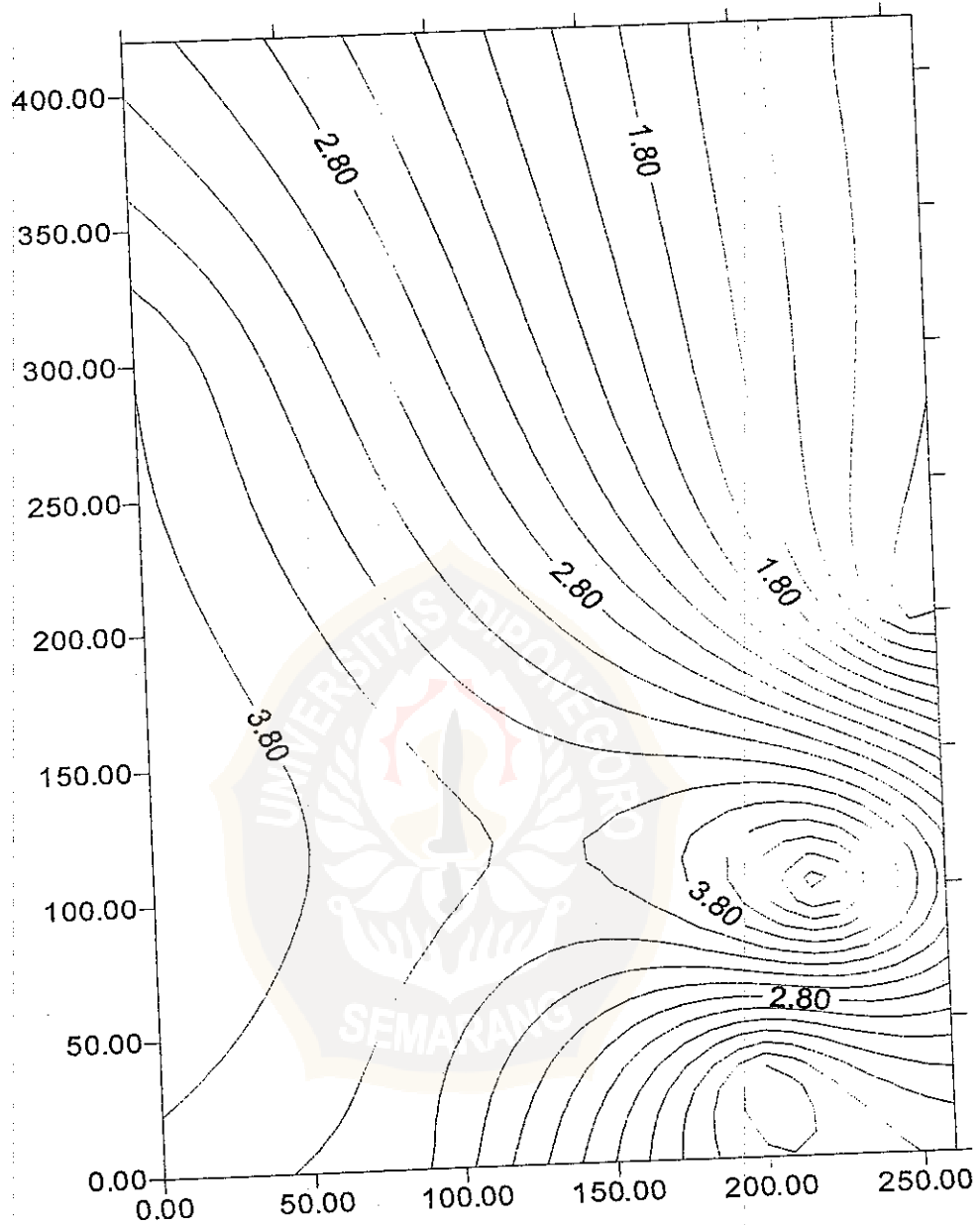
KEDALAMAN 40 m



GAMBAR 31. KONTUR HASIL PEMROGRAMAN ZOHDY PADA KEDALAMAN 40 m .

Pada kedalaman 40 m ini ,resistivitas bervariasi antara (1,20-5,00) Ω m

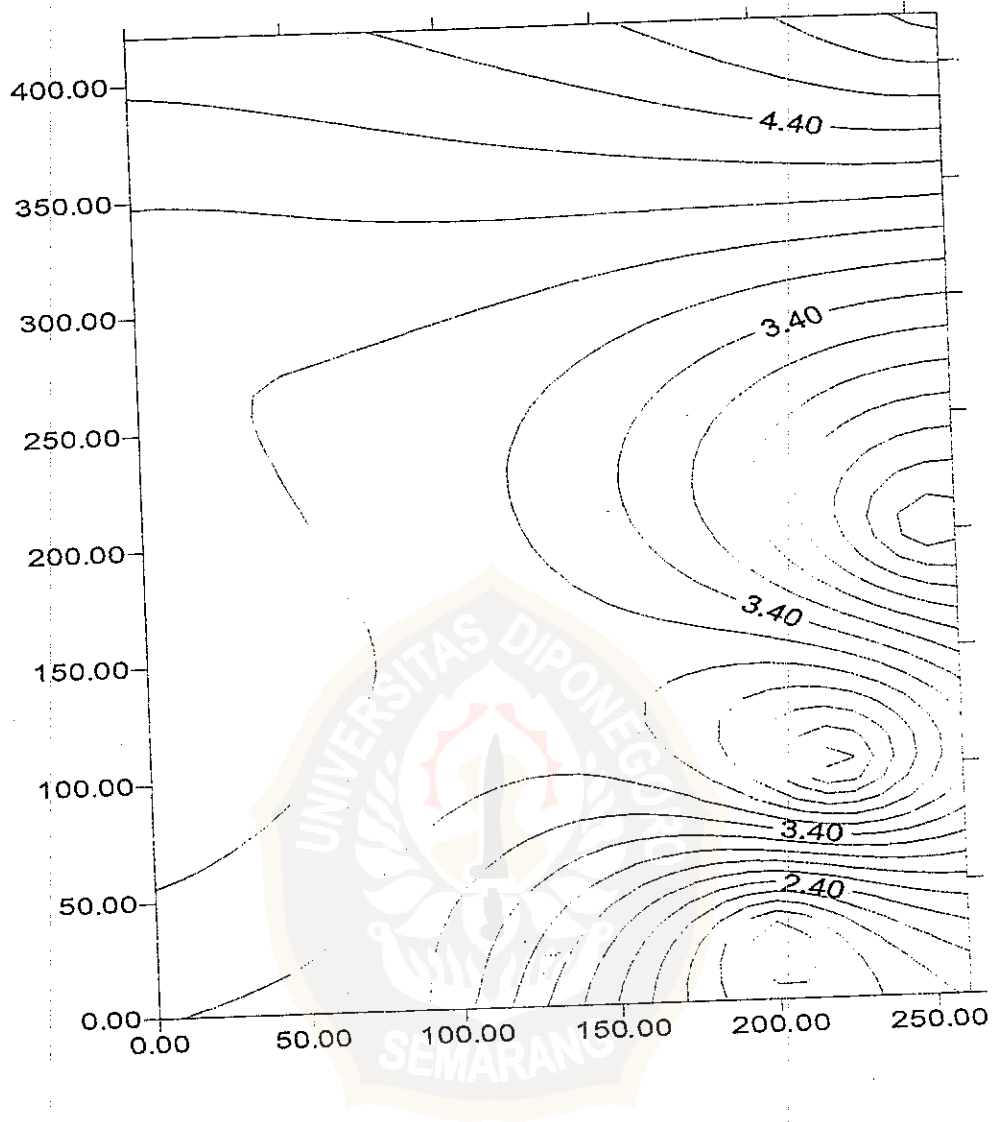
KEDALAMAN 50 m



GAMBAR 32. KONTUR HASIL PEMROGRAMAN ZOHDY PADA KEDALAMAN 50 m .

Pada kedalaman 50 m ini ,resistivitas bervariasi antara (1,40-4,60) Ωm

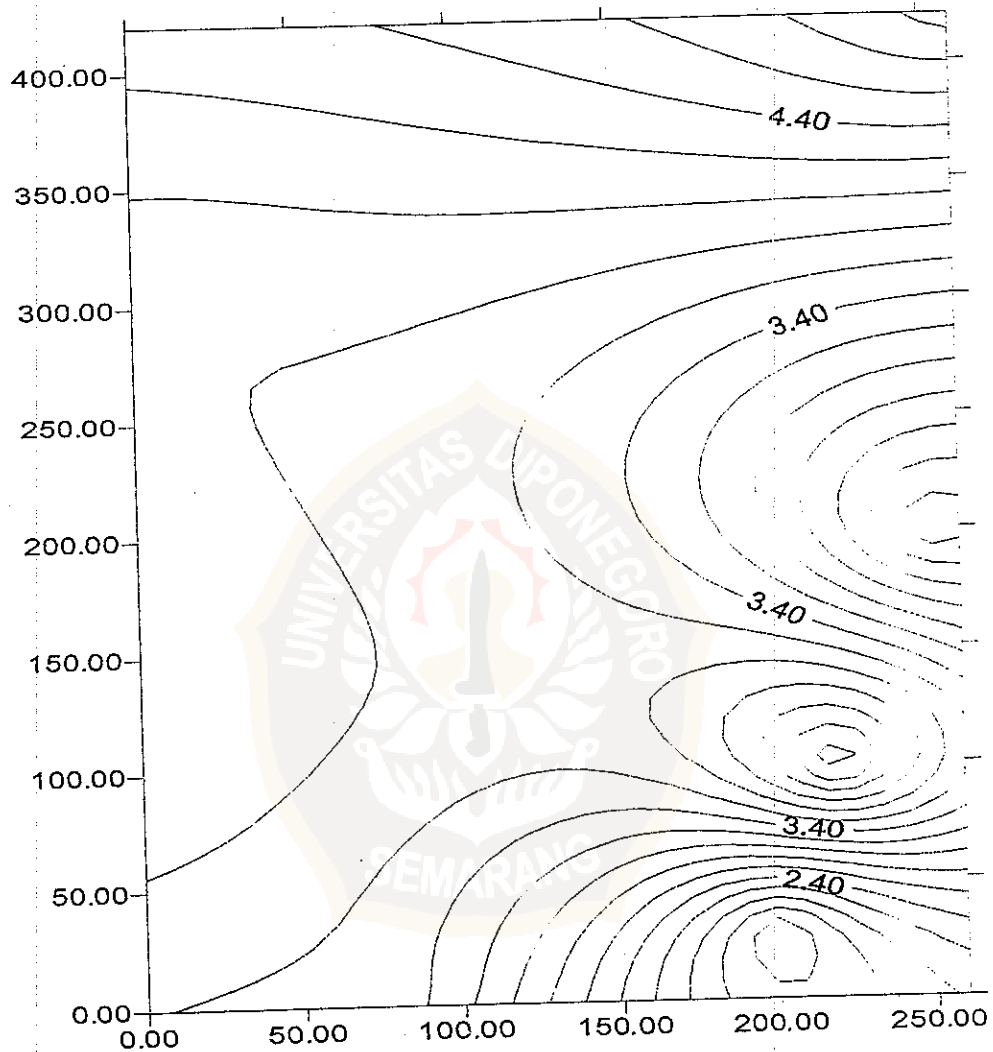
KEDALAMAN 60 m



GAMBAR 33. KONTUR HASIL PEMROGRAMAN ZOHDY PADA KEDALAMAN 60 m .

Pada kedalaman 60 m ini ,resistivitas bervariasi antara (1,80-4,40) Ωm

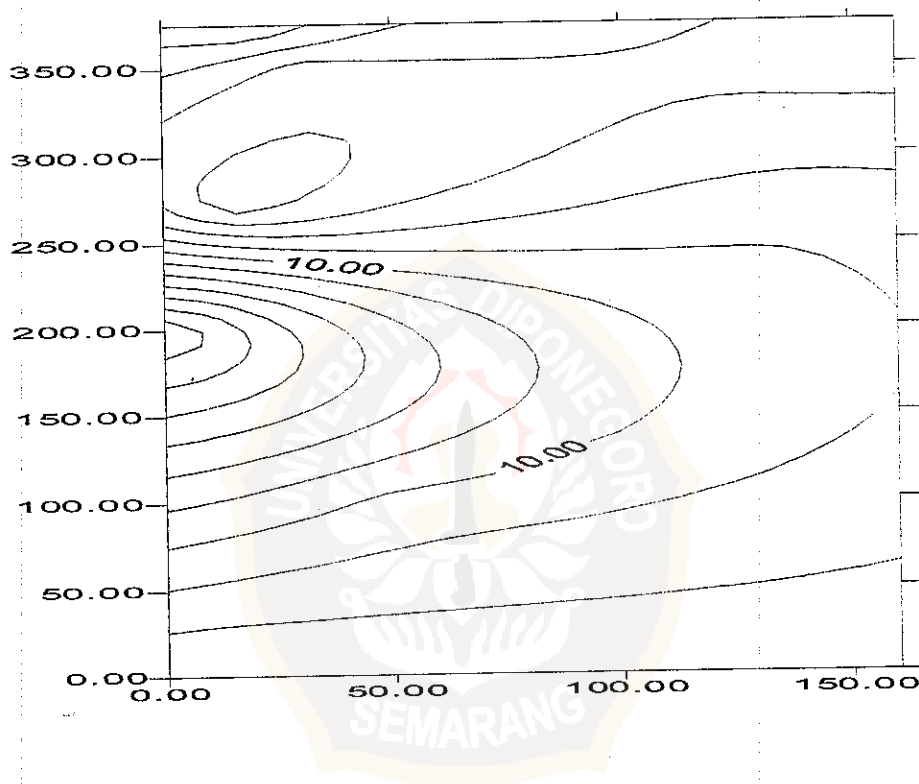
KEDALAMAN 70 m



GAMBAR 34. KONTUR HASIL PEMROGRAMAN ZOHDY PADA KEDALAMAN 70 m .

Pada kedalaman 70 m ini ,resistivitas bervariasi antara (1,80-4,40) Ωm

KEDALAMAN 80 m



Gambar 19 Kontur hasil Pemrograman Zohdy pada kedalaman 80 m

Harga resistivitas pada kedalaman 80 m berkisar antara (8-16) Ωm.

LAMPIRAN K
DESKRIPSI TANAH



DESKRIPSI TANAH

Jenis	Keterangan
Homogen	Endapan mengandung satu tipe tanah saja.
Saling melapis	Lapisan-lapisan bolak-balik dari beragam tipe atau dengan batas atau lensa dari material lain
Heterogen	Campuran dari beberapa tipe tanah
Lempung bercelah	Pecah menjadi segi banyak sepanjang celah
Lempung sempurna	Tidak ada celah-celah

Jenis	Komposisi
Kerikil sedikit berpasir	5% pasir
Kerikil berpasir	5%-20% pasir
Kerikil sangat berpasir	Pasir diatas 20%
Kerikil/pasir	Proporsinya kuranglebih sama
Pasir sangat berkerikil	Kerikil di atas 20%
Pasir berkerikil	5%-20% kerikil
Pasir sedikit berkerikil	5% kerikil
Pasir sedikit berlanau	5% lanau
Pasir berlanau	5%-15% lanau
Pasir sangat berlanau	15%-35% lanau
Pasir sedikit berlempung	5% lempung
Pasir berlempung	5%-15% lempung
Pasir sangat berlempung	15%-35% lempung
Lanau/lempung berpasir	35%-65% pasir
Lanau/lempung berkerikil	35%-65% kerikil

(R.F.Craig, 1994)